

การปรับปรุงกระบวนการเรียนรู้จากแม่พิมพ์ในอุตสาหกรรมเชิงคิดด้วยเทคโนโลยีฯ

นางสาววัลภา เดชะสุข



ศูนย์วิทยหั้พยาภรณ์
วิทยานิพนธ์นี้เป็นส่วนหนึ่งของการศึกษาตามหลักสูตรบริณญาณวิศวกรรมศาสตร์บัณฑิต
สาขาวิชาบริษัทฯ
ภาควิชาบริษัทฯ
คณะวิศวกรรมศาสตร์ จุฬาลงกรณ์มหาวิทยาลัย
ปีการศึกษา 2552
ลิขสิทธิ์ของจุฬาลงกรณ์มหาวิทยาลัย

MOLDING PROCESS IMPROVEMENT IN PERIPHERAL SEMICONDUCTOR INDUSTRY

MISS WALLAPA TECHASUK

A Thesis Submitted in Partial Fulfillment of the Requirements

for the Degree of Master of Engineering Program in Industrial Engineering

Department of Industrial Engineering

Faculty of Engineering

Chulalongkorn University

Academic Year 2009

Copyright of Chulalongkorn University

521130

หน้าข้อวิทยานิพนธ์

โดย

สาขาวิชา

อาจารย์ที่ปรึกษาวิทยานิพนธ์นัก

การปรับปรุงกระบวนการเรียนรู้จากแม่พิมพ์ในอุดสาหกรรม
เคมีองค์ตัวเดอร์ชันดีมีชา

นางสาววัลภา เดชะสุข

วิศวกรรมอุตสาหกรรม

ผู้ช่วยศาสตราจารย์ ดร.สมเกียรติ ตั้งจิตสิตเจริญ

คณะกรรมการศาสตร์ จุฬาลงกรณ์มหาวิทยาลัย อนุมัติให้นับวิทยานิพนธ์ฉบับนี้เป็นส่วนหนึ่ง
ของการศึกษาตามหลักสูตรปริญญามหาบัณฑิต

..... คณบดีคณะวิศวกรรมศาสตร์
(รองศาสตราจารย์ ดร.บุญสม เลิศนิรถุวงศ์)

คณะกรรมการสอบวิทยานิพนธ์

..... ประธานกรรมการ
(รองศาสตราจารย์ ดำรงค์ ทวีแสงสกุลไทย)

..... อาจารย์ที่ปรึกษาวิทยานิพนธ์นัก
(ผู้ช่วยศาสตราจารย์ ดร.สมเกียรติ ตั้งจิตสิตเจริญ)

..... กรรมการ
(ผู้ช่วยศาสตราจารย์ ดร.วิภาวดี ธรรมากุณพิลาศ)

..... กรรมการภายนอกมหาวิทยาลัย
(รองศาสตราจารย์ จรุณ มนิဓาฟองกุล)

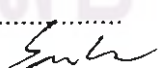
ศูนย์วิทยบริการฯ

จุฬาลงกรณ์มหาวิทยาลัย

วัลภา เดชะสุข : การปรับปรุงกระบวนการรีชิ้นคูป้ากแม่พิมพ์ในอุตสาหกรรมเซมิคอนดักเตอร์ชนิดมีชา. (MOLDING PROCESS IMPROVEMENT IN PERIPHERAL SEMICONDUCTOR INDUSTRY) อ. ที่ปรึกษาวิทยานิพนธ์หลัก : ผู้ช่วยศาสตราจารย์ ดร.สมเกียรติ ตั้งจิตสิศิ茱ริญ, 91 หน้า.

เซมิคอนดักเตอร์ (สารกึ่งตัวนำ) คือ วัสดุที่มีคุณสมบัติในการนำไฟฟ้าอยู่ระหว่างตัวนำและอนุวัต เป็นวัสดุที่ใช้ในอุปกรณ์อิเล็กทรอนิกส์ ในงานวิจัยนี้ผู้วิจัยได้เลือกศึกษาและแก้ไขงานมีชา (Peripheral) เนื่องจากพบปัญหาในกระบวนการรีชิ้นคูป์ (Mold process) ซึ่งทำให้เกิดงานเสียที่เรียกว่าเส้นทองส้มผัสดกัน หรือ ระยะห่างระหว่างเส้นทองแต่ละเส้นใกล้กันเกินกว่าที่ข้อกำหนดของผลิตภัณฑ์กำหนดไว้ คือ เส้นทองแต่ละเส้นต้องห่างกันมากกว่าหรือเท่ากับ 23 ไมครอน โดยงานวิจัยนี้ได้ระบุปัจจัยทั้งหมดที่มีผลต่อการเกิดปัญหาโดยใช้แผนภูมิ กังปลา ซึ่งจากแผนภูมิดังกล่าวผู้วิจัยได้เลือกปัจจัยหลักที่มีผลต่อการเกิดปัญหา คือ เวลา ฉีดเรซิโน่ เวลาให้ความร้อนเรซิโน่ และแรงฉีดเรซิโน่

งานวิจัยนี้ได้นำหลักการออกแบบส่วนผสมกลาง (Central Composite Design: CCD) มาใช้ร่วมกับหลักการพื้นผิวผลตอบสนอง (Response Surface Methodology: RSM) เพื่อหาค่าสภาวะที่เหมาะสมของปัจจัยทั้ง 3 ที่มีผลให้เส้นทองที่อยู่ติดกันมีระยะห่างมากที่สุด ผลการทดลองพบว่า พารามิเตอร์ที่เหมาะสมที่สุดที่ทำให้เส้นทองอยู่ห่างกันมากที่สุด คือ ที่เวลาฉีดเรซิโน่ 13 วินาที เวลาให้ความร้อนแก่เรซิโน่ 9 วินาที และ แรงฉีดเรซิโน่ 1.7 ตัน ซึ่งจะได้ค่าระยะห่างของเส้นทองเฉลี่ย 49.38 ไมครอน หลังจากการปรับปรุงกระบวนการรีชิ้นคูป้ากแม่พิมพ์แล้ว ไม่พบงานที่มีเส้นทองส้มผัสดกัน หรือใกล้กันน้อยกว่า 23 ไมครอน

ภาควิชา วิศวกรรมอุตสาหกรรม ลายมือชื่อนิสิต ผู้ต. เทษฐ์
สาขาวิชา วิศวกรรมอุตสาหกรรม ลายมือชื่อ อ.ที่ปรึกษาวิทยานิพนธ์หลัก 
ปีการศึกษา 2552

5071514321 : MAJOR INDUSTRIAL ENGINEERING

KEYWORDS : MOLD PROCESS / INJECTION TIME / TABLET PREHEATING TIME /
INJECTION PRESSURE / CENTRAL COMPOSITE DESIGN / RESPONSE SURFACE
ANALYSIS.

WALLAPA TECHASUK : MOLDING PROCESS IMPROVEMENT IN

PERIPHERAL SEMICONDUCTOR INDUSTRY. THESIS ADVISOR :

ASST.PROF.SOMKIAT TANGJITSITCHAREON,D.Eng, 91 pp.

Semiconductor is the material that has properties of conductive stay between the conductor and the electric insulator. It is the main part of electrical appliances. This research was to study and solve the problem in peripheral product at the mold process. The problem of the wire touch or the gap between 2 gold wires was less than the standard rule of the product. The gap between gold wires must be wider than 23 micrometer. This research defined the potential factors of the wire touch or gap between the gold wires by utilizing the fish bone diagram. There were 3 factors which were considered to be the main factors of the problem. Those factor were the injection time, the tablet preheat time and the injection pressure.

Central Composite Design (CCD) was employed with the response surface analysis to explore the appropriate parameters which affected the maximum gap of the gold wires. The experimental result showed that the suitable parameters of the mold machine of the wire touch problem were the injection time of 13 sec , the tablet preheat time of 9 sec and the injection force of 1.7 ton, which result in the maximum wire gap of 49 micrometer. We had no problem of the wire touch or gap between gold wires less than 23 micrometer after implemented these factors.

Department : Industrial Engineering..... Student's Signature

Field of Study : Industrial Engineering..... Advisor's Signature

Academic Year : 2009.....

กิตติกรรมประกาศ

วิทยานิพนธ์ฉบับนี้สำเร็จลุล่วงได้ด้วยดี ต้องขอขอบพระคุณ ผู้ช่วยศาสตราจารย์ ดร.สมเกียรติ ตั้งจิตสิตเจริญ อาจารย์ที่ปรึกษาวิทยานิพนธ์ ซึ่งเป็นผู้ให้ความรู้ คำปรึกษา คำแนะนำ ตลอดจนข้อคิดต่าง ๆ ที่เป็นประโยชน์ในการทำวิจัย

ขอกราบขอบพระคุณ รองศาสตราจารย์ ดำรงค์ ทวีแสงสกุลไทย ประธานการสอบวิทยานิพนธ์ ผู้ช่วยศาสตราจารย์ ดร. วิภาวดี ธรรมากarnพิลักษณ์ และ รองศาสตราจารย์ จรุณ มนิဓชาพองกุล กรรมการสอบ ที่กรุณาให้คำแนะนำข้อเสนอแนะสำหรับวิทยานิพนธ์ฉบับนี้

ขอขอบคุณคณาจารย์ทุกท่านผู้ประสานวิชาแก่ผู้วิจัยให้ได้รับความรู้และมี ความสามารถในการศึกษาและขอบคุณบิดา มารดา และครอบครัวที่ให้ทุกสิ่งทุกอย่างแก่ ผู้วิจัย ทั้งกำลังใจตลอดการศึกษา จนสำเร็จเป็นวิทยานิพนธ์ฉบับนี้

**ศูนย์วิทยทรัพยากร
จุฬาลงกรณ์มหาวิทยาลัย**

สารบัญ

	หน้า
บทคัดย่อภาษาไทย.....	๑
บทคัดย่อภาษาอังกฤษ.....	๑
กิตติกรรมประกาศ.....	๒
สารบัญ.....	๓
สารบัญตาราง.....	๘
สารบัญภาพ.....	๙
บทที่	
1 บทนำ.....	1
1.1 ความเป็นมาและความสำคัญของปัญหา.....	1
1.2 วัตถุประสงค์ของการวิจัย.....	10
1.3 ขอบเขตของการวิจัย.....	11
1.4 ประโยชน์ที่คาดว่าจะได้รับ.....	12
1.5 วิธีดำเนินงานวิจัย.....	12
1.6 ขั้นตอนการดำเนินงานวิจัย.....	13
2 เอกสารและงานวิจัยที่เกี่ยวข้อง.....	14
2.1 ทฤษฎีพื้นฐานเกี่ยวกับกลศาสตร์ของ寅恪.....	14
2.2 ภารีเคราะห์ปัญหาด้วยแผนภูมิกังปลา.....	19
2.3 การออกแบบการทดลองทางวิศวกรรม.....	20
2.4 แนวทางการออกแบบการทดลอง.....	22
2.5 การเลือกแบบการทดลอง.....	24
2.6 พื้นผิวผลตอบ.....	29
2.7 ภารีเคราะห์ผล.....	43
2.8 เอกสารและงานวิจัยที่เกี่ยวข้อง.....	48
3 วิธีดำเนินการวิจัย.....	51
3.1 การแบ่งส่วนการวิจัย.....	51
3.2 การกำหนดปัจจัย ระดับปัจจัย.....	51
3.3 การออกแบบการทดลอง.....	55

บทที่	หน้า
3.4 เครื่องมือที่ใช้ในการวิจัย.....	57
3.5 ขั้นตอนการดำเนินการทดลอง.....	59
3.6 การตรวจสอบคุณภาพด้วยกล้องไมโครสโคป.....	60
3.7 การตรวจสอบคุณเส้นทองด้วยเครื่อง X-ray.....	61
3.8 การวิเคราะห์ข้อมูล.....	61
4 ผลการวิเคราะห์ข้อมูล.....	63
4.1 ผลการทดลองและการวิเคราะห์ผลการทดลอง.....	63
4.2 การวิเคราะห์ผลการทดลองโดยวิธีการวิเคราะห์ค่า P.....	67
4.3 ความสัมพันธ์ของปัจจัยที่มีผลต่อระยะห่างของเส้นทอง.....	69
4.4 การหาสภาวะที่เหมาะสม.....	70
4.5 การทดสอบเพื่อยืนยันผล.....	71
4.6 การทดสอบความสัมพันธ์ที่มีผลต่อระยะห่างของเส้นทอง.....	72
4.7 การทดสอบความแตกต่างแบบจับคู่.....	75
5 สรุปผลการวิจัยและข้อเสนอแนะ.....	80
5.1 สรุปผลการวิจัย.....	80
5.2 ข้อเสนอแนะ.....	82
รายการคำอิง.....	83
ภาคผนวก.....	85
ภาคผนวก ก. ผลการวิเคราะห์ข้อมูลจากโปรแกรมสำเร็จรูปต่างๆที่ได้จากการ โปรแกรมสำเร็จรูป.....	86
ภาคผนวก ข. ตารางค่าไวกฤตของการแจกแจงที่.....	90
ประวัติผู้เขียนวิทยานิพนธ์.....	91

คุณวิทยาลักษณะ

จุฬาลงกรณ์มหาวิทยาลัย

สารบัญภาพ

ภาพที่		หน้า
1.1	แสดงส่วนประกอบหลักของเซมิคอนดัคเตอร์.....	1
1.2	Wafer ชิ้นเมื่อตัดแล้วจะเรียกว่าชิพ (Chip)	2
1.3	เส้นทอง (Gold wire)	2
1.4	เรซิน (Resin)	3
1.5	งานเซมิคอนดัคเตอร์ที่ทำการผลิตเรียบร้อยแล้ว.....	5
1.6	แผนภูมิพาราไดแอดงบปริมาณของปัญหาที่เกิดกับงานมีขา.....	5
1.7	แผนภูมิพาราไดแอดงบปริมาณปัญหานลักษณะที่พบในกระบวนการรีชิป.....	6
1.8	แผนภาพถ่ายปลาชของปัญหาการเกิดเส้นทองล้มผัสดกันและใกล้กันน้อยกว่า 23 ไมครอน.....	7
2.1	ความนีดสัมบูรณ์ μ ของช่องไนล์.....	15
2.2	ความนีดคิโนมาติก γ ของช่องไนล์.....	16
2.3	ช่องไนล์ระหว่างเพลต.....	16
2.4	Stream tube.....	19
2.5	แสดงแบบจำลองทั่วไปของกระบวนการหรือระบบ.....	21
2.6	การออกแบบเชิงแพคทอเรียล 2 ปัจจัย (ไม่มีอันตรกิริยา)	26
2.7	การออกแบบเชิงแพคทอเรียล 2 ปัจจัย (มีอันตรกิริยา)	26
2.8	พื้นผิวผลตอนแบบสามมิติ.....	30
2.9	การออกแบบส่วนประสมกลางสำหรับ $k=2$ และ $k=3$	34
2.10	การออกแบบบีโกร์-เบ็นเนนเคนสำหรับสามตัวแปร.....	38
2.11	การออกแบบ Face-Centered ส่วนประสมกลาง สำหรับ $k=3$	39
3.1	แสดงความสัมพันธ์ของความหนืด และเวลา.....	52
3.2	ภาพแสดงการอธินายการทดลองแบบ CCD.....	55
3.3	เครื่องรีชิป.....	57
3.4	แม่พิมพ์.....	57
3.5	เครื่องเอกซเรย์.....	58
3.6	กล้องไมโครสโคป.....	58
3.7	เทอร์โมมิเตอร์.....	59

ภาคที่		หน้า
4.1	Normal Probability Plot ของข้อมูลค่าระยะห่างของเส้นทอง.....	65
4.2	ความสัมพันธ์ Residual ของข้อมูลค่าระยะห่างของเส้นทองกับลำดับการ ทดลอง.....	66
4.3	ค่า Residual กับ Fit value ของข้อมูลค่าระยะห่างของเส้นทอง.....	67
4.4	กราฟแสดงจุดที่เหมาะสมของแต่ละปีฯจัย.....	70
5.1	ความสัมพันธ์ระหว่างระยะห่างของเส้นทอง และแรงฉีดที่ 1.7 ตัน.....	81
5.2	แสดงความสัมพันธ์ระหว่างเวลาในการซีดเรซินและเวลาในการให้ความร้อน แก่เรซินที่แรงฉีดเรซิน 1.7 ตัน.....	81

ศูนย์วิทยทรัพยากร จุฬาลงกรณ์มหาวิทยาลัย

สารบัญตาราง

ตารางที่		หน้า
2.1	ค่าของ code level ใน Central composite design (2ปัจจัย) $A=1.414$	34
2.2	ค่าของ code level ใน Central composite design (3 ปัจจัย) $A=1.682$	35
2.3	การออกแบบเบ็อกซ์-เบ็นน์เคนแบบสามตัวแปร.....	38
2.4	การออกแบบส่วนประสมกล่าง ที่สามารถมุดได้หรือเก็บหมุนได้ที่มีบล็อกแบบเชิงตั้งฉาก.....	41
2.5	ตารางแสดงการทดสอบแบบจับคู่.....	47
3.1	สรุประดับปัจจัยที่ใช้ในการทดลองของกระบวนการรื้นรูปจากแม่พิมพ์.....	55
3.2	ตารางแสดงลำดับการทดลองและค่าของปัจจัยในการทดลอง.....	56
3.3	ตารางแสดงปัจจัยที่พิศในงานวิจัย.....	60
4.1	ตารางแสดงผลการทดลองกระบวนการรื้นรูปจากแม่พิมพ์.....	63
4.2	ตารางแสดงค่า P ที่วิเคราะห์ได้จากการทดลอง.....	68
4.3	ตารางแสดงสัมประสิทธิ์ของปัจจัยที่มีผลต่อระยะห่างของเส้นทอง.....	69
4.4	สภาวะที่เหมาะสมของแต่ละปัจจัยที่มีผลต่อระยะห่างของเส้นทอง.....	71
4.5	ข้อมูลที่ได้จากการทดลองเพื่อยืนยันผลของการรื้นรูปจากแม่พิมพ์.....	71
4.6	ตารางเปรียบเทียบค่าระยะห่างของเส้นทองที่ได้จากการความสัมพันธ์กับค่าระยะห่างของเส้นทองที่วัดได้จากเครื่อง X-ray.....	72
4.7	ตารางแสดงผลต่างระหว่างผลการทดลองและสมการ.....	75
4.8	แสดงผลการวิเคราะห์ Pair t-Test ระหว่างผลการทดลองและสมการ.....	77
4.9	ตารางแสดงผลต่างระหว่างการทดลองครั้งแรกและครั้งที่สอง.....	78
4.10	แสดงผลการวิเคราะห์ Pair t-Test ระหว่างการทดลองครั้งแรกและครั้งที่สอง.....	79

บทที่ 1

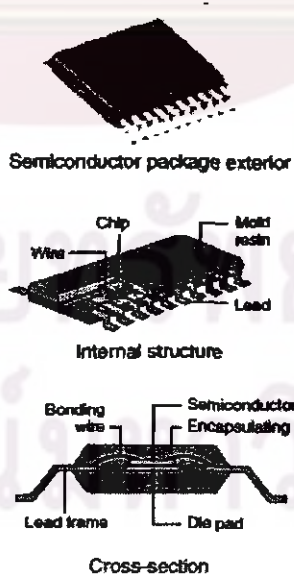
บทนำ

1.1 ความเป็นมาและความสำคัญของปัญญา

เคมีคอนดักเตอร์ (สารกึ่งตัวนำ) คือ วัสดุที่มีคุณสมบัติในการนำไฟฟ้าอยู่ระหว่างตัวนำและขวาง เป็นวัสดุที่ใช้ทำอุปกรณ์อิเล็กทรอนิกส์ มักมีส่วนประกอบของ germanium, selenium หรือ silicon วัสดุเนื้อแข็งผลึกพากหนึ่งที่มีสมบัติเป็นตัวนำ หรือสื่อไฟฟ้าก้าวกระหว่างโลหะกับโลหะหรือขวาง ความเป็นตัวนำไฟฟ้าขึ้นอยู่กับอุณหภูมิ และสิ่งไม่บริสุทธิ์ที่มีเจือปนอยู่ในวัสดุพากนี้ ซึ่งอาจเป็นธาตุหรือสารประกอบก็ได้ เช่น ธาตุเจอร์เมเนียม ชิลิคอน รีลีเนียม และตะกั่วเหล็กไฮด์ เป็นต้น วัสดุกึ่งตัวนำพากนี้มีความต้านทานไฟฟ้าลดลงเมื่ออุณหภูมิสูงขึ้น ซึ่งเป็นลักษณะตรงข้ามกับโลหะทั่งปวง

เคมีคอนดักเตอร์มีหลายประเภทด้วยกัน เช่น งานมีชา (Peripheral) งานไม่มีชา (Non-Lead) งานที่มีจุดเชื่อมต่อเป็นลักษณะลูกบลอกกลม ๆ เรียกว่า บอล และงานเรซินไส ซึ่งงานแต่ละประเภทออกแบบมาเพื่อใช้งานตามลักษณะงานที่แตกต่างกัน ในงานวิจัยนี้ รีลิกศึกษาและแก้ไขงานมีชา (peripheral) ที่เป็นผลิตภัณฑ์ใหม่

ส่วนประกอบหลักของเคมีคอนดักเตอร์ประเภทมีชา (Peripheral) ดังนี้



รูปที่ 1.1 แสดงส่วนประกอบหลักของเคมีคอนดักเตอร์

- Chip คือ แผงวงจรที่เป็นตัวควบคุมประมวลผลให้เครื่องใช้ไฟฟ้าทำงานตามหน้าที่ที่กำหนดเอาไว้



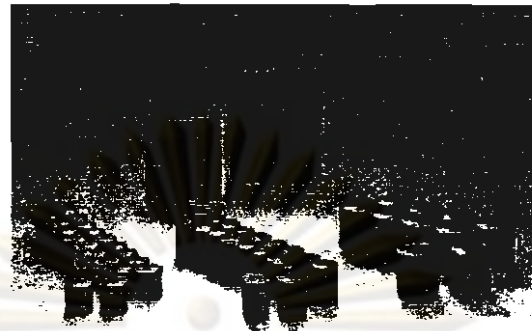
รูปที่ 1.2 Wafer ซึ่งเมื่อตัดแล้วจะเรียกว่าชิพ (Chip)

- Gold wire คือ เส้นทองที่เชื่อมระหว่าง Lead และ chip เพื่อให้กระแสไฟฟ้าไหลครบวงจร



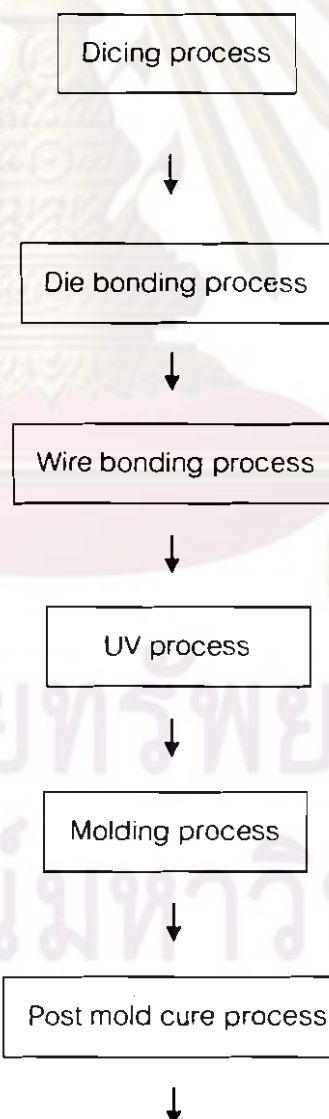
รูปที่ 1.3 เส้นทอง (Gold wire)

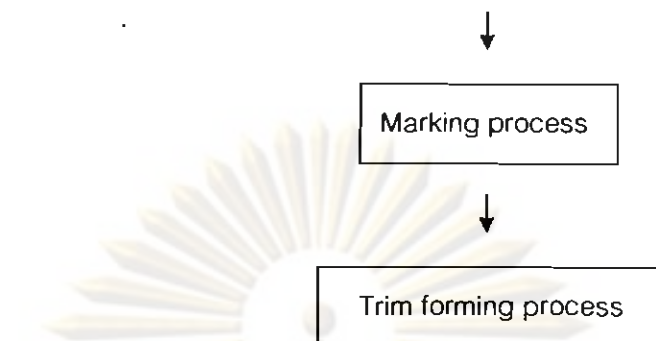
- Lead frame คือแผ่นโลหะนำไฟฟ้าที่ทำหน้าที่เป็นโครงแกนกลางของอุปกรณ์semi conductor
- Mold resin คือ thermoset plastic ทำหน้าที่ป้องกันวงจรภายในไม้ให้ได้รับความเสียหาย



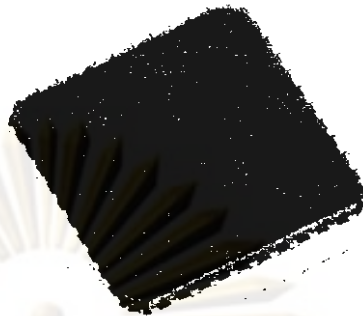
รูปที่ 1.4 เกรซิน (Resin)

กระบวนการหลักในการผลิตเซมิคอนดัคเตอร์



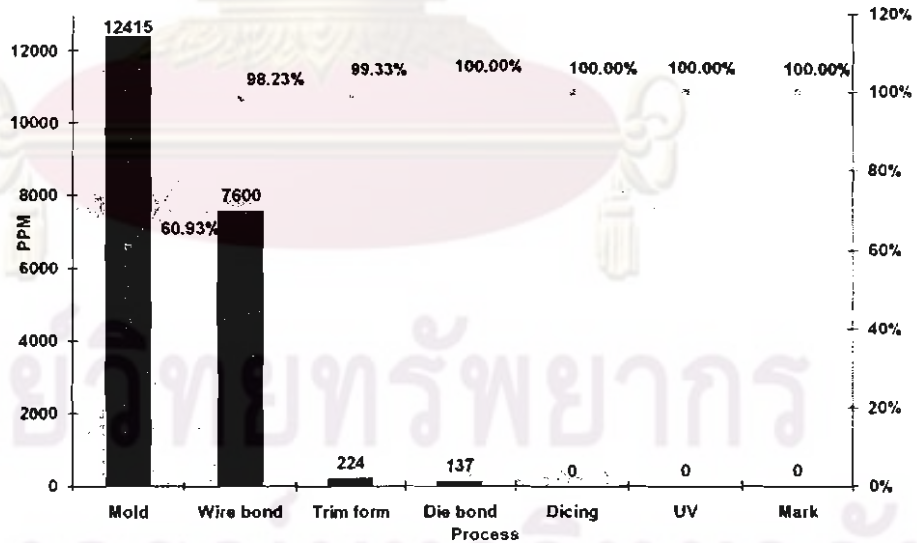


1. Dicing process เป็นกระบวนการการตัดแผ่น wafer ให้มีขนาดตามที่ผู้ออกแบบ (Designer) ได้ออกแบบไว้สำหรับผลิตภัณฑ์นั้นๆ ซึ่งเมื่อตัดแล้วจะเรียกว่า ชิพ (Chip)
2. Die bonding process เป็นกระบวนการการหัวใจชิพ (Chip) ลงบนแผ่นโลหะนำไฟฟ้า (Lead frame) โดยมีกาว (Paste) เป็นตัวประสาน
3. Wire bonding process เป็นกระบวนการการเชื่อมเส้นทองจากขาแผ่นโลหะนำไฟฟ้า ไปยังชิพ (Chip) เพื่อให้ไฟฟ้าไหลผ่านครบทุกจุด
4. UV process เป็นกระบวนการนำงานผ่านรังสี UV ในระยะเวลาหนึ่งเพื่อทำความสะอาดหน้าชิพ (Chip) และด้านหลังของงานก่อนทำการฉีดขึ้นรูป เพื่อป้องกันไม่ให้เกิดการแยกชั้นระหว่างเรซิน (Resin) กับ ชิพ (Chip) และแผ่นโลหะนำไฟฟ้า (Lead frame)
5. Molding process เป็นกระบวนการฉีดเรซิน (Resin) เข้าไปยังแม่พิมพ์โดยมีชิพ (Chip) เส้นทอง (Gold wire) และส่วนของแผ่นโลหะนำไฟฟ้า (Lead frame) อยู่ภายใน เพื่อป้องกันไม่ให้ส่วนประกอบดังกล่าวได้รับความเสียหายขณะนำไปใช้งาน
6. Post mold cure process เป็นกระบวนการอบงานเพื่อเป็นการลดความเครียด (Strain) ของอุปกรณ์เคมีคอนเดคเตอร์ เนื่องจากการใช้งาน
7. Marking process เป็นกระบวนการการทำสัญลักษณ์บนตัวงานเพื่อบอกถึงชนิดของงาน วันเวลาและล็อตในการผลิต
8. Trim forming process เป็นกระบวนการการตัดงานแยกออกจาก Lead frame ออกเป็นตัวและขึ้นรูปของงานให้พร้อมที่จะใช้งาน

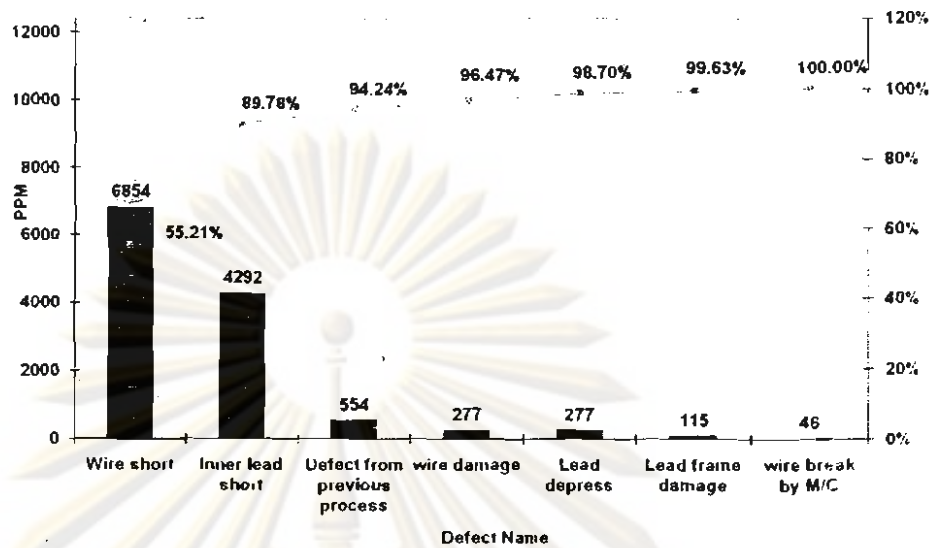


รูปที่ 1.5 งานเคมีคอนดักเตอร์ที่ทำการผลิตเรียบร้อยแล้ว

เนื่องจากบริษัทกรณีศึกษาพบปัญหาในกระบวนการรีนรูป (Mold process) ใน การผลิตผลิตภัณฑ์ใหม่ซึ่งแตกต่างจากผลิตภัณฑ์เดิมโดยที่ขนาดของชิป (chip) มีขนาดเล็กลงซึ่ง ส่งผลให้ความยาวของเส้นทอง (Gold wire) เพิ่มมากขึ้น ดังนั้นมีการจัดเรียนเข้าไปในแม่พิมพ์ ทำให้เกิดงานเสียที่เรียกว่าเส้นทองสัมผัสกัน หรือ เส้นทองแต่ละเส้นใกล้กันเกินกว่าที่ข้อกำหนด ของผลิตภัณฑ์กำหนดไว้ คือ เส้นทองแต่ละเส้นต้องห่างกันมากกว่าหรือเท่ากับเส้นผ่าศูนย์กลาง ของเส้นทอง ในที่นี้เส้นผ่าศูนย์กลางของเส้นทองเท่ากับ 23 ไมครอน ดังนั้นผลิตภัณฑ์นี้ กำหนดให้เส้นทองแต่ละเส้นต้องอยู่ห่างกันมากกว่า 23 ไมครอน



รูปที่ 1.6 แผนภูมิพาราเมตริกแสดงปริมาณของปัญหาที่เกิดกับงานมีข้า



รูปที่ 1.7 แผนภูมิพาราเมตรแสดงปริมาณปัญหานักที่พบในกระบวนการรีชั่นรูป

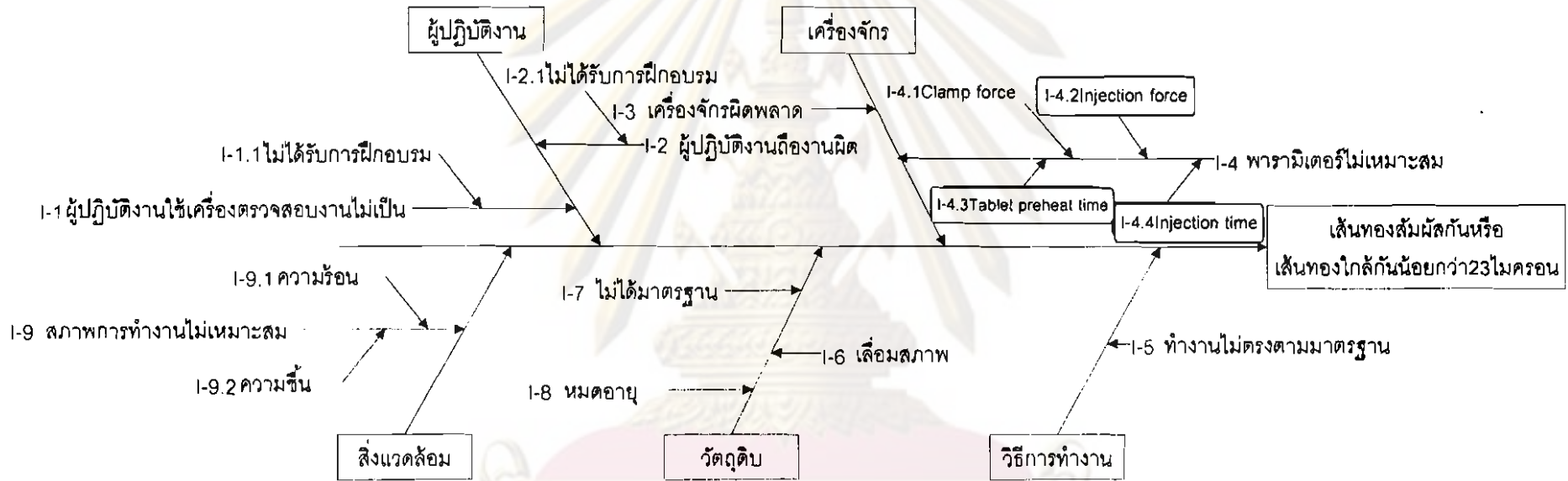
แต่ปัญหาดังกล่าวไม่ได้ทำให้งานเสียหายเนื่องจากเมื่อตรวจสอบงานด้วยเครื่องเอ็กซเรย์ในด้านบน เส้นทองมีลักษณะที่สมผัสกัน แต่เมื่อเอ็กซเรย์ด้วยการตะแคงดูด้านข้างจะเห็นว่าเส้นทองไม่ได้สมผัสกันเลย แต่เหตุที่บริษัทกรณีศึกษาต้องการให้แก้ปัญหานี้เนื่องจากในกระบวนการรีชั่นรูปเมื่อทำการรีชั่นรูปงานแล้ว ผู้ปฏิบัติงานจะต้องนำงานมาเอ็กซเรย์จากด้านบนเพื่อตรวจสอบคุณภาพงานหลังการรีชั่นรูป และเมื่อมีการพับเส้นทองสัมผัสกันผู้ปฏิบัติงานจะทำการตัดสินใจให้งานเป็นของเสีย เนื่องจากเป็นไปตามข้อกำหนดของผลิตภัณฑ์ จึงทำให้เกิดการสูญเสียงานที่ไม่ได้สูญเสียจริงที่เป็นจำนวน 0.69% ของจำนวนงานที่ผลิตทั้งหมด

การวิเคราะห์สาเหตุของการเกิดปัญหา

จากปัญหาที่ได้กล่าวมาข้างต้น จะถูกนำมาวิเคราะห์สาเหตุของปัญหานี้ด้วยการระดมสมองจากผู้ที่เกี่ยวข้องกับการทดสอบนี้ได้แก่ ฝ่ายควบคุมคุณภาพ ฝ่ายวิจัยและพัฒนา ผลิตภัณฑ์ และฝ่ายเทคนิค โดยการใช้แผนภาพก้างปลาเป็นเครื่องมือทางสถิติในการวิเคราะห์สาเหตุของปัญหา

จุฬาลงกรณ์มหาวิทยาลัย

เส้นทองสัมผัสถกันหรือไกลั้กันน้อยกว่า 23 ไมครอน



รูปที่ 1.8 แผนภาพกังวลปัจจัยของปัญหาการเกิดเส้นทองสัมผัสถกันและเส้นทองไกลั้กันน้อยกว่า 23 ไมครอน

ศูนย์วิทยาห้องปฏิบัติการ
จุฬาลงกรณ์มหาวิทยาลัย

จากแผนภูมิก้างปลาของปัญหาการเกิดเส้นทองสัมผัสกันและเส้นทองใกล้กันน้อยกว่า 23 ไมครอนเมื่อทำการวิเคราะห์โดยใช้หลักการ Why-Why Analysis เพื่อค้นหาสาเหตุหลักและสาเหตุทางแก้ไข สามารถสรุปผลการวิเคราะห์และสาเหตุหลักได้ดังนี้

ผู้ปฏิบัติงาน :

- I-1: พนักงานใช้เครื่องตรวจสอบงานชี่งกีดิค เครื่อง X-ray เป็นเครื่องที่สามารถเข้าใจในเรื่องการใช้งาน ดังนั้น จึงไม่มีการเรียนรู้ให้งานหน้าเครื่องต่างๆ ของเครื่องดังนั้น
- I-1.1: ไม่ได้รับการฝึกอบรม ดังนั้นต้องจัดให้มีการฝึกอบรมการใช้เครื่องตรวจสอบงาน
- I-2: การถืองานผิดเนื่องจากอุปกรณ์ช่วยในการทำงานเข้าสู่เครื่องจักรมีขนาดเล็กและยากต่อการใส่ขึ้นงานเข้าเครื่องจักร ถ้าวางแผนของมีผิดจากตำแหน่งที่ระบุในมาตรฐานการถืองาน ความเสี่ยงที่ทำให้เส้นทองล้มจะสูงขึ้น ดังนั้นจึงมีการออกแบบอุปกรณ์ช่วยในการถืองานได้ง่ายขึ้น เพื่อลดความเสี่ยงที่เส้นทองล้มก่อนเข้าสู่เครื่องรีนรูป
- I-2.1: ไม่ได้รับการฝึกอบรม ดังนั้นต้องจัดให้มีการฝึกอบรมการถืองาน

เครื่องจักร:

- I-3: เครื่องจักรผิดพลาด หรือเครื่องจักรชำรุด ได้รับการตรวจสอบทุกวันจากฝ่ายซ่อมบำรุง ซึ่งหากพบความผิดพลาดหรือเครื่องจักรชำรุด เครื่องจักรจะได้รับการแก้ไขทันที
- I-4: พารามิเตอร์ไม่เหมาะสม เพราะงานมีการเปลี่ยนแปลงโครงสร้างซึ่งมีความเสี่ยงที่จะมีการสัมผัสกันของเส้นทองสูงหากใช้พารามิเตอร์เดิม
 - I-4.1: Clamp force แรงกดมีผลต่องานในเรื่องของความสูงของงาน และการเปิดปิดทางเข้าออกของอากาศในตัวงานขณะทำการฉีดเรซิน ดังนั้น ค่าของแรงกดจึงต้องพิจารณาอย่างสมบูรณ์ แรงฉีดมีผลให้เกิดเส้นทองสัมผัสกัน หรือ เส้นทองใกล้กันน้อยกว่า 23 ไมครอน เนื่องจากแรงดึงกล่าวจะเป็นตัวผลักให้มวลของเรซินไปปะทะกับเส้นทองซึ่งทำให้เส้นทองเกิดการโค้งอ่อนล้มหรือใกล้กัน ซึ่งยังไม่สามารถหาแรงฉีดที่เหมาะสมได้สาเหตุหลัก
 - I-4.2: Injection Force แรงฉีด คือ แรงที่กระทำกับแกนฉีดเพื่อให้เรซินไหลเข้าไปในแม่พิมพ์อย่างสมบูรณ์ แรงฉีดมีผลให้เกิดเส้นทองสัมผัสกัน หรือ เส้นทองใกล้กันน้อยกว่า 23 ไมครอน เนื่องจากแรงดึงกล่าวจะเป็นตัวผลักให้มวลของเรซินไปปะทะกับเส้นทองซึ่งทำให้เส้นทองเกิดการโค้งอ่อนล้มหรือใกล้กัน ซึ่งยังไม่สามารถหาแรงฉีดที่เหมาะสมได้สาเหตุหลัก
 - I-4.3: Tablet preheat time เวลาให้ความร้อนแก่เรซิน คือระยะเวลาในการให้ความร้อนแก่เรซินมีผลให้เกิดเส้นทองสัมผัสกัน

หรือ เส้นทองໄກลักษันน้อยกว่า 23 ไมครอน เนื่องจากความร้อนที่ให้ไปนั้นจะส่งผลต่อ
ลักษณะของเรซินซึ่งมีอยู่ 3 ช่วง

ช่วงแรก คือช่วงที่เรซินมีสถานะเป็นของแข็งรึเมื่อโดนความร้อน ความแข็งแรง
ของเรซินก็จะค่อยๆลดลงเรื่อยๆ

ช่วงที่สอง คือช่วงที่เรซินเป็นเจล (ช่วงที่เป็นของเหลว) สูงสุด ช่วงนี้ถือว่าเป็นช่วง
ที่เหมาะสมที่สุดที่จะฉีดเรซินเข้าไปยังแม่พิมพ์

ช่วงที่สาม คือช่วงที่เรซินจะค่อยๆเปลี่ยนสถานะจากการเป็นเจลกลับมาเป็น
ของแข็ง

ซึ่งยังไม่สามารถหาช่วงเวลาในการให้ความร้อนแก่เรซินที่เหมาะสมได้ สาเหตุหลัก

- I-4.4: Injection time เวลาในการฉีดเรซิน คือระยะเวลาในการฉีดเรซินเข้าไปในแม่พิมพ์
ระยะเวลาในการฉีดมีผลให้เกิดเส้นทองสัมผัสกัน หรือ เส้นทองໄกลักษันน้อยกว่า 23
ไมครอน เนื่องจาก

F คือ แรง, m คือมวล และ a คือความเร่ง

$$F = ma$$

$$a = v/t$$

$$F = m * (v/t)$$

$$t = mv / F$$

จากสูตรจะเห็นว่า t \propto F

รีบงหมายความว่าถ้าเวลาในการฉีดของเรซินมีน้อยจะส่งผลให้แรงของเรซินที่ฉีดเข้าไปยัง
แม่พิมพ์มากเข่นกัน ขณะนี้ยังไม่สามารถหาช่วงเวลาในการฉีดเรซินที่เหมาะสมได้ สาเหตุหลัก

วิธีการทำงาน :

- I-5: ทำงานไม่ตรงตามมาตรฐาน เนื่องจากไม่ได้รับความรู้หรือการฝึกอบรมก่อนการ
ปฏิบัติงานจริง ตั้งนั้นมาตรฐานที่ระบุถึงวิธีการและข้อควรระวังซึ่งผู้ปฏิบัติงานทุกคน
จะต้องศึกษา ผู้ปฏิบัติงานต้องทำความเข้าใจก่อนทำการปฏิบัติงานจริง

วัตถุดิบ:

- I-6: วัตถุดิบเสื่อมสภาพ เนื่องจากได้รับการศูแลที่ไม่ได้มาตรฐาน เช่น สภาพอุณหภูมิในที่เก็บมีการเปลี่ยนแปลง ดังนั้นจึงมีการควบคุมห้องเก็บหรือตู้เก็บเรซินอยู่เสมอ
- I-7: วัตถุดิบไม่ได้มาตรฐาน เนื่องจากมาตรฐานวัตถุดิบเกิดจากข้อตกลงระหว่างบริษัทและผู้ผลิต ซึ่งผู้ผลิตจะทำการตรวจสอบวัตถุดิบว่าตรงตามมาตรฐานหรือไม่ ก่อนส่งมาให้บริษัทซึ่งหากไม่ผ่านมาตรฐานก็ต้องทำการผลิตใหม่
- I-8: วัตถุดิบหมดอายุ มีผลต่อคุณภาพของเรซินอย่างมาก เนื่องจากเวลาผ่านไปคุณภาพของเรซินก็จะต่ำลงเรื่อยๆ ดังนั้นหากล่องบรรจุเรซินต้องการระบุ วันที่ผลิต วันหมดอายุรวมถึงล็อตเรซิน

สิ่งแวดล้อม:

- I-9: สภาพการทำงานไม่เหมาะสม ดังนั้นจึงมีการควบคุมและบันทึกค่าต่างๆ อยู่เป็นประจำ
- I-9.1: ความร้อนมีผลต่อคุณภาพของงานและวัตถุดิบในการผลิต ดังนั้น จึงมีการควบคุมและบันทึกค่าภายในห้องปฏิบัติงาน อยู่เสมอ
- I-9.2: ความชื้นมีผลต่อคุณภาพของงานและวัตถุดิบในการผลิต ดังนั้น จึงมีการควบคุมและบันทึกค่าภายในห้องปฏิบัติงาน อยู่เสมอ

จากแผนภาพก้างปลาและวิเคราะห์ร่วมกันระหว่างผู้ที่เกี่ยวข้อง พบร่วมกันที่มีอิทธิพลต่อการเกิดเส้นทางสัมผัสน้ำหน้าหรือไอล์กันน้อยกว่า 23 ไมครอน มีดังนี้

1. Injection force
2. Injection time
3. Tablet preheat time

1.2 วัตถุประสงค์ของการวิจัย

เพื่อปรับปรุงงานเชมิคอลดักเตอร์ที่มีขา (Peripheral) ไม่ให้เกิดปัญหาเส้นทางสัมผัสน้ำหน้าหรือเส้นทางไอล์กันน้อยกว่า 23 ไมครอนซึ่งถือว่าเป็นสาเหตุ

1.3 ขอบเขตของการวิจัย

1. ทำการศึกษาเฉพาะปัญหาเส้นทางสัมผัสกันหรือเส้นทางใกล้กันน้อยกว่า 23 มิลลิเมตรในกระบวนการรีซึ่นรูปเท่านั้น
2. ทำการศึกษาและปรับปรุงค่าต่างๆ ของกระบวนการรีซึ่นรูปดังนี้
 1. Injection force
 2. Injection time
 3. Tablet preheat time
3. กำหนดค่าคงที่ของกระบวนการรีซึ่นรูปดังนี้
 1. Clamp force
 2. Tablet position
 3. Cure time
 4. Die temperature
4. ทำการควบคุมคุณลักษณะของวัสดุดิบ
 1. ลักษณะการผลิตและชนิดของเรซินต้องเป็นลักษณะและชนิดเดียวกันเท่านั้น
 2. สภาพงานก่อนนำเข้ามาในกระบวนการรีซึ่นรูปต้องมีสภาพเหมือนกันโดยกระบวนการก่อนหน้าต้องควบคุมค่าการผลิตให้เหมือนกันทุกครั้ง
 3. เส้นทางทำจากทอง 99.99% มีขนาดเส้นผ่านศูนย์กลาง 20 มิลลิเมตร
 5. ทำการควบคุมเครื่องจักรโดยทดลองที่เครื่องจักรเครื่องเดียวเท่านั้น
 6. ทำการควบคุมลักษณะของแม่พิมพ์โดยใช้แม่พิมพ์เดียวกันเท่านั้น
 1. อายุของแม่พิมพ์อยู่ที่ 10,000-20,000 การรีซั่น
 2. อายุของกรอบอกชีด (Pot) และ แกนชีด (Plunger) 210 วัน ± 10%
 7. ทำการควบคุมสภาพแวดล้อมโดยทำการวิจัยในห้อง Cleanroom เท่านั้นโดย
 1. ค่าอุณหภูมิห้องอยู่ในช่วง 22-26 องศาเซลเซียส
 2. ค่าความชื้นสัมพัทธ์อยู่ในช่วง 40 - 60 %RH
 3. ห้อง Cleanroom ชนิด Class 1000
 4. พื้นห้องป้องกันไฟฟ้าสถิต

1.4 ประโยชน์ที่คาดว่าจะได้รับ

1. สามารถค้นพบสาเหตุของปัญหาเส้นทองส้มผักกันหรือเส้นทองใกล้กันน้อยกว่า 23 ไมครอนและสามารถควบคุมไม่ให้ปัญหานั้นเกิดขึ้นในการผลิตได้อีก
2. สามารถนำผลการศึกษาวิจัยครั้งนี้ไปใช้เป็นแนวทางในการแก้ไขปรับปรุงกระบวนการผลิตงานตัวอื่นให้ดียิ่งขึ้นรวมถึงนำไปใช้เป็นแนวทางในการแก้ปัญหาอื่นๆที่มีลักษณะปัญหาใกล้เคียงกัน
3. สามารถเพิ่มการยอมรับในความสามารถในการหาพารามิเตอร์ที่เหมาะสมที่สุดที่จะไม่ทำให้งานเกิดปัญหาได้อีก

1.5 วิธีดำเนินการวิจัย

1. สำรวจงานวิจัยและทฤษฎีที่เกี่ยวข้อง
2. ศึกษาระบวนการขึ้นรูปของงานเชมิคอนดักเตอร์และปัญหาเส้นทองส้มผักกันหรือเส้นทองใกล้กันน้อยกว่า 23 ไมครอน
3. วิเคราะห์ปัจจัยที่มีผลต่อกระบวนการการขึ้นรูปที่ทำให้เกิดปัญหา
4. เลือกตัวแปรที่มีผลต่อปัญหา
5. เลือกการออกแบบการทดลองที่เหมาะสมกับปัญหา
6. ดำเนินการทดลองให้เป็นไปตามแผน
7. วิเคราะห์ผลการทดลองเชิงสถิติ
8. นำผลการทดลองที่ได้มาใช้ในการปรับปรุงในกระบวนการทำงานขึ้นรูป
9. ติดตามผลและตรวจสอบผลหลังการปรับปรุง
10. สรุปผลการดำเนินงานและข้อเสนอแนะ
11. จัดทำรูปเล่มวิทยานิพนธ์

1.6 ขั้นตอนการดำเนินงานวิจัย

ขั้นตอนการดำเนินงานวิจัย	ระยะเวลาดำเนินงานวิจัย											
	2551		2552									
	ก.ค.	ม.ค.	ก.พ.	มี.ค.	เม.ย.	พ.ค.	มิ.ย.	ก.ค.	ส.ค.	ก.ย.	ต.ค.	
1. ศึกษากระบวนการที่นักบุรุษงานเขมิคอลดักเตอร์และปัญหา												
2. สำรวจงานวิจัยและทดลองที่เกี่ยวข้อง			■■■■■									
3. วิเคราะห์ปัจจัยที่มีผลต่อกระบวนการที่นักบุรุษที่ทำให้เกิดปัญหา				■■■■■								
4. เลือกตัวแปรที่มีผลต่อปัญหา			■■■■■									
5. เลือกการออกแบบการทดลองที่เหมาะสมกับปัญหา				■■■■■								
6. ดำเนินการทดลองให้เป็นไปตามแผน					■■■■■							
7. วิเคราะห์ผลการทดลองเร่งสกัด						■■■■■						
8. นำผลการทดลองที่ได้มาใช้ในการปรับปรุงในกระบวนการการทำงานที่นุյง							■■■■■					
9. ติดตามผลและตรวจสอบหลังการปรับปรุง								■■■■■				
10. สรุปผลการออกแบบการทดลองและรีพอร์ตเสนอแนะ									■■■■■			
11. จัดทำรูปเล่มวิทยานิพนธ์										■■■■■		

ศูนย์วิทยาทรัพยากร
จุฬาลงกรณ์มหาวิทยาลัย

บทที่ 2

เอกสารและงานวิจัยที่เกี่ยวข้อง

การแก้ปัญหางานโดยนำเสนอไปที่เหมาะสมในกระบวนการผลิต จำเป็นต้องอาศัยทฤษฎีต่างๆที่เกี่ยวข้องมาประยุกต์ใช้ ซึ่งในบทนี้จะกล่าวถึงทฤษฎีต่างๆที่นำมาใช้ในการวิเคราะห์ปัญหา และการออกแบบการทดลองด้วยหลักการทำงานสถิติ

2.1 ทฤษฎีพื้นฐานเกี่ยวกับกลศาสตร์ของไหล

1. ความหนาแน่น (Density)

ความหนาแน่นของของไหล ρ (rho) คือมวลต่อหน่วยปริมาตร ดังนั้น

$$\text{ความหนาแน่น } \rho = \frac{m}{vol} \quad (2.1)$$

เมื่อ m เป็นมวลของของไหล มีหน่วยเป็น kg

vol เป็นปริมาตรของไหล มีหน่วยเป็น m^3

ดังนั้นหน่วยความหนาแน่น คือ kg/m^3

2. น้ำหนักจำเพาะ (Specific weight)

น้ำหนักจำเพาะ γ (Gamma) คือแรงที่เกิดจากแรงดึงดูดของโลกที่กระทำกับของไหลนึงหน่วย ดังนั้นจึงมีหน่วยของแรงต่อปริมาตร นั้นคือ N/m^3

ความหนาแน่นและความหนาแน่นจำเพาะมีความสัมพันธ์กันดังต่อไปนี้ คือ

$$\rho = \frac{\gamma}{g} \quad \text{หรือ} \quad \gamma = \rho g \quad (2.2)$$

3. ปริมาตรจำเพาะ (Specific volume)

ปริมาตรจำเพาะคือปริมาตรของของไหลต่อหนึ่งหน่วยมวล มักใช้กับแก๊ส และมีหน่วยเป็น m^3/kg ดังนั้น

$$v^3 = \frac{1}{\rho} \quad (2.3)$$

เมื่อ m^3 เป็นปริมาตรจำเพาะ

4. ความถ่วงจำเพาะ (Specific gravity)

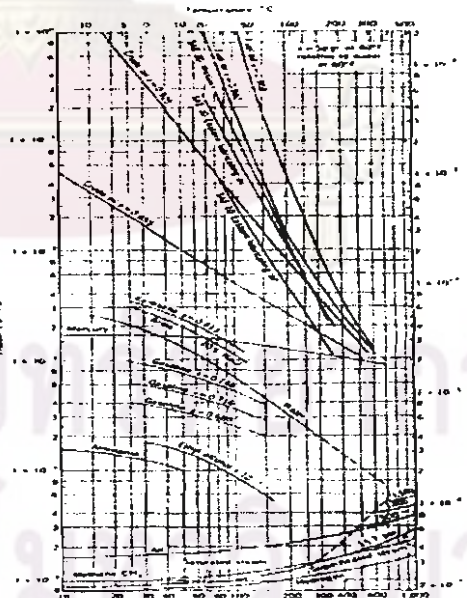
ความถ่วงจำเพาะ S ของของเหลว คือ อัตราส่วนของความหนาแน่นของของเหลวต่อความหนาแน่นของน้ำบริสุทธิ์ที่อุณหภูมิมาตรฐาน (1000 kg/m^3) ดังนั้น

$$S = \frac{\text{ความหนาแน่นของของเหลว}}{\text{ความหนาแน่นของน้ำบริสุทธิ์}} \quad (2.4)$$

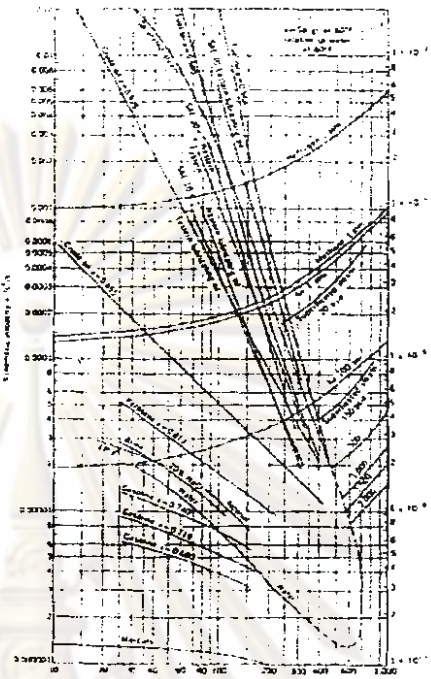
ความถ่วงจำเพาะไม่มีหน่วย. ความถ่วงจำเพาะบางครั้งอาจเรียกว่า ความหนาแน่นสัมพัทธ์ (Relative density)

5. ความหนืด

ความหนืด (Viscosity) ของของในล็อก ค่าความต้านทานต่อการเคลื่อนแรงเสียดทานที่เกิดขึ้นในของเหลวเป็นผลมาจากการแข็งดูด ระหว่างโมเลกุล และการเปลี่ยนแปลงโน้มนต์มระหว่างโมเลกุลของของเหลว ค่าความหนืดสัมบูรณ์และค่าความหนืด คิเนมาติก ของของเหลวบางชนิดแสดงไว้ในภาพที่ 2.1 และ 2.2.



รูปที่ 2.1 ความหนืดสัมบูรณ์ μ ของของในล



รูปที่ 2.2 ความหนืดคิโนมาติก γ ของไอนอล

พิจารณาเพลต (plate) ขนาด 2 แผ่นดังภาพที่ 2.3 ซึ่งมีขนาดในที่สุดกว้าง
อยู่ห่างกันเป็นระยะ Y m , ซึ่งว่างระหว่างเพลตทั้ง 2 มีของไอลบารูอยู่ . สมมติว่าแผ่นล่าง
นยุตินิส ผวนแผ่นบนเคลื่อนที่ด้วยความเร็ว v m/s ด้วยผลจากแรงภายนอก F N , เพลตมี
พื้นที่ A

รูปที่ 2.3 ของไอลบารูของเพลต

จากการทดลองออกแรงดึงเพลตแผ่นบนให้เคลื่อนที่พบว่า

$$F \propto \frac{AV}{Y}$$

จากภาพที่ 2.3 พบว่า V/Y อาจแทนด้วย dv/dy ดังนั้น

$$F \propto A \frac{dv}{dy}$$

หรือ

$$\frac{F}{A} = \frac{dv}{dy}$$

กำหนดให้ความเค้นเฉือน (shear stress) $\tau = \frac{F}{A}$ และให้ μ (m/s) เป็นค่าคงที่ของสัดส่วน จะได้ว่า

$$\tau = \frac{F}{A} = \mu \frac{dv}{dy} = \mu \frac{V}{Y} \quad (2.5)$$

สมการนี้เรียกว่า สมการความหนืดของนิวตัน

ค่าคงที่ของสัดส่วน μ มีชื่อเรียกว่า สัมประสิทธิ์ความหนืด

หน่วยของความหนืดหาได้โดยการพิจารณาสมการที่ 1.7 ซึ่งพบว่าเป็นหน่วยของความเค้นเฉือนหารด้วยหน่วยของ dv/dy นั้นคือ

$$\text{หน่วยของ } \mu = \frac{N/m^3}{m/s} = \frac{N.s}{m^2} = Pa.s$$

ในปัจจุบันทางประเทศอาจจะพนว่า การนำเอาค่าความหนืดของของในลักษณะเดียวความหนาแน่นของของในลักษณะเดียวที่ได้มีชื่อเรียกว่า ความหนืดคิโนมาติก

(Kinematic viscosity), ν (gb) ซึ่ง

$$\nu = \frac{\mu}{\rho} \quad (2.6)$$

ของในลักษณะเดียวอนุภาคของซึ่งในลักษณะมากเคลื่อนในทิศทางที่ของในลักษณะที่อนุภาคต่างๆ เหล่านี้ไม่ได้เคลื่อนที่นานกันไปตลอดแต่เคลื่อนที่ไปอย่างอิสระ ความเร็วของอนุภาคเป็นปริมาณเวกเตอร์มีทั้งขนาด และทิศทางซึ่งเปลี่ยนแปลงตลอดเวลา

6. ประเภทของการไหล

การไหลของของไหลแบ่งออกเป็นสองประเภทคือ

1. การไหลแบบเทอร์บิวเลนท์ (Turbulent flow) เป็นการไหลที่อนุภาคของของไหลเคลื่อนที่อย่างไม่เป็นระเบียบ

2. การไหลแบบลามินาร์ (Laminar flow) เป็นการไหลที่อนุภาคของของไหลเคลื่อนที่อย่างเป็นระเบียบ

นอกจากนี้ยังมีคำที่เกี่ยวข้องกับการไหลของของไหลอีก คือ

1. Uniform flow เป็นการไหลซึ่งขนาดและทิศทางของความเร็วของของไหลมีค่าเท่ากันทุกๆหน้าตัดของการไหล

2. Non uniform flow เป็นการไหลของความเร็ว ความดัน เปลี่ยนแปลงไปทุกๆหน้าตัดของการไหล

3. Steady flow เป็นการไหลซึ่งความเร็วของของไหลไม่มีการเปลี่ยนแปลงไปตามเวลาแต่อาจเปลี่ยนแปลงได้ทุกๆหน้าตัดของการไหล

4. Non-steady flow เป็นการไหลซึ่งความเร็วของของไหลเปลี่ยนแปลงไปตามเวลา

7. อัตราการไหลและความเร็วเฉลี่ย

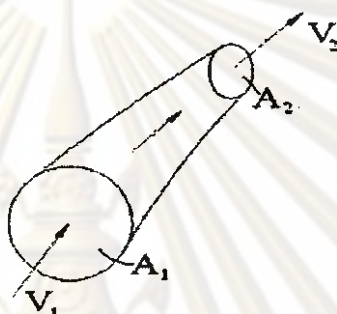
อัตราการไหล (flow rate) ของของไหล คือปริมาณของของไหลที่ไหลผ่านพื้นที่หน้าตัดที่กำหนดในหนึ่งหน่วยเวลา

ความเร็วเฉลี่ย (mean velocity) บนหน้าตัดที่กำหนดคือ ค่าอัตราการไหลผ่านพื้นที่หน้าตัดหารด้วย พื้นที่ หน้าตัด ถ้าให้ V เป็นความเร็วเฉลี่ย Q เป็นอัตราการไหล และ A เป็นพื้นที่หน้าตัด ดังนั้น

$$V = \frac{Q}{A} \quad (2.7)$$

8. สมการความต่อเนื่อง

สมการความต่อเนื่อง (Equation of continuity) พิจารณา Stream tube ดังภาพที่ 2.4 จากคุณสมบัติของ stream tube ทราบว่าของใน流ไม่สามารถไหลข้ามออกมากจาก stream tube ได้ดังนั้นของใน流ที่ในส่วนเดียวทางหน้าตัดจะไหลออกมากทางหน้าตัด ด้วยมวลเท่าเดิมเมื่อเป็นการไหลแบบ Steady flow มวลของของใน流ไม่มีการเปลี่ยนแปลงไปตามกาลเวลา ดังนั้นจึงเรียก สมการได้เป็น



ภาพที่ 2.4 Stream tube

$$\rho_1 A_1 V_1 = \rho_2 A_2 V_2 = \text{คงที่} \quad (2.8)$$

หรือ

$$\gamma_1 A_1 V_1 = \gamma_2 A_2 V_2 \quad (2.9)$$

ถ้าเป็นของใน流นิดที่อัดตัวไม่ได้ นั่นคือ $\rho_1 = \rho_2$ อาจเรียกได้ใหม่เป็น

$$A_1 V_1 = A_2 V_2 = Q \quad (2.10)$$

สมการ 2.8 ถึง 2.10 นี้เรียกว่าสมการความต่อเนื่อง

ศูนย์วิทยทรัพยากร

2.2 การวิเคราะห์ปัญหาด้วยแผนภูมิกังปลา (Fishbone diagram)

แผนภูมิกังปลา (Fishbone diagram) เป็นเครื่องมือชุดหนึ่งที่ใช้สำหรับแก้ไขปัญหาในงานอุตสาหกรรม หรือ ที่เรียกว่า Cause and Effect Diagram โดยปกติแล้วในกระบวนการผลิตสามารถแบ่งสาเหตุของปัญหาได้เป็น 4 ประการ (4M) ได้แก่ คน (Man) เครื่องจักร (Machine) วิธีการ (Method) และวัสดุ (Material) แผนภูมิกังปลาสามารถใช้กับการ

คันหาสาเหตุและผลกระทบทั้งในทางบวกและทางลบ วัตถุประสงค์หลักของวิธีการนี้คือ ช่วยในการแก้ไขปัญหาในองค์กรอย่างเป็นระบบ ปัญหาที่เรียกว่า Effect จะเขียนไว้ที่ หัวปลา และสาเหตุที่เป็นไปได้ ที่เรียกว่า Possible cause จะเขียนไว้บนก้างปลา

ขั้นตอนสำหรับสร้าง Cause and Effect Diagram มีดังนี้

ขั้นที่ 1 กำหนดปัญหา หรือผลกระทบ (Effect) ที่พิจารณาเพียงอย่างเดียวเท่านั้น

ขั้นที่ 2 กำหนดสาเหตุหลักๆ (Major cause) โดยใช้ 4M

ขั้นที่ 3 นาเหตุอื่นๆที่เป็นไปได้ (Possible cause)

ขั้นที่ 4 ให้เลือกสาเหตุที่สำคัญที่สุด ผ่านความคิดเห็นของกลุ่ม โดยอาจไม่ถูกต้องตามหลักการก็ได้ขึ้นอยู่กับกลุ่ม

ขั้นที่ 5 สาเหตุที่มีความเป็นไปได้มากที่สุดจะต้องนำมาพิจารณาอีกครั้งจนแน่ใจแล้วแบ่งเข้ากลุ่มของสาเหตุหลัก

ขั้นที่ 6 สาเหตุที่ถูกเลือกจะต้องมีการทดสอบเพื่อพิสูจน์ว่า เป็นสาเหตุที่แท้จริง หรือไม่ ซึ่งในขั้นตอนนี้จะใช้เวลานานหรือไม่ ขึ้นอยู่กับชนิดของปัญหา

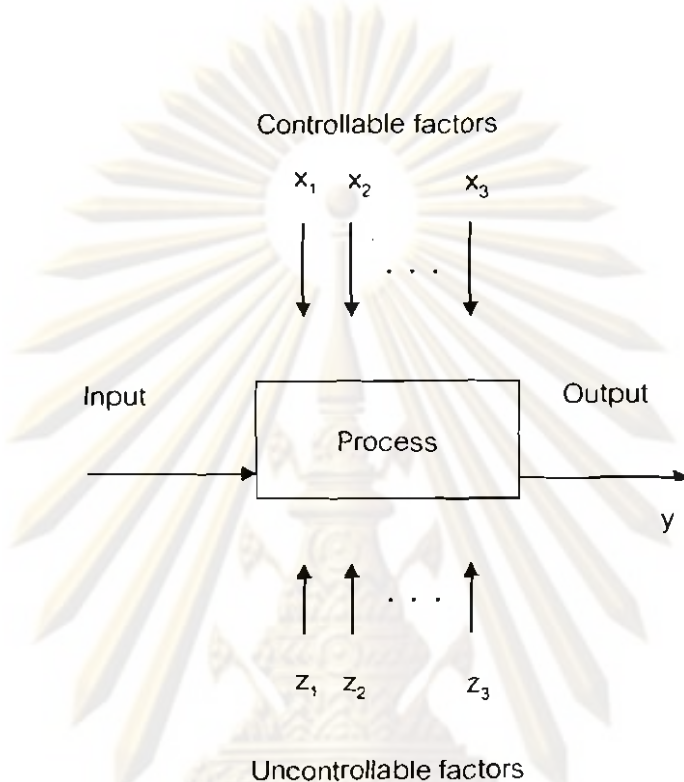
ในบางครั้งจะมีความยุ่งยากในการหาสาเหตุ ในโรงงานอุตสาหกรรมส่วนใหญ่นิยมใช้วิธีเคราะห์แบบ 5M 1E คือ คน (Man) เครื่องจักร (Machine) วิธีการ (Method) วัสดุ (Material) และการวัด (Measurement) และสิ่งแวดล้อม (Environment) โดยวิธีการนี้จะทำให้สามารถหาสาเหตุของผลกระทบที่เกิดขึ้นได้อย่างครบถ้วนมากที่สุด

2.3 การออกแบบการทดลองทางวิศวกรรม

1. การออกแบบการทดลอง (Statistic design of Experiment)

หมายถึงกระบวนการในการวางแผนการทดลองเพื่อให้ได้มาซึ่งข้อมูลที่เหมาะสมที่สามารถนำไปใช้ในการวิเคราะห์โดยวิธีกึ่งสถิติ ซึ่งจะทำให้นำข้อสรุปที่สมเหตุสมผลได้ในการทดลองได้ก็ตาม ผลลัพธ์และข้อสรุปที่เกิดขึ้นจะขึ้นอยู่กับวิธีการเก็บข้อมูล

ตามปกติแล้วการทดลองถูกนำมาใช้เพื่อศึกษาถึงประสิทธิภาพในการทำงานของกระบวนการและระบบ ซึ่งทั้งกระบวนการและการและระบบสามารถที่จะแทนด้วยแบบจำลองดังนี้



รูปที่ 2.5 แสดงแบบจำลองทั่วไปของกระบวนการหรือระบบ

2. หลักการพื้นฐานของการออกแบบการทดลอง

หลักการพื้นฐาน 3 ประการสำหรับการออกแบบการทดลองคือ

1. เ雷พลิเคชัน (Replication) หมายถึงการทำการทดลองซ้ำซึ่งมีคุณสมบัติ 2

ประการคือ

- 1.1 เ雷พลิเคชัน ทำให้ผู้ทดลองสามารถคำนวณความผิดพลาดในการทดลองได้ ตัววิเคราะห์มานค่าความผิดพลาดนี้กลไกเป็นหน่วยของการวัดขั้นพื้นฐาน สำหรับพิจารณาว่า ความแตกต่างสำหรับข้อมูลที่ได้จากการทดลองนั้นมีความแตกต่างกันในเชิงสถิติหรือไม่

1.2 ถ้าค่าเฉลี่ยถูกนำมาใช้เพื่อประมาณผลที่เกิดจากปัจจัยหนึ่งในการทดลอง ด้านนี้เพลลิเคชันทำให้ผู้ทดลองสามารถตัวประมาณที่ถูกต้องยิ่งขึ้นในการประมาณผลกระบวนการนี้

2. แรนดอมไม่เขียน (Randomization) หมายถึงการทดลองที่มีหัววัสดุที่ใช้ในการทดลองและลำดับของการทดลองแต่ละครั้งเป็นแบบสุ่ม แรนดอมไม่เขียนเป็นพื้นฐานหลักสำหรับการใช้วิธีการเชิงสถิติในการออกแบบการทดลองวิธีการเชิงสถิติกำหนดว่าข้อมูล (หรือความผิดพลาด) จะต้องเป็นตัวแปรแบบสุ่มที่มีการกระจายแบบอิสระ การที่เราเรนดอมไม่เข้าการทดลองทำให้เราสามารถลดผลของปัจจัยภายนอกที่อาจจะปรากฏในการทดลองได้

3. บล็อกกิ้ง (Blocking) เป็นเทคนิคที่ใช้สำหรับเพิ่มความเที่ยงตรง (Precision) ให้แก่การทดลอง บล็อกอันหนึ่งอาจจะหมายถึงส่วนหนึ่งของวัสดุที่ใช้ในการทดลองที่ควรจะมีความเป็นอันหนึ่งอันเดียวกันมากกว่าเขตหัวใจของวัสดุ การเปรียบเทียบเงื่อนไขที่น่าสนใจต่างๆ ภายในแต่ละบล็อกจะเกิดขึ้นได้จากการทำงานบล็อกกิ้ง

2.4 แนวทางการออกแบบการทดลอง

การใช้วิธีการเชิงสถิติในการออกแบบและวิเคราะห์การทดลอง มีความจำเป็นอย่างยิ่งที่ต้องมีความเข้าใจอย่างถ่องแท้ล่วงหน้า ขั้นตอนในการดำเนินการอาจจะทำได้ดังนี้

1. ทำความเข้าใจถึงปัญหา ในขั้นตอนนี้จะต้องพยายามพัฒนาแนวความคิดเกี่ยวกับวัตถุประสงค์ของการทดลองและหาข้อมูลอินพุตจากบุคคลหรือหน่วยงานต่าง ๆ ที่เกี่ยวข้อง ต้องแสวงหาปัญหาที่มีความซับซ้อนจะมีผลอย่างมากต่อความเข้าใจเกี่ยวกับปรากฏการณ์และคำตอสูตรท้ายของปัญหานั้นๆ ด้วยเหตุนี้เองการออกแบบการทดลองทุกครั้งจะมีการทำงานเป็นทีม

2. เลือกปัจจัย ระดับ และขอบเขต ผู้ทดลองต้องเลือกปัจจัยที่จะนำมาเปลี่ยนแปลงในระหว่างทำการทดลอง กำหนดขอบเขตที่ปัจจัยเหล่านี้จะเปลี่ยนแปลง และกำหนดระดับ (Level) ที่จะเกิดขึ้นในการทดลอง จะต้องพิจารณาด้วยว่าจะควบคุมปัจจัยเหล่านั้น จุดที่กำหนดให้อย่างไร และจะวัดผลได้อย่างไร

ผู้ทดลองจำเป็นจะต้องมีความรู้เกี่ยวกับกระบวนการการอย่างมาก ทั้งจากประสบการณ์และจากทางทฤษฎี

ในการทดลองเพื่อกรองปัจจัยควรจะเลือกข้อบ่งชี้ให้กว้างมากๆ และเมื่อเราได้เรียนรู้เพิ่มขึ้น ตัวแปรใดมีความสำคัญและระดับใดที่ทำให้เกิดผลลัพธ์ที่ดีที่สุด เราอาจจะลดขอบเขตให้แคบลงได้

3. เลือกด้วยการทดลอง ขั้นตอนนี้ควรแนวใจว่าตัวแปรนี้จะให้ข้อมูลเกี่ยวกับกระบวนการที่กำลังศึกษาอยู่ ปัจจุบันที่ค่าเฉลี่ยหรือส่วนเบี่ยงเบนมาตรฐานของกระบวนการจะเป็นตัวแปรผลตอบ เป็นไปได้ว่าในการทดลองนี้อาจจะมีผลตอบหลายตัวและมีความจำเป็นมากที่จำต้องกำหนดให้ได้ว่า จะใช้คือตัวแปรผลตอบ และจะวัดตัวแปรได้อย่างไรก่อนจะเริ่มดำเนินการทดลอง

4. เลือกการออกแบบการทดลอง ถ้ากิจกรรมการวางแผนก่อนการทดลองทำได้อย่างถูกต้อง ขั้นตอนนี้จะเป็นขั้นตอนที่ง่ายมากซึ่งจะเกี่ยวข้องกับขนาดของตัวอย่าง (จำนวนเพลลิเคชัน) เราจำเป็นจะต้องคำนึงถึงวัตถุประสงค์ของการทดลองอยู่ตลอดเวลา ใน การทดลองนั้นเราจะทราบแต่ต้นว่าปัจจัยบางตัวมีผลต่อผลตอบที่เกิดขึ้น ดังนั้นเราจะปัจจัยตัวใดที่ทำให้เกิดความแตกต่าง และประมาณขนาดของความแตกต่างที่เกิดขึ้น

5. ทำการทดลอง ขั้นตอนนี้ต้องมีการติดตามดูกระบวนการทำงานอย่างระมัดระวัง เพื่อให้แน่ใจว่าการดำเนินการทุกอย่างเป็นไปตามแผน ดังนั้นการวางแผนในตอนแรกจะมีความสำคัญอย่างมาก

6. วิเคราะห์ข้อมูลเชิงสถิติ ข้อได้เปรียบของวิธีการทางสถิติ ก็คือทำให้ผู้ที่มีอำนาจในการตัดสินใจมีเครื่องมือช่วยที่มีประสิทธิภาพ และถ้าเอาวิธีการทางสถิติมาผนวกกับความรู้ทางวิศวกรรม ความรู้เกี่ยวกับกระบวนการและสามัญสำนึก จะทำให้ข้อสรุปที่ได้ออกมานั้นมีเหตุผลสนับสนุนที่น่าเชื่อถือ

7. สรุปและข้อเสนอแนะ ในขั้นตอนนี้จะนำเอาวิธีทางกราฟเข้ามาช่วย นอกจากนี้แล้วการทำการทำทดลองเพื่อยืนยันผล (Confirmation Testing) ควรจะทำเช่นเดียวกันที่จะตรวจสอบความถูกต้องของข้อสรุปที่เกิดขึ้นอีกด้วย

2.5 การเลือกแบบทดลอง

2.5.1 การออกแบบการทดลองแบบปัจจัยเดียว (Single Factor Design)

การออกแบบการทดลองแบบปัจจัยเดียวจะต้องเก็บข้อมูลโดยระดับของปัจจัย เพื่อทดสอบว่าระดับของปัจจัยต่างๆ มีผลต่อค่าตอบสนองหรือไม่ โดยการออกแบบการทดลองแบบปัจจัยเดียว สามารถแบ่งออกเป็น 2 แบบใหญ่ๆ คือ

2.5.1.1 การออกแบบทดลองแบบสุ่มสมบูรณ์ (Complete Randomized Design: CRD)

เป็นแผนการทดสอบที่ง่ายที่สุด เมน้ำกับการทดลองที่ไม่สามารถแยกได้ว่าหน่วยทดลองที่นำมาใช้นั้นมีลักษณะแตกต่างกันอย่างไรก่อนการทดลอง การวิเคราะห์ความแปรปรวนสำหรับแผนการทดลองนี้จะแยกสาเหตุของความผันแปรของข้อมูลทั้งหมด เนื่องมาจากอิทธิพลของทรีทเม้นต์แต่เพียงอย่างเดียวไม่มีสาเหตุจากปัจจัยอื่น จึงเรียกว่า ข้อมูลแบบแยกทางเดียว (One-Way Classification)

ตั้งนั้นเพื่อให้แผนการทดลองนี้มีประสิทธิภาพสูงสุด หน่วยทดลองที่นำมาใช้จึงควรมีลักษณะที่สม่ำเสมอหรือคล้ายคลึงกันมากที่สุด (Homogenous) หรือมีความผันแปรระหว่างหน่วยทดลองที่น้อยที่สุด

หลักสำคัญของแผนการทดลองนี้คือ การจัดทรีทเม้นต์ให้กับหน่วยทดลองหรือจัดหน่วยทดลองให้แก่ทรีทเม้นต์จะต้องเป็นไปโดยสุ่ม ไม่มีข้อจำกัดเกี่ยวกับการสุ่ม

ข้อดีของการวางแผนแบบCRD

1. คำนวณง่ายไม่ слับซับซ้อน
2. วางแผนการทดลองง่าย
3. ความแม่นยำสูงกว่าวิธีการอื่นๆ เพราะว่าความแปรปรวนของความคลาดเคลื่อน (mean square error) มีขนาดใหญ่
4. จำนวนครั้งหรือชั้้า ที่เก็บข้อมูลของตัวแปร ค่าไม่จำเป็นต้องเท่ากัน

ข้อเสียของการวางแผนแบบสุ่มโดยสมบูรณ์

1. ต้องสามารถควบคุมปัจจัยอื่นๆ ได้ หรือกล่าวอีกนัยหนึ่ง ตัวอย่างที่ทำการศึกษา ต้องไม่อยู่ภายใต้อิทธิพลอื่นๆ (ปัจจัยภายนอก) ยกเว้นปัจจัยที่ทำการศึกษา หากไม่สามารถควบคุมปัจจัยภายนอกแล้วผลการวิเคราะห์จะมีความผิดพลาดมากกว่ารูปแบบการวิเคราะห์อื่น

2. ศึกษาได้เพียงปัจจัยเดียว เป็นแผนการทดลองที่มีลักษณะง่าย สะดวกในการปฏิบัติและวิเคราะห์ข้อมูล เหมาะสำหรับหน่วยทดลองที่มีความสม่ำเสมอมาก หน่วยทดลองนี้ โอกาสได้รับทรัพยากร์ติดทรัพยากร์ที่นี่เท่านั้น แผนการทดลองเช่นนี้นิยมใช้ทดลองในห้องปฏิบัติการหรือเรือนทดลอง

2.5.1.2 การออกแบบการทดลองแบบทดลองแบบบล็อกสุ่มสมบูรณ์ (Randomized Complete Block Design: RCB)

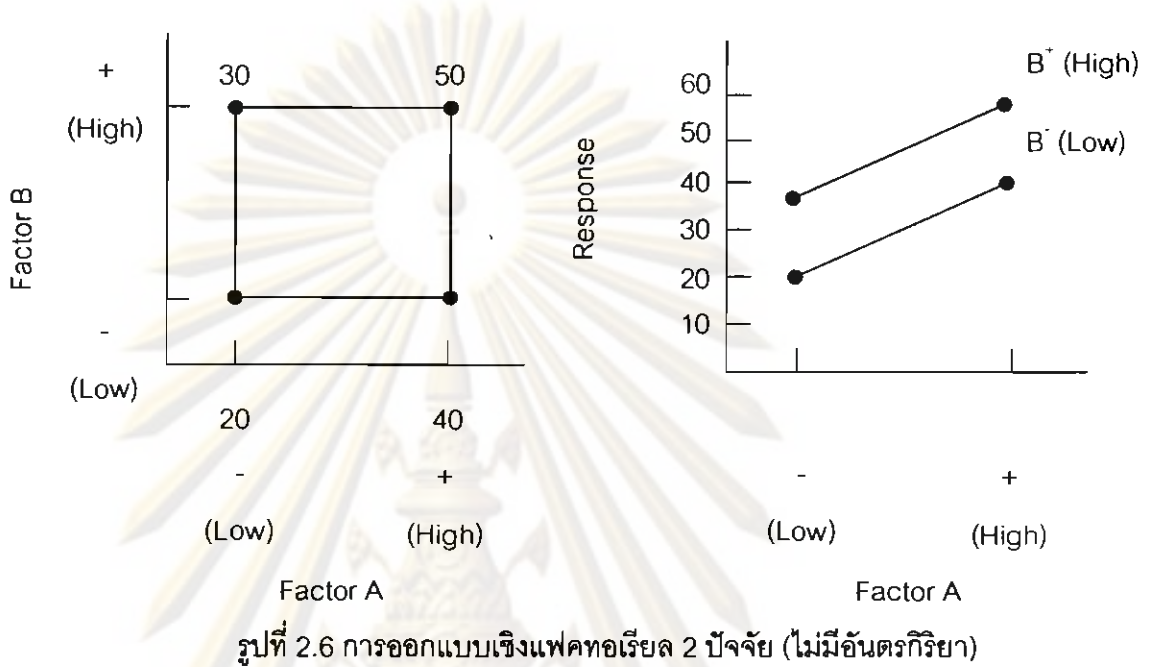
แผนการทดลองแบบสุ่มในบล็อกเป็นวิธีการหนึ่งในหลาย ๆ วิธีของการจำแนกแบบ 2 ทาง (Two-Way Classification) จะใช้เมื่อหน่วยทดลองมีความแตกต่างกัน 2 ลักษณะคือ ทางแนวนอน (Row) และแนวตั้ง (Column) มีหลักการคือ พยายามจัดหน่วยทดลองที่มีความคล้ายคลึงกันให้อยู่ในกลุ่มเดียวกัน ซึ่งเรียกว่า บล็อก ดังนั้นความแปรปรวนระหว่างหน่วยทดลองในบล็อกเดียวกันจะมีค่าต่ำ และให้ความแตกต่างระหว่างบล็อกมีค่าสูง ในแต่ละบล็อก กระทำโดยสุ่ม กรณีนี้จะให้เราแตกแยกความแตกต่างระหว่างบล็อกออกจากความของผลลัพธ์ของกำลังสองได้

2.5.2 การออกแบบการทดลองแบบแฟคทอร์เรียล (Factorial Design)

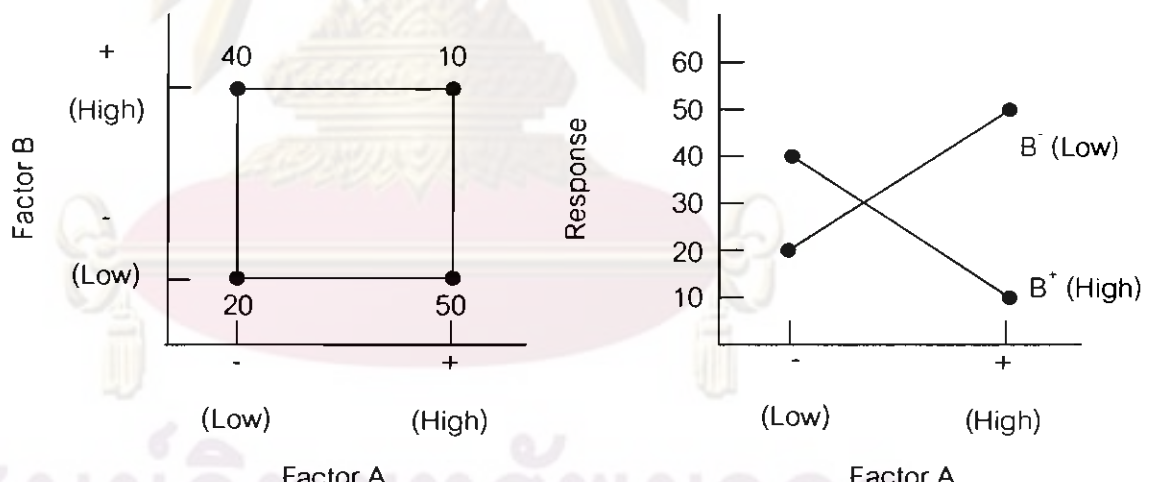
การออกแบบเชิงแฟคทอร์เรียล (Factorial Design) เป็นวิธีการทดลองที่มีประสิทธิภาพสูงสุด ในกรณีที่มีปัจจัย (Factor) ตั้งแต่ 2 ปัจจัยขึ้นไป โดยทุกๆ Treatment combination ของปัจจัยทุกด้านที่ศึกษา จะถูกพิจารณาไปพร้อมๆ กัน

ผลที่เกิดขึ้นจากปัจจัย หมายถึง การเปลี่ยนแปลงที่เกิดขึ้นกับผลตอบ ที่เกิดจาก การเปลี่ยนแปลงระดับของปัจจัยนั้นๆ ซึ่งเรียกว่า ผลหลัก (Main Effect) ในการทดลองที่มีผลแตกต่างของผลตอบที่เกิดขึ้นบนระดับต่างๆ ของปัจจัยหนึ่งมีค่าไม่เท่ากันที่ระดับอื่นๆ ทั้งหมดของปัจจัยอื่น ซึ่งหมายถึง ผลตอบของปัจจัยหนึ่งอยู่กับระดับของปัจจัยอื่นๆ นั้นเอง เรียกเหตุการณ์นี้ว่า การมีอันตรกิริยา (Interaction) ต่อ กันระหว่างปัจจัยที่เกี่ยวข้อง โดยค่าที่จุดต่างๆ คือตัวแปร

ตอบสนอง เมื่อมีปัจจัย 2 ตัวคือ A และ B โดยแต่ละปัจจัยมี 2 ระดับคือ – หรือ Low และ + หรือ High



รูปที่ 2.6 การออกแบบเชิงแพคทอเรียล 2 ปัจจัย (ไม่มีอันตรกิริยา)



รูปที่ 2.7 การออกแบบเชิงแพคทอเรียล 2 ปัจจัย (มีอันตรกิริยา)

ประโยชน์ของการทดลองแบบแพคทอเรียล คือมีจำนวนการทดลองน้อยกว่าการทดลองแบบอื่นและยังให้ผลที่เกี่ยวกับ Interaction Effect ซึ่งมีความสำคัญมาก และไม่สามารถหาค่าได้จากการทดลองแบบเปรียบเทียบอย่างง่ายและการทดลองที่ละปัจจัย ซึ่งหากมีการละเลยผลของ Interaction อาจทำให้ข้อสรุปผิดพลาด

แฟคทอร์เรียล รูปแบบของการออกแบบทดลองแบบแฟคทอร์เรียลที่สำคัญ ได้แก่

2.5.2.1 การออกแบบการทดลองเชิงแฟคทอร์เรียลแบบ 2^k (2^k Factorial Design)

การออกแบบเชิงแฟคทอร์เรียลที่มีความสำคัญที่สุดคือ กรณีที่มีปัจจัย k ปัจจัยซึ่งแต่ละปัจจัยประกอบด้วย 2 ระดับ ระดับเหล่านี้อาจจะเกิดจากข้อมูลเชิงปริมาณ เช่น อุณหภูมิ ความดัน เวลา หรืออาจจะเกิดจากข้อมูลเชิงคุณภาพก็ได้ เช่น เครื่องจักร หรือคนงาน และใน 2 ระดับจะแทนด้วยระดับ “สูง” หรือ “ต่ำ” ของปัจจัยนั้นๆ หรือการ “มี” หรือ “ไม่มี” ของปัจจัยนั้นๆ ก็ได้ เพริลิเคตที่บริบูรณ์สำหรับการออกแบบ ประกอบด้วยข้อมูลทั้งสิ้น $2 \times 2 \times 2 \times \dots \times 2 = 2^k$ ข้อมูล เรียกการออกแบบลักษณะนี้ว่า การออกแบบการทดลองเชิงแฟคทอร์เรียลแบบ 2^k โดยสมมติว่า

1. ปัจจัยทั้งหมดมีค่าตายตัว
2. การออกแบบเป็นแบบเชิงสุ่มบริบูรณ์ (Completely Randomized)
3. สมมติฐานเกี่ยวกับความเป็นปกติเป็นที่ยอมรับได้

2.5.2.2 การออกแบบเศษส่วนเชิงแฟคทอร์เรียลแบบสองระดับ (Two-Level Fractional Factorial Design)

เมื่อจำนวนปัจจัยในการออกแบบ 2^k เพิ่มมากขึ้น โดยมากแล้วจำนวนการทดลองสำหรับเพลลิเคตที่บริบูรณ์จะเพิ่มมากขึ้นเกินกว่าที่ทรัพยากรที่มีอยู่จะรองรับได้ ถ้าผู้ทดลองสามารถตั้งสมมติฐานอย่างมีเหตุผลได้ว่า อันตราริยาขั้นสูงบางตัวสามารถละเลยได้ ในกรณีเช่นนี้ข่าวสารเกี่ยวกับปัจจัยหลักและอันตราริยาขั้นต่ำอาจจะหาได้โดยการทดลองเพียงแค่เศษส่วนของการทดลองเชิงแฟคทอร์เรียลอย่างบริบูรณ์

การออกแบบเศษส่วนเชิงแฟคทอร์เรียล (Fractional Factorial Design) ถูกนำมาใช้กันมากในการกรองเพื่อหาปัจจัยที่มีผล กล่าวคือในการทดลองหนึ่งอาจจะมีปัจจัยมากมายที่กำลังอยู่ในความสนใจ สามารถใช้การออกแบบเศษส่วนเชิงแฟคทอร์เรียลเพื่อค้นหาว่า ปัจจัยใดบ้างเป็นปัจจัยที่มีผลอย่างมีนัยสำคัญ การทดลองเพื่ogrองปัจจัยนี้ส่วนมากจะใช้ในตอนเริ่มต้นโครงการ เนื่องจากโดยมากแล้วในขณะนั้นมีปัจจัยเป็นจำนวนมากที่มีแนวโน้มจะเป็นปัจจัยที่มีผลน้อยหรือไม่มีผลต่อผลตอบที่กำลังพิจารณาอยู่ หลังจากการทดลองเพื่ogrองปัจจัย

เสริมสืบแล้วปัจจัยที่มีผลจะถูกนำไปทำการทดลองอย่างละเอียดในการทดลองต่อๆไป ความสำเร็จของการออกแบบเชิงแฟคทอร์เรียงลинีอยู่กับแนวคิดที่สำคัญ 3 ประการคือ

1. หลักการที่ว่ามีปัจจัยจำนวนน้อยที่มีผล เมื่อมีตัวแปรหลายตัว การดำเนินการต่างๆ ของระบบหรือกระบวนการมีแนวโน้มที่จะถูกกำหนดโดยปัจจัยหลักและอันตรกิริยา ขั้นต่ำเพียงบางตัวเท่านั้น
2. คุณสมบัติการขยายการออกแบบ การออกแบบเชิงแฟคทอร์เรียงสามารถถูกขยายไปสู่การออกแบบที่ดีกว่าในเชดย์อยของปัจจัยที่มีผล
3. การทดลองต่อเนื่อง เป็นไปได้ที่จะรวมการทดลองเชิงแฟคทอร์เรียง 2^k การทดลองหรือมากกว่าเข้าด้วยกัน เพื่อที่จะทำการให้เกิดการทดลองอย่างต่อเนื่องที่มีการออกแบบที่ใหญ่กว่าและสามารถผลของปัจจัยหลักและอันตรกิริยาที่อยู่ในความสนใจได้ดียิ่งขึ้น

2.5.3 การออกแบบเชิงแฟคทอร์เรียง 3^k

เป็นการออกแบบเชิงแฟคทอร์เรียงที่แต่ละปัจจัยประกอบด้วย 3 ระดับ ใช้กับการทดลองที่มีหลักการปัจจัย ระดับของปัจจัย 3 ระดับ ใน k ปัจจัย คือ ระดับต่ำ ใช้สัญลักษณ์ -1 ระดับกลาง ใช้สัญลักษณ์ 0 และระดับสูง ใช้สัญลักษณ์ 1 การออกแบบเชิงแฟคทอร์เรียง 3^k เหมาะสมกับผู้ทดลองที่สนใจกับผลตอบสนองที่มีลักษณะเป็นส่วนโถง

2.5.4 การออกแบบการทดลองแบบอื่นๆ

- 1) การออกแบบการทดลองแบบเนสเด็ต (Nested Design)
- 2) การออกแบบการทดลองแบบสปลิตพล็อก (Split-Plot Design)
- 3) การออกแบบการทดลองแบบพื้นผิวผลตอบ (Response Surface Design)

2.6 พื้นผิวผลตอบ

วิธีการพื้นผิวผลตอบ (Response Surface Methodology, RSM) เป็นการรวมความເຂາເຖົນທາງຄົນດີຕະຫຼອດແລກວາງສົດທີ່ມີປະໂຍ້ຍັນດໍອກຮັດຮັບແຈ້ງແລກວາງວິເຄຣະໜີປັນນາ ໂດຍພົບທີ່ສູນໃຈຈຶ່ງອູ້ກັບນລາຍຕົວແປ່ງ ແລະມີວັດຖຸປະສົງຄືທີ່ຈະນາຄ່າທີ່ດີທີ່ສຸດຂອງຜົດອບນັ້ນ

ສມກາຮ

$$y = f(x_1, x_2) + \varepsilon$$

ε ຄືອ່າຄວາມຝຶດພລາດຂອງຜົດອບ y ທີ່ເປັນຜົນຈາກກາຮາທດລອງ

ດ້າເງາກໍານົດວ່າ $E(y) = f(x_1, x_2) = \theta$ ດັ່ງນັ້ນ ເຮັດວຽກເຊີຍສມກາຮ່າງພື້ນຜົວຄືອ

$$\theta = f(x_1, x_2)$$

ເຮົາຈະເຮັດວ່າ "ສມກາຮື້ນຜົວຜົດອບ (Response Surface)"

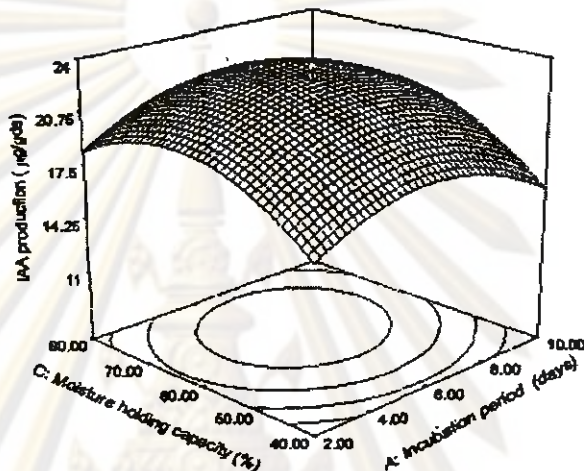
ພື້ນຜົວຜົດອບໃນຮູບແບບຂອງກາຮົມໄຟ ໂດຍທີ່ θ ຈະດູກພລືອດກັບຮະດັບຂອງ x_1 ແລະ x_2 ເພື່ອທີ່ຈະຊ່າຍໃໝ່ອງຮູບປ່າງຂອງພື້ນຜົວຜົດອບໄດ້ດີຍິ່ງເຂົ້າ ສິ່ງປົກຕິຈະພລືອດເສັ້ນໂຄຮ່ວງ (Contour Plot) ຂອງພື້ນຜົວຜົດອບດັ່ງແສດງຮູບທີ່ 2.8 ໃນກາຮົມເສັ້ນໂຄຮ່ວງນີ້ ເສັ້ນທີ່ມີຄ່າຂອງຜົດອບຄົງທີ່ຈະຄຸກວາດອູ້ບ່ນຮະນານ x_1 ແລະ x_2 ເສັ້ນໂຄຮ່ວງແຕ່ລະເສັ້ນຈະມີຄວາມສູງຂອງພື້ນຜົວຜົດອບທີ່ເທົ່າກັນຄ່ານີ້

ໃນປູ້ນາເກີຍກັບພື້ນຜົວຜົດອບໃຫຍ່ຈະໄມ່ທຽບຄວາມສັນພັນຮົງຮວ່າງຜົດອບແລກວາງແປຣອີສະ ດັ່ງນັ້ນຂັ້ນຕອນແຮກຄືອ ຕ້ອງຫາຕົວປະມານທີ່ເໝາະສົມທີ່ຈະໃຊ້ເປັນຕົວແທນສໍານວັບແສດງຄວາມສັນພັນຮົງທີ່ແກ້ຈິງຮວ່າງ y ແລະເຫັນຂອງຕົວແປຣອີສະ ສິ່ງປົກຕິຈະໃຊ້ພັກໜັນພຸນ້ານາທີ່ມີກຳລັງຕໍ່າງໆ ທີ່ອູ້ງໝາຍໄດ້ອານາເຂົາບາງສ່ວນຂອງຕົວແປຣອີສະ ດ້າເບບຈຳລອງຂອງຜົດອບມີຄວາມສັນພັນຮົງເປັນແບບເຫັນເສັ້ນກັບຕົວແປຣອີສະ ພັກໜັນທີ່ຈະໃຊ້ໃນກາຮົມຄວາມສັນພັນຮົງນີ້ຄືບແບບຈຳລອງກຳລັງນີ້

$$y = \beta_0 + \beta_1 x_1 + \beta_2 x_2 + \cdots + \beta_k x_k + \varepsilon$$

แต่ถ้ามีส่วนใด้เข้ามาเกี่ยวข้องในระบบ เราจะใช้พัฒนาพหุนามที่มีกำลังสูงขึ้น เช่น พหุนามกำลังสอง

$$y = \beta_0 + \sum_{i=1}^k \beta_i x_i + \sum_{i=1}^k \beta_{ii} x_i^2 + \sum_{i < j} \sum \beta_{ij} x_i x_j + \varepsilon$$



รูปที่ 2.8 พื้นผิวผลตอบแทนสามมิติ

ปัญหาเกี่ยวกับพื้นผิวผลตอบสนองมากจะใช้แบบจำลองหนึ่งในสองแบบนี้ แต่แบบจำลองพหุนามที่กล่าวมานี้ไม่สามารถใช้ประมาณความสัมพันธ์ตลอดพื้นผิวทั้งหมดของตัวแปรอิสระได้ แต่ถ้าพื้นผิวที่เราสนใจอยู่นั้นมีขนาดค่อนข้างเล็ก แบบจำลองเหล่านี้สามารถใช้ได้ดีพอสมควร

วิธีการกำลังสองน้อยสุด (Least Square Method) เป็นวิธีการที่ใช้มากในการประมาณค่าสัมประสิทธิ์การตอบด้วยสำหรับแบบจำลองการตอบด้วยแบบเชิงเส้นพหุคูณ ซึ่งถูกนำมาใช้ในการประมาณค่าพารามิเตอร์ต่างๆ ของแบบจำลองพหุนาม การวิเคราะห์พื้นผิวผลตอบจะเกิดขึ้นกับพื้นผิวที่สร้างขึ้น ถ้าพื้นผิวที่สร้างขึ้นสามารถใช้ประมาณพัฒนาผลตอบได้อย่างดีพอตั้งนั้นการวิเคราะห์พื้นผิวที่ถูกสร้างขึ้นมาจะสามารถประมาณค่าได้เหมือนการวิเคราะห์ระบบจริงซึ่งการออกแบบการสร้างพื้นผิวผลตอบเรียกว่า การออกแบบพื้นผิวผลตอบ (Response Surface Design)

การวิเคราะห์พื้นผิวเป็นวิธีการแบบมีลำดับขั้นตอน วัดถูประسنค์ของการวิเคราะห์พื้นผิวคือการนำการทำลองไปตามแนวทางที่มีการปรับปรุงมากที่สุดและอย่างมีประสิทธิภาพ สูงสุดเพื่อที่จะให้ใกล้จุดที่ดีที่สุดได้อย่างรวดเร็ว และเมื่อพบสถานะเขตของค่าที่ดีที่สุดแล้ว เราจะนำเอาแบบจำลองที่ขึ้นชื่อนี้มาใช้ในการวิเคราะห์การทำลอง เพื่อให้ได้จุดที่ดีที่สุด จุดประسنค์สุดท้ายของ การวิเคราะห์พื้นผิวผลตอบคือ การหาเงื่อนไขในการทำงานที่ดีที่สุดสำหรับระบบ หรือ เพื่อที่จะหาสถานะของปัจจัยที่ก่อให้เกิดการทำงานอย่างน่าพอใจ

2.6.1 การวิเคราะห์พื้นผิวผลตอบกำลังสอง

เมื่อทำการทดลองอยู่ที่จุดใกล้เคียงกับจุดที่ดีที่สุด แบบจำลองที่สามารถแสดง ส่วนโค้งได้นำมาใช้ในการประมาณค่าของผลตอบ สำนักงานแบบจำลองกำลังสองจะมีรูปแบบดังนี้

$$y = \beta_0 + \sum_{i=1}^k \beta_i x_i + \sum_{i=1}^k \beta_{ii} x_i^2 + \sum_{i < j} \sum \beta_{ij} x_i x_j + \varepsilon$$

2.6.2 ตัวแหน่งของจุดหยุดนิ่ง

สมมติว่าต้องการหาระดับของ x_1, x_2, \dots, x_k ที่จะทำให้ผลตอบมีค่าดีที่สุด ซึ่ง จุดนี้ถ้ามีอยู่จริงจะหมายถึงจุดของ x_1, x_2, \dots, x_k ที่มีค่าของอนุพันธ์แบบบางส่วน (Partial Derivative)

$$\partial \hat{y} / \partial X_1 = \partial \hat{y} / \partial X_2 = \dots = \partial \hat{y} / \partial X_k = 0$$

และจะเรียกจุดเหล่านี้ว่า $x_{1,S}, x_{2,S}, \dots, x_{k,S}$ ว่าจุดหยุดนิ่ง (Stationary Point) จุดหยุดนิ่งนี้สามารถใช้ในการแทน

(1) จุดที่มีค่าตอบสูงสุด

(2) จุดที่มีค่าตอบต่ำสุด

(3) จุด鞍点 (Saddle Point)

กราฟโครงร่าง (Contour Plot) มีความสำคัญมากในการวิเคราะห์พื้นผิวผลตอบ การใช้ซอฟต์แวร์สำหรับสร้างกราฟโครงร่างของพื้นผิวผลตอบขึ้นมาจะทำให้ทราบถึงรูปร่างของ พื้นผิวและตัวแหน่งของจุดที่ดีที่สุดได้ค่อนข้างแม่นยำ ซึ่งเราอาจหาคำตอบทั่วไปทางคณิตศาสตร์

สำหรับหาตำแหน่งของจุดหยุดนิ่ง (Stationary Point) ได้โดยการเขียนแบบจำลองกำลังสองในรูป เมทริกซ์ได้คือ

$$\hat{y} = \hat{\beta}_0 + \mathbf{x}'\mathbf{b} + \mathbf{x}'\mathbf{B}\mathbf{x}$$

โดยที่

$$\mathbf{x} = \begin{bmatrix} x_1 \\ x_2 \\ \vdots \\ x_k \end{bmatrix} \quad \mathbf{b} = \begin{bmatrix} \hat{\beta}_1 \\ \hat{\beta}_2 \\ \vdots \\ \hat{\beta}_k \end{bmatrix} \text{ และ } \mathbf{B} = \begin{bmatrix} \hat{\beta}_{11} & \hat{\beta}_{12}/2, \dots, \hat{\beta}_{1k}/2 \\ \hat{\beta}_{21} & \hat{\beta}_{22}/2, \dots, \hat{\beta}_{2k}/2 \\ \vdots & \ddots \\ sym. & \hat{\beta}_{kk} \end{bmatrix}$$

ซึ่ง \mathbf{b} คือเวกเตอร์ขนาด ($k \times 1$) ของสัมประสิทธิ์การถดถอยกำลังหนึ่ง และ \mathbf{B} คือเมทริกซ์แบบสมมาตรขนาด ($k \times k$) ซึ่งมีส่วนประกอบในแนวเส้นทแยงมุมหลักเป็น สัมประสิทธิ์ของกำลังสองบริสุทธิ์ ($\hat{\beta}_{ii}$) และ ส่วนประกอบที่ไม่ได้อยู่ในแนวเส้นทแยงมุมเป็น ครึ่งหนึ่งของสัมประสิทธิ์กำลังสองผสม ($\hat{\beta}_{jj}, i \neq j$) ค่าอนุพันธ์ของ \hat{y} เทียบกับส่วนประกอบ ของเวกเตอร์ \mathbf{x} มีค่าเท่ากับ 0 คือ

$$\frac{\partial \hat{y}}{\partial \mathbf{x}} = \mathbf{b} + 2\mathbf{B}\mathbf{x}$$

จุดหยุดนิ่งคือค่าตอบของสมการ

$$\mathbf{x}_s = -\frac{1}{2} \mathbf{B}^{-1} \mathbf{b}$$

เมื่อแทนค่าในสมการ จะพบว่าค่าผลตอบที่คาดหมายที่จุดหยุดนิ่ง

$$\hat{y}_s = \hat{\beta}_0 + \frac{1}{2} \mathbf{x}_s' \mathbf{b}$$

2.6.3 การออกแบบการทดลองสำหรับพิสูจน์ผิวผลตอบ

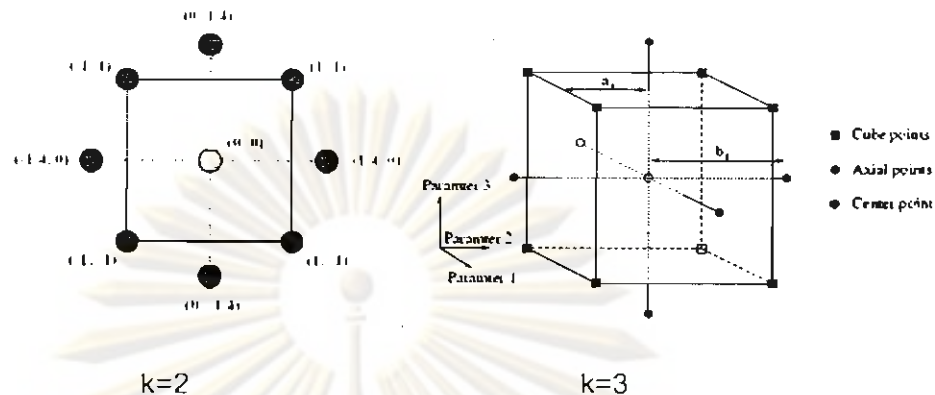
การพิสูจน์และวิเคราะห์พื้นผิวผลตอบจะทำได้ง่ายขึ้น ถ้าเราเลือกการออกแบบการทดลองที่เหมาะสม ลักษณะของการออกแบบที่ต้องการบางประการที่ควรพิจารณาคือ

1. ทำให้เกิดการแยกแยะหรือการกระจายที่เหมาะสมของจุดของข้อมูลตลอดบริเวณที่อยู่ในความสนใจ
2. ทำให้สามารถตรวจสอบความพอดีของแบบจำลอง และ Lack of Fit ได้
3. ทำให้การทดลองสามารถเกิดขึ้นได้ในบล็อก
4. ทำให้การออกแบบที่มีอันดับ (Order) สูงขึ้นสามารถสร้างขึ้นได้ตามลำดับ
5. ให้ค่าประมาณภายในของความผิดพลาด
6. ไม่ต้องรันการทดลองเป็นจำนวนมากมาก
7. ไม่ต้องมีหลักประกันด้วยตัวแบบอิสระ
8. คำนวนพารามิเตอร์ในแบบจำลองได้ง่าย

ลักษณะสมบูรณ์ที่ต้องการเหล่านี้ในบางครั้งอาจจะขัดแย้งกันได้ ดังนั้นจะต้องมีการไตร่ตรองอย่างดีก่อนที่จะเลือกการออกแบบที่จะนำมาใช้งาน

2.6.4 การออกแบบสำหรับพิสูจน์แบบจำลองอันดับที่สอง

โดยทั่วไป CCD จะประกอบด้วย 2^k แฟลชทรีเยลที่มี ก. รัน, 2^k รันในแนวแกนหรือในแนวราบ (Star) และ ก. รันที่จุดศูนย์กลาง การพัฒนาของ CCD ในทางปฏิบัติส่วนมากจะเกิดขึ้นจากการทดลองแบบเป็นอันดับ นั่นคือ การออกแบบ 2^k ถูกนำมาใช้เพื่อพิสูจน์แบบจำลอง อันดับที่หนึ่ง แล้วพบว่าแบบจำลองนี้ไม่เหมาะสมที่จะใช้ข้อมูลนี้ ดังนั้นจึงได้มีการรันการทดลองเพิ่มในแนวแกนเพื่อทำให้สามารถใส่พจน์ คводราติก ลงในแบบจำลองได้ CCD เป็นการออกแบบที่มีประสิทธิภาพมากในการพิสูจน์แบบจำลองอันดับที่สอง มีพารามิเตอร์อยู่ 2 ตัวในการออกแบบที่จะต้องถูกกำหนด นั่นคือ ระยะทาง A ของการรันในแนวแกนจากจุดศูนย์กลางของการออกแบบและจำนวนของจุดศูนย์กลาง ก.



รูปที่ 2.9 การออกแบบส่วนประสานกล่างสำหรับ $k=2$ และ $k=3$

ตารางที่ 2.1 ค่าของ code level ใน Central composite design (2ปีจัย) $\alpha=1.414$

ลำดับ (Run no.)	Code level	
	ปีจัย x_1	ปีจัย x_2
1	+1	+1
2	+1	-1
3	-1	+1
4	-1	+1
5	$+\alpha=+1.414$	0
6	0	$+\alpha=+1.414$
7	$-\alpha=-1.414$	0
8	0	$-\alpha=-1.414$
9	0	0
10	0	0
11	0	0
12	0	0
13	0	0

ตารางที่ 2.2 ค่าของ code level ใน Central composite design (3 ปัจจัย) $\alpha=1.682$

สิ่งทดลอง (Run no.)	Code level		
	ปัจจัย x_1	ปัจจัย x_2	ปัจจัย x_3
1	-1	-1	-1
2	-1	-1	1
3	-1	1	-1
4	-1	1	1
5	1	-1	-1
6	1	-1	1
7	1	1	-1
8	1	1	1
9	$-\alpha = -1.682$	0	0
10	$+\alpha = +1.682$	0	0
11	0	$-\alpha = -1.682$	0
12	0	$+\alpha = +1.682$	0
13	0	0	$-\alpha = -1.682$
14	0	0	$+\alpha = +1.682$
15	0	0	0
16	0	0	0
17	0	0	0
18	0	0	0
19	0	0	0
20	0	0	0

จุฬาลงกรณ์มหาวิทยาลัย

2.6.5 ความสามารถในการหมุน

เป็นความสำคัญอย่างหนึ่งของแบบจำลองอันดับที่สอง ที่จะต้องมีความสามารถในการพยากรณ์ได้ตลอดบริเวณที่สนใจ วิธีการนึงที่จะบอกว่า แบบจำลองนี้ดีก็คือแบบจำลองนี้จะต้องอยู่กับร่องกับรอยอย่างมีเหตุผล และมีความแปรปรวนที่มีเสถียรภาพของผลตอบแทนที่จุด x ซึ่งอยู่ในความสนใจ ความแปรปรวนของผลตอบที่ถูกพยากรณ์ที่บังคับ \times คือ

$$V[\hat{y}(x)] = \sigma^2 x'(X'X)x$$

ซึ่งถูกแนะนำว่า การออกแบบพื้นผิวผลตอบอันดับที่สองควรจะมีความสามารถในการหมุน (Rotatable) ซึ่งหมายความว่า $V[\hat{y}(x)]$ คือจุด x ทุกจุดที่มีระยะห่างจากจุดศูนย์กลางของการออกแบบเท่ากัน นั่นคือค่าความแปรปรวนของผลตอบที่ถูกพยากรณ์จะมีค่าคงตัวบนรูปทรงกลม

การออกแบบที่มีคุณสมบัติเช่นนี้จะทำให้ค่าความแปรปรวนของ \hat{y} ไม่เปลี่ยนแปลง เมื่อการออกแบบรอบหมุนรอบจุดศูนย์กลาง $(0, 0, \dots, 0)$ ดังนั้นทำให้เรารายกการออกแบบนี้ว่า การออกแบบที่สามารถหมุนได้ (Rotatable Design)

ความสามารถในการหมุนเป็นพื้นฐานเบื้องต้นสำหรับการเลือกการออกแบบพื้นผิวผลตอบ เพราะว่าวัตถุประสงค์ของ RSM คือการหาค่าที่ดีสุด และเราไม่ถือว่าตำแหน่งใดเป็นตำแหน่งที่ดีที่สุดก่อนที่จะทำการทดลอง ดังนั้นจะมีเหตุผลที่ดีกว่าที่จะใช้การออกแบบที่ทำให้เกิดตัวประมาณที่มีความเที่ยงตรงเท่ากันในทุกทิศทาง

การออกแบบส่วนประสมกลาง สามารถทำให้หมุนได้โดยการเลือกค่าของ A ค่าของ A สำหรับความสามารถหมุนได้จะขึ้นอยู่กับจำนวนของจุดในส่วนของแฟกทอร์เรียลของการออกแบบ ความจริงแล้ว $A = (n_f)^{1/4}$ จะทำให้เกิดการออกแบบส่วนประสมกลาง ที่สามารถหมุนได้ โดยที่ n_f คือจำนวนของจุดที่ถูกให้ในส่วนแฟกทอร์เรียลของการออกแบบ

2.6.6 CCD รูปทรงกลม

ความสามารถในการหมุนเป็นคุณสมบัติอย่างหนึ่งของรูปทรงกลม (Sphere) นั้นคือ จะเป็นการตีมากถ้าจะใช้เกณฑ์ในการออกแบบเช่นนี้เมื่อบริเวณที่เรากำลังสนใจอยู่มีรูปทรงกลม อย่างไรก็ตามการออกแบบที่ดีไม่จำเป็นว่าจะต้องทำให้เกิดความสามารถในการหมุนได้อย่างถูกต้องร้อยเปอร์เซ็นต์ ในความเป็นจริงแล้ว สำหรับบริเวณของทรงกลมที่เรากำลังสนใจนั้นทางเลือกที่ดีที่สุดสำหรับ A หาได้จากการพยากรณ์ความแปรปรวนสำหรับ CCD ซึ่งกำหนดให้ $A = \sqrt{k}$ การออกแบบเช่นนี้เรียกว่า CCD รูปทรงกลม (Spherical CCD) ซึ่งจะกำหนดให้ทุกจุดที่อยู่ในการออกแบบแข็งแกร่งและสามารถออกแบบในแนวแกน ให้อยู่บนพื้นผิวของรูปทรงกลมซึ่งมีรัศมี \sqrt{k}

2.6.7 จุดศูนย์กลางของการรันใน CCD

การเลือก A ใน CCD จะถูกกำหนดโดยบริเวณที่เราสนใจ เมื่อบริเวณนี้เป็นรูปทรงกลม การออกแบบจะต้องรวมเอาจุดศูนย์กลางของการรันเข้าไว้ด้วย ทั้งนี้เพื่อว่าจะทำให้ค่าความแปรปรวนของผลตอบที่พยากรณ์ได้มีเสถียรภาพอย่างที่เป็นที่ยอมรับได้ ตามปกติแล้ว ขอแนะนำให้ใช้ 3-5 รัน

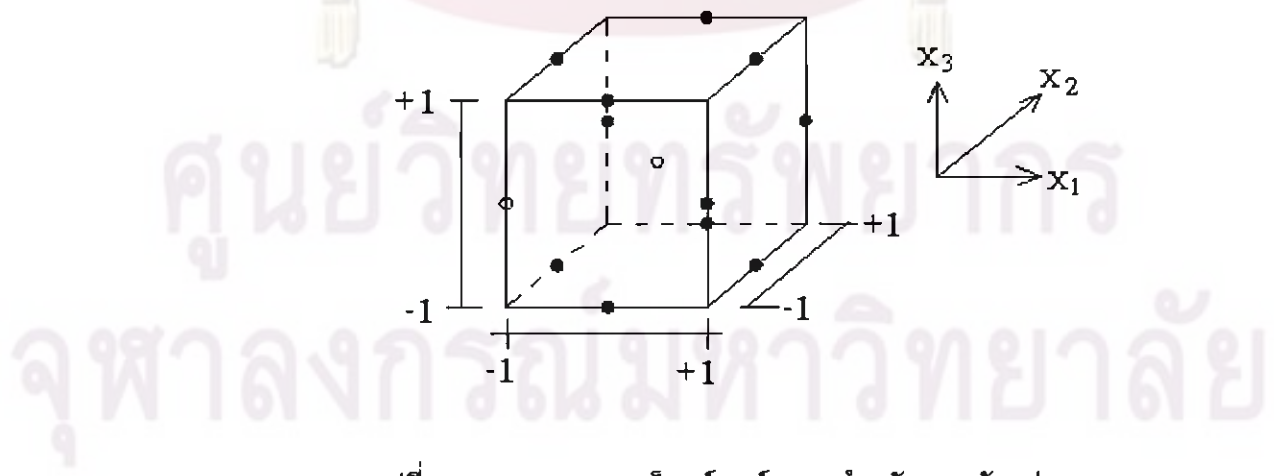
2.6.8 การออกแบบบีอ็อกซ์-เบน์เคน

การออกแบบบีอ็อกซ์-เบน์เคน (Box-Behnken Design) เป็นการออกแบบสามระดับสำหรับพื้นผิวผลตอบ การออกแบบนี้ถูกสร้างขึ้นจากการรวมการออกแบบแฟกทอร์เรียล 2^k กับการออกแบบบล็อกไม่บริบูรณ์ ผลของการออกแบบมีประสิทธิภาพมากในด้านจำนวนการรันที่ต้องการ และการออกแบบนี้ยังมีความสามารถในการหมุนหรือเก็บหมุนได้อีกด้วย

**ศูนย์วิทยทรัพยากร
จุฬาลงกรณ์มหาวิทยาลัย**

ตารางที่ 2.3 การออกแบบบีอคซ์-เบน์เนคแบบสามตัวแปร

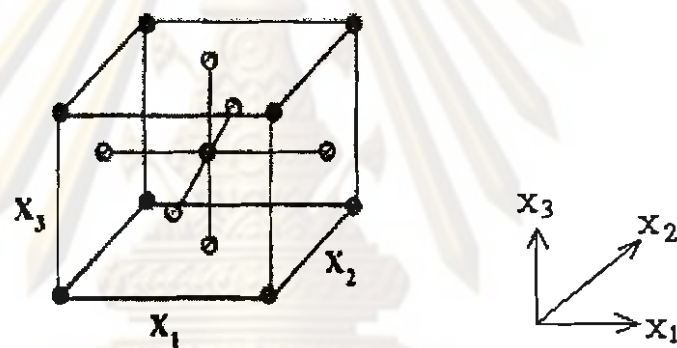
Run	x_1	x_2	x_3
1	-1	-1	0
2	-1	1	0
3	1	-1	0
4	1	1	0
5	-1	0	-1
6	-1	0	1
7	1	0	-1
8	1	0	1
9	0	-1	-1
10	0	-1	1
11	0	1	-1
12	0	1	1
13	0	0	0
14	0	0	0
15	0	0	0



รูปที่ 2.10 การออกแบบบีอคซ์-เบน์เนค สำหรับสามตัวแปร

2.6.9 บริเวณที่สนใจแบบคิวบอยด์

มีเหตุการณ์มากน้อยที่บริเวณที่อยู่ในความสนใจเป็นแบบคิวบอยด์ (Cuboidal) แทนที่จะเป็นรูปทรงกลม ในกรณีเช่นนี้ การออกแบบนี้เรียกว่า Face-Centered Central Composite หรือ Face-Center Cube ที่มี $\alpha = 1$ ซึ่งมีพัฒนาการมาจากการส่วนประสมกลาง จะเป็นการออกแบบที่มีประโยชน์อย่างมาก การออกแบบนี้วางจุดดาว (Star) หรือจุดในแนวแกน (Axial) อยู่บนจุดศูนย์กลางของหน้าของรูปทรงลูกบาศก์ ดังแสดงในรูปที่ 2.11 สำหรับ $k=3$ การออกแบบนี้ได้ถูกนำมาใช้เนื่องจากการออกแบบนี้ต้องการเพียง 3 ระดับของแต่ละปัจจัยเท่านั้น และการเปลี่ยนระดับของปัจจัยทำได้ยากในทางปฏิบัติตัวอย่างไรก็ตามจะต้องจำไว้ว่า การออกแบบนี้ไม่สามารถอนุนันต์ได้



รูปที่ 2.11 การออกแบบ Face-Centered ส่วนประสมกลาง สำหรับ $k=3$

การออกแบบ Face-Centered Cube ไม่ต้องการใช้จุดศูนย์กลางเป็นจำนวนมาก เหมือนกับ CCD รูปทรงกลม ในทางปฏิบัติ $k_c=2$ จะพอเพียงที่จะทำให้ความแปรปรวนของการพยายามอยู่ในระดับที่ติดลบด้วยบริเวณของการออกแบบ ให้จำไว้ว่า บางครั้งการที่เราต้องรับที่จัดศูนย์กลางเป็นจำนวนมากขึ้น เนื่องจากต้องการให้ค่าประมาณของความผิดพลาดของกราฟลดลง เป็นที่ยอมรับได้

2.6.10 การบล็อกในการออกแบบพื้นผิวผลตอบ

เมื่อใช้การออกแบบพื้นผิวผลตอบ ป้อยครั้งที่มีความจำเป็นที่เราจะต้องพิจารณา ถึงการบล็อกเพื่อกำจัดตัวแปรร่วมกัน ซึ่งเราเรียกการออกแบบพื้นผิวผลตอบว่า เสิงตั้งฉากแบบบล็อก (Block Orthogonal)

สำหรับการออกแบบอันดับที่สองที่จะมีคุณสมบัติเป็นแบบเชิงตั้งจากแบบล็อก จะต้องประกอบด้วยเงื่อนไข 2 ข้อ ถ้ามีค่าสังเกต g_u ค่าในบล็อกที่ b เงื่อนไขทั้งสองคือ

1. ในแต่ละบล็อกจะต้องมีการออกแบบอันดับที่หนึ่งเชิงตั้งจากนั้นคือ

$$\sum_{u=1}^{n_b} x_{iu} x_{ju} = 0 \quad i \neq j = 0, 1, \dots, k \text{ for all}$$

โดยที่ x_{iu} และ x_{ju} เป็นระดับของตัวแปรที่ i และ j ในรันที่ b ของการทดลองที่มี $x_{0u} = 1$ สำหรับทุก b

2. เพชส่วนของผลรวมทั้งหมดของกำลังสองสำหรับแต่ละตัวแปรที่เกิดมาจากการทดลองที่มีบล็อกจะต้องเท่ากับเศษส่วนของค่าสังเกตทั้งหมดที่เกิดขึ้นในบล็อกนั้นคือ

$$\frac{\sum_{u=1}^{n_b} x_{iu}^2}{\sum_{u=1}^N x_{iu}^2} = \frac{n_b}{N} \quad i = 0, 1, \dots, k \text{ for all}$$

โดยที่ N คือจำนวนของการรันในการออกแบบ

ตามปกติการออกแบบส่วนประสมกลาง จะถูกสร้างให้บล็อกแบบเชิงตั้งจากใน 2 บล็อกได้เสนอ โดยบล็อกแรกประกอบด้วย g_u จุดแฟกเซียล รวมกับ g_{ca} จุดศูนย์กลาง และบล็อกที่สองประกอบด้วย $g_u = 2k$ จุดในแนวแกนรวมกับ g_{ca} จุดศูนย์กลาง เงื่อนไขแรกสำหรับบล็อกแบบเชิงตั้งจากจะต้องถูกคงไว้ ไม่ว่า α ที่ใช้ในการทดลองจะเป็นเท่าใดก็ตาม เพื่อคงไว้ซึ่งเงื่อนไขที่สอง

$$\frac{\sum_{u=1}^{n_b} x_{iu}^2}{\sum_{u=1}^N x_{iu}^2} = \frac{n_a + n_{ca}}{n_f + n_{cf}}$$

ด้านข้างมือของสมการ คือ $2 \alpha^2 / n_f$ และหลังจากแทนค่านี้ลงในสมการ เราจะสามารถแก้สมการเพื่อนหาค่า α ที่จะทำให้เราได้การบล็อกแบบเชิงตั้งจากได้คือ

$$\alpha = \left[\frac{n_f(n_a + n_{ca})}{2(n_f + n_{cf})} \right]^2$$

ค่าของ α นี้ไม่ได้ทำให้เกิดการออกแบบที่สามารถหมุนได้ หรือการออกแบบรูปทรงกลม แต่ถ้าต้องการให้การออกแบบนี้สามารถหมุนได้ ดังนั้น $\alpha = (n_f)^{1/4}$ และ

$$(n_f)^{1/2} = \frac{n_f(n_a + n_{ca})}{2(n_f + n_{cf})}$$

ยกมากรากที่จะหาการออกแบบที่เป็นไปตามสมการตรงๆ

ดังนั้น การออกแบบจะเกือบถูกบล็อกอย่างเชิงตั้งจาก ในทางปฏิบัติ เราอาจผ่อนปรนเงื่อนไขบางประการของการหมุนได้หรือการบล็อกแบบเชิงตั้งจากโดยไม่ทำให้ข้อมูลสำคัญสูญเสียแต่ประการใด

การออกแบบ Central composite เป็นการออกแบบที่มีความยืดหยุ่นมากในด้านความสามารถในการทำให้เกิดบล็อก ถ้า k มีค่าในญี่ปุ่น ส่วนของแฟกทอร์เรียลของการออกแบบจะสามารถถูกแบ่งออกเป็น 2 บล็อกหรือมากกว่าได้ (จำนวนของบล็อกแฟกทอร์เรียลจะต้องมีค่าเป็นกำลังสองโดยที่ส่วนในแนวแกนจะทำให้เกิดบล็อกขึ้นหนึ่งบล็อก) ตารางที่ 2.4 แสดงการจัดการบล็อกที่น่าสนใจสำหรับการออกแบบส่วนประสมกลาง

ตารางที่ 2.4 การออกแบบส่วนประสมกลาง ที่สามารถหมุนได้หรือเกือบหมุนได้ที่มีบล็อกแบบเชิงตั้งจาก

k	2	3	4	5
Factorial Block(s)				
n_f	4	8	16	32
Number of blocks	1	2	2	4
Number of points in each block	4	4	8	8
Number of center points in each block	3	2	2	2
Total number of point in each block	7	6	10	10
Axial Block				
n_a	4	6	8	10
n_{ca}	3	2	2	4

ตารางที่ 2.4 การออกแบบส่วนประสมกล่าง ที่สามารถหมุนได้หรือเก็บหมุนได้ที่มีบล็อกแบบเรียงตั้งฉาก (ต่อ)

k	2	3	4	5
Total number of points in the axial block	7	8	10	14
Total number of points N in the design	14	20	30	54
Values of A				
Orthogonal blocking	1.4142	1.6330	2.0000	2.3664
Rotatability	1.4142	1.6818	2.0000	2.3784

มีสองประเด็นที่สำคัญเกี่ยวกับการวิเคราะห์ความแปรปรวนเมื่อการออกแบบพื้นผิวผลตอบถูกรันในบล็อก

ประเด็นที่หนึ่งเกี่ยวกับการใช้จุดศูนย์กลางเพื่อคำนวณตัวประมาณค่าของความผิดพลาดบริสุทธิ์เฉพาะจุดศูนย์กลางที่ถูกรันในบล็อกเดียวกันเท่านั้นที่สามารถถูกนำมาพิจารณาว่าเป็นผลลัพธ์ของค่าผิดพลาดบริสุทธิ์จะถูกคำนวณได้ภายใต้เงื่อนไขเดียวกันเท่านั้น ถ้าความแปรปรวนมีความอยู่ร่องกับระยะห่างบล็อกแล้ว ตัวประมาณค่าผิดพลาดบริสุทธิ์เหล่านี้จะสามารถถูกนำมาร่วมกัน (Pooled) รูปได้

ประเด็นที่สอง ก็คือว่าผลของการออกแบบมีการบล็อกอย่างไรตั้งฉากใน m บล็อกแล้ว ผลรวมกำลังสองสำหรับบล็อกจะมีค่าเท่ากับ

$$SS_{Blocks} = \sum_{b=1}^m \frac{B_b^2}{n_b} - \frac{G^b}{N}$$

โดย B_b คือ ผลรวมทั้งหมดของ g_b ค่าสังเกตในบล็อกที่ b และ G คือค่าผลรวมทั้งหมดของ N ค่าสังเกต m บล็อกทั้งหมด เมื่อบล็อกไม่ได้เป็นแบบเรียงตั้งฉากตรงๆแล้ว เราสามารถนำเอาการทดสอบความมั่นยำสำคัญของการทดสอบแบบทั่วไปมาใช้ได้

2.7 การวิเคราะห์ผล

2.7.1 การวิเคราะห์ความแปรปรวน (Analysis of Variance, ANOVA)

เทคนิคในการจัดสรรความแปรปรวนที่เกิดขึ้นในกลุ่มของข้อมูลออกเป็นส่วนย่อยๆ ตามแหล่งที่ทำให้เกิดความแปรปรวน สมการเบื้องต้นของการวิเคราะห์ความแปรปรวน คือ

$$\text{ความแปรผันทั้งหมด} = \text{ความแปรผันจากปัจจัย} + \text{ความแปรผันโดยธรรมชาติของข้อมูล}$$

สมการดังกล่าว ได้จากการคิดที่ว่าความแตกต่างกันของข้อมูลอาจมีมาจากการเหตุของความแปรผันโดยธรรมชาติของข้อมูล (หรือความผิดพลาดแบบสุ่ม) เพียงอย่างเดียว หรืออาจจะมาจากการที่ปัจจัยหนึ่งปัจจัยใดหรือหลาย ๆ ปัจจัยทำให้เกิดความแปรผัน ทำให้สามารถสร้างสมการได้ 4 ลักษณะ

(1) ถ้าความแปรผันในข้อมูลนั้น เกิดขึ้นโดยธรรมชาติ จะได้สมการ

$$Y_i = \mu + \varepsilon_i$$

ค่า Y_i จะแตกต่างจากค่าเฉลี่ยของประชากร μ ด้วยค่าความผิดพลาดแบบสุ่ม ε_i

(2) ถ้าจากการทดลองหรือการเก็บรวบรวมข้อมูล พบร่วมกับความแปรผันของข้อมูลมาจากปัจจัยตัวหนึ่ง จะได้สมการ

$$Y_{ij} = \mu + T_j + \varepsilon_{ij}$$

ค่า Y_{ij} จะแตกต่างจากค่าเฉลี่ยของประชากร μ ด้วยความแปรผันจากปัจจัย T และค่าความผิดพลาดแบบสุ่ม ε_{ij}

(3) ถ้าจากการทดลองพบว่า ความแปรผันของข้อมูลเกิดจากปัจจัย g ตัวที่ทำให้เกิดความแปรผันในข้อมูลจะได้สมการ

$$Y_{ijk} = \mu + T_j + N_k + \dots + \varepsilon_{ijk}$$

(4) ถ้าความแปรผันของข้อมูล เนื่องมาจากปัจจัย 2 ปัจจัยและอิทธิพลร่วมกัน ของปัจจัยจะได้สมการ

$$Y_{ijk} = \mu + T_j + N_k + TN_{jk} \dots + \varepsilon_{ijk}$$

สมการ Y เป็น รูปแบบทางคณิตศาสตร์ของการทดลองซึ่งได้จากการจัดสรุป ความแปรผันออกเป็นส่วน ๆ ตามที่มาของแหล่งที่ทำให้เกิดความแปรผัน

จากรูปแบบของ Y กาวิเคราะห์กระทำโดยการหาขนาดของความแปรผันของ ปัจจัยในรูปของผลบวกกำลังสอง (Sum of Square) เทียบกันขนาดของความผิดพลาดแบบสุ่มใน รูปของผลบวกกำลังสอง เพื่อพิจารณาว่าขนาดของความแปรผันของปัจจัยนั้น ๆ มีนัยสำคัญทาง สถิติที่จะยอมรับว่าปัจจัยนั้น มีอิทธิพลที่ทำให้เกิดความแปรผันในข้อมูลจริง ๆ โดยใช้สถิติในการ ทดสอบคือ ตัวสถิติ F โดยที่

$$F = \frac{\text{ผลบวกกำลังสองของปัจจัย}}{\text{องศาความอิสระของปัจจัย}}$$

ผลบวกกำลังสองของความผิดพลาดแบบสุ่ม/องศาความอิสระของความผิดพลาดแบบสุ่ม

เปรียบเทียบค่า F ที่คำนวณได้กับค่า $F_{\alpha, a, b}$ จากตารางการแจกแจงความน่าจะ เป็นแบบ F โดยที่

$$\alpha = \text{ระดับนัยสำคัญ}$$

$$a = \text{องศาความอิสระของปัจจัย}$$

$$b = \text{องศาความอิสระของความผิดพลาดแบบสุ่ม}$$

ถ้า $F > F_{\alpha, a, b}$ ยอมรับอิทธิพลของปัจจัย และถ้า $F \leq F_{\alpha, a, b}$ ปฏิเสธ อิทธิพลของปัจจัย

2.7.2 การค่า P (P value)

โดยทั่วไป เมื่อต้องการสรุปผลการทดสอบสมมติฐานนั้น สิ่งที่สนใจ คือ สมมติฐานหลัก(Null hypothesis) จะถูกยอมรับหรือปฏิเสธ ถ้าถูกยอมรับ หมายถึง สมมติฐาน เป็นจริง และถ้าถูกปฏิเสธ หมายถึง สมมติฐานนั้นไม่เป็นจริง จึงมีการกำหนดค่าระดับนัยสำคัญ เพื่อที่จะบอกยอมรับหรือปฏิเสธ Null hypothesis เราเรียกว่า Probability Value (P-Value) ค่า P - Value นี้จะข้างอยู่กับ α โดยที่ P-Value คือค่าจริง(Actual)ของprobability ซึ่งได้จากการ คำนวณ ส่วน α คือเส้นกำหนดหรือจุดแบ่งระหว่างการยอมรับหรือปฏิเสธสมมติฐานหลัก ซึ่งก็คือ Probability เหมือนกัน โดยจะยอมรับสมมติฐานหลัก ถ้า P-Value มาจากว่า α และปฏิเสธ ถ้า P- Value เท่าหรือน้อยกว่า

2.7.3 การวิเคราะห์ความแปรปรวน

การวิเคราะห์ความแปรปรวนเพื่อทดสอบสมมติฐานทางสถิติในการทดลองที่มี ปัจจัยที่เราสนใจ ศึกษา 2 ตัว คือ A และ B เราต้องการทดสอบสมมติฐานทางสถิติ 3 อย่าง คือ

1) การทดสอบสมมติฐานเกี่ยวกับอิทธิพลหลักของปัจจัย A คือ

$$H_0: T_1 = T_2 = \dots = T_a = 0$$

$$H_1: T_i \neq 0 \text{ อย่างน้อย } 1 \text{ ค่า}$$

2) การทดสอบสมมติฐานเกี่ยวกับอิทธิพลหลักของปัจจัย B คือ

$$H_0: \beta_1 = \beta_2 = \dots = \beta_b = 0$$

$$H_1: \beta_i \neq 0 \text{ อย่างน้อย } 1 \text{ ค่า}$$

3) การทดสอบสมมติฐานเกี่ยวกับอิทธิพลร่วมของ 2 ปัจจัย คือ

$$H_0: (T\beta)_{ij} = 0 \text{ ทุก } i, j$$

$$H_1: (T\beta)_{ij} \neq 0 \text{ อย่างน้อย } 1 \text{ ค่า}$$

2.7.4 การวิเคราะห์ความคลาดเคลื่อน (Residual Analysis)

สำหรับการศึกษาอิทธิพลของปัจจัย 2 ปัจจัย และผลจากการทดสอบอิทธิพลร่วมพบว่าไม่มีอิทธิพลร่วมระหว่าง 2 ปัจจัยนั้น จึงเขียนตัวแบบสटดิชของ การทดลองนี้ซึ่งไม่มีอิทธิพลร่วม คือ

$$Y_{ijk} = \mu + T_i + \beta_j + \varepsilon_{ijk}$$

เมื่อ y_{ijk} คือ ค่าตัวแปรตอบสนองหรือตัวแปรตาม

μ คือ ค่าเฉลี่ยซึ่งเป็นค่าคงที่

T_i คือ ค่าที่เกิดขึ้นจากอิทธิพลของปัจจัย

β_j คือ ค่าที่เกิดขึ้นจากอิทธิพลของความผิดพลาดแบบสุ่ม

ก่อนที่จะสรุปผลจากการวิเคราะห์ความแปรปรวน ควรตรวจสอบความเหมาะสมของตัวแบบสटดิชนี้ก่อน เครื่องมือที่ใช้ในการตรวจสอบคือการวิเคราะห์ความคลาดเคลื่อนขั้นตอนแรกของการวิเคราะห์ความคลาดเคลื่อนคือ การคำนวณค่าประมาณของความคลาดเคลื่อนของตัวแบบการทดลองแฟคทอร์เรียลที่มี 2 ปัจจัย และ 2 ปัจจัยนั้นไม่มีอิทธิพลร่วมกันคือ

$$e_{ijk} = y_{ijk} - \hat{y}_{ijk} \quad \text{เมื่อ } \hat{y}_{ijk} = \bar{y}_{i\cdot\cdot} + \bar{y}_{j\cdot\cdot} - \bar{y}_{\cdot\cdot\cdot}$$

2.7.5 การทดสอบความแตกต่างแบบจับคู่ (Paired Difference Tests หรือ Paired t-Test)

การทดสอบความแตกต่างแบบจับคู่ (Paired Difference Tests หรือ Paired t-Test) เป็นการทดสอบความแตกต่างของค่าเฉลี่ยระหว่างตัวอย่าง 2 กลุ่มเมื่อข้อมูลตัวอย่างที่ใช้ทดสอบมีความสัมพันธ์กัน ซึ่งความสัมพันธ์ดังกล่าวเกิดจากหน่วยทดลอง (Experimental unit) เดียวกัน แต่มีการวัดค่าของข้อมูล 2 ครั้ง เช่น การเบร์ยนเทียบวิธีหรือภาวะการทดสอบที่ต่างกัน

จากแผนภาพแสดงการทดสอบแบบจับคู่ โดยสัญลักษณ์ที่ใช้มีความหมายดังนี้

x_i = ค่าที่ได้จากการทดลองครั้งที่ 1 ของตัวอย่างที่ i

y_i = ค่าที่ได้จากการทดลองครั้งที่ 2 ของตัวอย่างที่ i

d_i = ค่าที่ได้จากการทดสอบต่างระหว่างตัวอย่างที่ i ของการทดลองครั้งที่ 1 กับตัวอย่างที่

1 ของ การ

ทดสอบครั้งที่ 2 คือ $x_i - y_i$ ดังตารางด้านไปนี้

ตารางที่ 2.5 ตารางแสดงการทดสอบแบบจับคู่

ตัวอย่างที่	1	2	i	n	ค่าเฉลี่ย
การทดลองครั้งที่ 1	x_1	x_2	x_i	x_n	\bar{x}_1
การทดลองครั้งที่ 2	y_1	y_2	y_i	y_n	\bar{y}_1
ผลต่างระหว่างตัวอย่างคู่ใดๆ	$x_1 - y_1$	$x_2 - y_2$	$x_i - y_i$	$x_n - y_n$	\bar{d}
	d_1	d_2	d_i	d_n	

การหาค่าสถิติคำนวณได้จากสมการดังนี้

สมมติฐานของการทดสอบ

H_0 : ค่าเฉลี่ยของสองกลุ่มประชากรไม่แตกต่างกัน หรือ $H_0: \mu_d = 0$

เทียบกับ H_1 : ค่าเฉลี่ยของสองกลุ่มประชากรแตกต่างกัน $H_1: \mu_d \neq 0$

$$\text{สถิติทดสอบ } t = \frac{\bar{d} - \mu_d}{S_d / \sqrt{n}} \quad \text{โดยที่ } v = n-1$$

เกตปวีเด็ต $t < -\alpha_{\frac{\alpha}{2}}$ หรือ $t > \alpha_{\frac{\alpha}{2}}$

เมื่อ \bar{d} เป็นค่าเฉลี่ยของผลต่างระหว่าง 2 กลุ่มทดลองของข้อมูลที่ได้จากการทดลอง

μ_d เป็นค่าเฉลี่ยของผลต่างระหว่าง 2 กลุ่มทดลองของข้อมูลที่ได้จากประชากร

S_0 เป็นค่าส่วนเบี่ยงเบนมาตรฐานของผลต่างของข้อมูลที่ได้จากการตัวอย่าง

ก เป็นขนาดของตัวอย่าง

นำค่า t ที่คำนวณได้ไปเปรียบเทียบกับค่า t จากตาราง หากค่าที่คำนวณได้มากกว่าค่าจากตาราง แสดงว่าค่าเฉลี่ยของสองกลุ่มประชากรแตกต่างกันอย่างมีนัยสำคัญทางสถิติ หรือพิจารณาจากค่า P-value ถ้าค่า P-value มีค่าน้อยกว่า α จะปฏิเสธสมมติฐานหลัก แสดงว่าค่าเฉลี่ยของสองกลุ่มประชากรแตกต่างกัน นอกจากนี้สามารถพิจารณาได้จากช่วงความเชื่อมั่น โดยหากช่วงความเชื่อมั่นไม่ครอบคลุม 0 จะปฏิเสธสมมติฐานหลัก แสดงว่าค่าเฉลี่ยของสองกลุ่มประชากรแตกต่างกัน

2.8 เอกสารและงานวิจัยที่เกี่ยวข้อง

สุชาติ แซ่เต้ (2548)

งานวิจัยนี้มีจุดมุ่งหมายในการปรับปรุงกระบวนการผลิตของกล่องกระดาษลูกฟูกเพื่อปรับปรุงแรงเสียดทานของกล่องกระดาษลูกฟูกให้ดีขึ้น และลดการสูญเสียแรงเสียดทานให้น้อยที่สุด โดยใช้แนวทางของการออกแบบการทดลองอันเนื่องมาจากมีปัจจัยที่มีผลกระทบต่อแรงเสียดทานหลายปัจจัย ดังนั้นจึงได้มีการนำหลักการทางสถิติและการออกแบบการทดลองมาประยุกต์ใช้ในการปรับปรุงกระบวนการผลิต เพื่อศึกษาปัจจัยที่มีอิทธิพลต่อแรงเสียดทานของกล่องกระดาษลูกฟูก ผลลัพธ์ของ การทดลอง คือ สามารถกำหนดค่าของระดับของแต่ละปัจจัยที่มีนัยสำคัญที่ส่งผลต่อค่าแรงเสียดทานของกล่องกระดาษลูกฟูก โดยใช้วิธีการออกแบบการทดลองแบบ 2^{k-p} Fraction Factorial design Resolution IV และหลังจากการปรับปรุงกระบวนการผลิต มีปริมาณของเสียเกิดขึ้นเพียง 11.20 DPPM และความสามารถของกระบวนการ (Cpk) มีค่าเท่ากับ 1.34

ชาญณรงค์ สายแก้วและนิพนธ์ ชิลพัฒน์ (2549)

งานวิจัยนี้มีวัตถุประสงค์เพื่อออกรูปแบบและสร้างเครื่องย่อยขาดแก้วและประเมินปัจจัยที่มีผลต่อนาดเศษแก้วของเครื่องย่อยขาดแก้วซึ่งการประเมินการทำงานของเครื่องทำไปสู่การพัฒนาประสิทธิภาพและประสิทธิผลของเครื่องจักร การออกแบบการทดลองแบบส่วนประสานกลวง 2^k

แฟคทอร์เดียวถูกนำมาใช้ในการเก็บข้อมูลและทำการสร้างเข้ากับรูปแบบทางคณิตศาสตร์ของพื้นผิวผลตอบสนอง ค่าเปอร์เซนต์ของขนาดเศษแล้วที่มีขนาดเล็กกว่ารูดแต่งและสามารถลดอัตราได้เป็นครึ่งที่ถูกบันทึกไว้เพื่อนำไปใช้เคราะห์ความแปรปรวนและการหาจุดที่เหมาะสมที่สุดของตัวแปรที่มีผลผลกระทบต่อขนาดของเศษแก้ว ผลการวิจัยแสดงให้เห็นว่าปัจจัยที่มีผลต่อการย่อยเศษแก้วให้ได้ขนาดและปริมาณที่มากคือความเร็วรอบและอัตราการป้อนเศษแก้ว นอกจากนี้ความเร็วรอบประมาณ 450 รอบต่อนาที และอัตราการป้อนเศษแก้ว 15 ชุดต่อนาทีเป็นการออกแบบที่เหมาะสมที่สุดของเครื่องเพื่อให้ได้ขนาดของเศษแก้วตามที่ตลาดต้องการและได้บริษัทมากที่สุดโดยเฉลี่ย

วิชญา วิชาภัย บุนนาค (2543)

งานวิจัยออกแบบการทดลองแบบปรสภาวะในการบ่มสารเคลือบผิวโดยประยุกต์ใช้หลักการออกแบบเชิงทรรศคอมโพสิตโรเตทาร์ (Central Composite Rotatable, CCR) และเลือกใช้การวิเคราะห์ผลโดยวิธีพื้นผิวตอบสนอง(Response Surface Methodology, RSM) ทำให้ได้สมการพื้นผิวตอบสนองแสดงความสัมพันธ์ระหว่างปัจจัยในการบ่มกับสมบัติเชิงกลตอบสนองของผลิตภัณฑ์ประกอบแต่งอีพอกซีเรซิน ผลจากการศึกษาอิทธิพลของปัจจัยในการบ่มซึ่งได้แก่ อุณหภูมิการบ่ม ระยะเวลาในการบ่ม และปริมาณทรายที่ใช้เป็นสารเติมแต่งที่มีต่อสมบัติเชิงกลพบว่าของผลิตภัณฑ์ประกอบแต่งอีพอกซีเรซินที่บ่ม ณ อุณหภูมิห้อง (31°C) จะมีความสามารถในการรับแรงกระแทก (impact strength) และค่าความเนื้ียวเมื่อแตก (fracture toughness) สูง ในขณะที่ความสามารถในการรับแรงกด (compressive strength) ต่ำกว่าเมื่อเทียบกับการเมื่อเทียบกับการรับแรงกดดันของผลิตภัณฑ์ประกอบแต่ง ที่บ่ม ณ อุณหภูมิสูง (99°C) การเพิ่มเวลาในการบ่มจะช่วยให้คุณสมบัติในการรับแรงกดดีขึ้น ส่วนการใส่ทรายเพื่อเป็นสารเติมแต่งไม่ได้มีผลต่อการรับแรงกดเท่าไนก แต่กลับช่วยให้พลังงานการแตก (fracture energy) ของผลิตภัณฑ์ประกอบแต่งอีพอกซีเรซินสูงขึ้นมากแต่ขณะเดียวกันก็ทำให้สมบัติในการรับแรงกดและแรงกระแทกลดลงเล็กน้อย ผลจากการวิเคราะห์แสดงให้เห็นว่า แต่ละสมบัติเชิงกลจะมีสภาวะที่เหมาะสมในการบ่มจะแตกต่างกันออกไป ผลิตภัณฑ์ประกอบแต่งอีพอกซีเรซินจะมีคุณสมบัติเชิงกลโดยรวมดีที่สุดเมื่อบ่มที่ 31°C นาน 56.2 ชั่วโมง ซึ่งเป็นเวลาบ่มที่นานที่สุดในงานวิจัย โดยใส่ทราย 23-25% สมบัติเชิงกลที่ลดลงมากที่สุด ณ ลักษณะการบ่มนี้ ได้แก่ ความสามารถในการรับแรงกด ซึ่งลดลง 24.2% อย่างไรก็ตาม แนวโน้มของความสามารถในการรับแรงกดจะเพิ่มขึ้นอีกเมื่อเพิ่มเวลาในการบ่มออกไประดิ

ราชพงศ์ นาวาภรณ์ (2546)

งานวิจัยมีวัตถุประสงค์เพื่อลดความแปรปรวนของน้ำหนักกระดาษเกรด 75 g/m^2 โดยก่อนการปรับปรุงของน้ำหนักมาตรฐานกระดาษคือ 1.98 g/m^2 และด้วยสูตรรากน้ำรวมของกระบวนการคือ 0.71 โดยใช้เทคนิคการวิเคราะห์ความแปรปรวนเนื่องจากปัจจัย 2 ปัจจัย (Two Factor Analysis of Variance) ผลที่ได้พบว่าความแตกต่างของน้ำหนักมาตรฐานในแนวตามยาว เครื่องและในแนวตามขวางเครื่องอย่างมีนัยสำคัญ คือปัจจัยทางด้านแนวตามขวางเครื่องมีผลกระทบต่อน้ำหนักมาตรฐานมากกว่า และผลของขันตรกิริยาระหว่างปัจจัยในแนวตามยาวและแนวตามขวางไม่มีผลต่อน้ำหนักมาตรฐาน

A.L.D. Skury, G.S. bobrovnnitchii, S.N. Monteiro (2004)

บทความกล่าวถึงการวิเคราะห์การประยุกต์ใช้การหลอมละลายของด่างในการทำเพชรให้บริสุทธิ์ที่เหมาะสม เพื่อแก้ปัญหาสิ่งเรือปนในเพชร โดยใช้การออกแบบการทำทดลองเชิงแฟคทอร์เรียล (Experiment factorial design) และวิธีการพื้นผิวดอน (Response surface methodology) โดยมีปัจจัยที่ศึกษา 4 ปัจจัยด้วยกัน คือ โปಡแสเทียมไนเตน (KNO_3) โปಡแสเทียมไออกไซด์ (KOH) อุณหภูมิและเวลา มีผิวเพชรเป็นตัวแปรผลตอบ ซึ่งจากการทดลองพบว่าค่าที่ดีที่สุดจากการทดลองคือ ที่อุณหภูมิ 475°C เวลา 70 นาที จำนวนโปಡแสเทียมไนเตน (KNO_3) เท่ากับ 142.5 กรัม และจำนวนโปಡแสเทียมไออกไซด์ (KOH) เท่ากับ 244 กรัม

ลัดดา เรืองเลิศ (2546)

วิทยานิพนธ์นี้มีวัตถุประสงค์เพื่อเพิ่มประสิทธิภาพของกระบวนการพิมพ์สีในโรงงานผลิตพื้นยางนีโอลิท ซึ่งอุปกรณ์ที่ใช้ในงานวิจัยคือ เครื่องพิมพ์ระบบกราเวียร์และเครื่องวัดการสะท้อนแสงของสี โดยมีการปรับแต่งค่าของเครื่องพิมพ์แบบคงที่ โดยการทดสอบปัจจัยที่สำคัญของเครื่องพิมพ์ที่คาดว่าจะมีผลต่อการปรับตั้งเครื่อง ผลการวิจัยหลังการปรับปรุงกระบวนการพิมพ์ทำให้เวลาที่ใช้ในการปรับแต่งกระบวนการลดลงจากเดิม 74.70 % จากผลสรุปที่ได้จากการวิจัยนี้ พบว่าประสิทธิภาพของกระบวนการผลิตเมื่อวัดจากปริมาณผลผลิตที่ได้หลังการปรับปรุง มีค่าเพิ่มมากขึ้น 74.08% และเกรด A ของผลิตภัณฑ์มีค่าเพิ่มขึ้น 13.6%

บทที่ 3

วิธีดำเนินการวิจัย

เนื่องจากดูประสิทธิภาพของการวิจัยครั้งนี้คือ เพื่อปรับปรุงงานเคมีคอนดักเตอร์ที่มีขา (Peripheral) ไม่ให้เกิดปัญหาเส้นทางสัมผัสกันหรือเส้นทางใกล้กันน้อยกว่า 23 ไมครอนซึ่งถือว่า เป็นของเสีย ดังนั้นจึงต้องมีการศึกษาปัจจัยที่มีอิทธิพลต่อการทำให้เส้นทางสัมผัสกันในงานเคมี คอนดักเตอร์ ดำเนินการเบรย์บเทียนปัจจัยที่มีอิทธิพลมากที่สุดต่อการทำให้เส้นทางสัมผัสกันใน งานเคมีคอนดักเตอร์ และกำหนดค่าตัวแปรที่เหมาะสมเพื่อให้มีของเสียที่เกิดจากเส้นทางสัมผัส กันเกิดขึ้นอีก ดังนั้นในการทดลองต้องออกแบบการทดลอง เลือปรับแต่งค่าตัวแปรสำหรับเครื่องจักรที่ กำหนดให้ตามแบบการทดลองแล้วจึงทำการเก็บรวบรวมข้อมูลเพื่อนำไปวิเคราะห์ความแปรปรวน ต่อไป

3.1 การแบ่งส่วนการวิจัย

3.1.1 การทดลองเพื่อศึกษาอิทธิพลหลัก (Main Effect) และอิทธิพลร่วม (Interaction) ที่ส่งผลต่อปัญหาเส้นทางสัมผัสกันหรือเส้นทางใกล้กันน้อยกว่า 23 ไมครอน โดย การออกแบบการทดลองแบบ Response Surface เพื่อนำปัจจัยหลักที่มีนัยสำคัญไปศึกษาเพื่อนำ ระดับที่เหมาะสม

3.1.2 การทดลองเพื่อค้นหาระดับค่าตัวแปรที่เหมาะสม (Response Optimizer) และศึกษาพื้นผิวตอบสนองของ ตัวแปร (Response Surface Methodology)

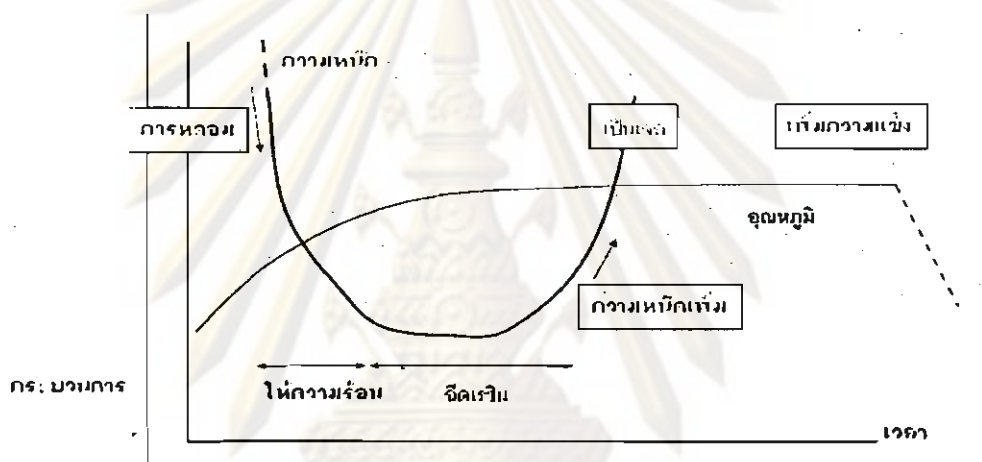
3.2 การกำหนดปัจจัย ระดับปัจจัย

การกำหนดปัจจัยที่จะนำมาพิจารณาในการออกแบบการทดลอง ผู้วิจัยได้นำจาก การรวมรวมข้อมูลจากการประชุมกับบุคลากรที่เกี่ยวข้องในกระบวนการขอรับอนุญาต ที่มีความต้องการที่จะทราบผลลัพธ์ที่ได้มาจากการทดลอง ผู้วิจัยได้นำมาจาก การใช้แผนภูมิก้างปลาเป็นเครื่องมือในการวิเคราะห์

ในส่วนของระดับของปัจจัยต่างๆที่จะนำมาพิจารณาในการออกแบบการทดลอง ครั้งนี้ผู้วิจัยได้มาจากการรวมข้อมูลจากการประชุมกับบุคลากรที่เกี่ยวข้องในกระบวนการการขึ้นรูปจากแม่พิมพ์เป็นกัน ซึ่งมีดังนี้

3.2.1 ปัจจัยที่จะศึกษา

เนื่องจากเวลาในการขัดเรียนและเวลาให้ความร้อนแก่เริน มีความสัมพันธ์กับ ความหนืด (Viscosity) ซึ่งเป็นคุณสมบัติที่สำคัญอย่างมากในกระบวนการการขึ้นรูป ตามรูปที่ 3.1



รูปที่ 3.1 แสดงความสัมพันธ์ของความหนืด และเวลา

จากกฎจะเห็นว่าเมื่อเวลาเปลี่ยนไปความหนืดของเรินก็เปลี่ยนไป ซึ่งในกระบวนการการขึ้นรูปต้องการให้เรินมีความหนืดที่น้อยที่สุด เพื่อให้แรงไปกระทำกับเส้นทองน้อยที่สุด ดังนั้นค่าของ เวลาในการขัดและเวลาให้ความร้อนแก่เรินต้องอยู่ในช่วงที่เหมาะสมที่สุดซึ่ง ขึ้นอยู่กับชนิดของเรินด้วย โดยเรินที่ใช้ในกระบวนการผลิตนี้มีค่าความเป็นเจลอยู่ที่ 32 วินาที

**ศูนย์วิทยทรัพยากร
จุฬาลงกรณ์มหาวิทยาลัย**

3.2.1.1. เวลาในการขัดเริน คือระยะเวลาในการขัดเรินเข้าไปใน แม่พิมพ์ ระยะเวลาในการขัดมีผลให้เกิดเด่นทองสัมผัสกัน หรือ เส้นทองใกล้กันน้อยกว่า 23 ไมครอน เนื่องจาก F คือ แรง, m คือมวล และ a คือความเร่ง

$$F = ma$$

$$a = v/t$$

$$F = m \times (v/t)$$

$$t = mv / F$$

จากสูตรจะเห็นว่า F

ซึ่งหมายความว่าถ้าเวลาในการฉีดของเรซินมีน้อยจะส่งผลให้แรงของเรซินที่ฉีดเข้าไปยังแม่พิมพ์มีมากขึ้นกัน

เนื่องจากคุณสมบัติของเรซินเมื่อเวลาผ่านไป เรซินจะเปลี่ยนสถานะจากเป็นเจลเป็นของแข็ง ซึ่งก็หมายความว่าเรซินจะมีความหนืดสูงขึ้นเรื่อยๆ ดังนั้นเมื่อเวลาในการฉีดเรซินมากเกินไปจะส่งผลให้เรซินที่มีความหนืดสูงมีแรงกระทำต่อเส้นทองเพิ่มมากขึ้น

ดังนั้น จึงต้องมีการกำหนดเวลาในการฉีดเรซินให้เหมาะสม ผู้วิจัยได้กำหนดเวลาในการฉีดเรซินในการทดสอบ ดังนี้

- ระดับต่ำ เวลาในการฉีดเรซิน 7 วินาที
- ระดับสูง เวลาในการฉีดเรซิน 13 วินาที

3.2.1.2. เวลาในการให้ความร้อนแก่เรซิน คือระยะเวลาในการให้ความร้อนแก่เรซินก่อนทำการฉีด ระยะเวลาในการให้ความร้อนแก่เรซินมีผลให้เกิดเส้นทองสัมผัสกันหรือ เส้นทองใกล้กันน้อยกว่า 23 ไมครอน เมื่อจากความร้อนที่ให้เป็นจะส่งผลต่อกุณสมบัติของเรซินซึ่งมีอยู่ 3 ช่วง

ช่วงแรก คือช่วงที่เรซินมีสถานะเป็นของแข็งซึ่งเมื่อโดนความร้อน ความแข็งแรงของเรซินก็จะค่อยๆ ลดลงเรื่อยๆ

ช่วงที่สอง คือช่วงที่เรซินเป็น.จล (ช่วงที่เป็นของเหลว) สูงสุด ช่วงนี้ถือว่าเป็นช่วงที่เหมาะสมที่สุดที่จะฉีดเรซินเข้าไปยังแม่พิมพ์

ช่วงที่สาม คือช่วงที่เรซินจะค่อยๆ เปลี่ยนสถานะจากการเป็นเจลกลับมาเป็นของแข็ง

กล่าวได้ว่าหากกำหนดให้ระยะเวลาในการให้ความร้อนแก่เรซินสั้นเกินไป เรซินในช่วงนี้จะมีความหนืดสูงเนื่องจากเป็นช่วงที่ก้าวเที่ยงระหว่างสภาพที่แข็งและเป็นเจล จึงส่งผลให้เรซินมีแรงกระทำต่อเส้นทองมาก และหากกระยะเวลาการให้ความร้อนแก่เรซินมากเกินไปจะเข้าสู่ช่วงที่สามของเรซินคือเปลี่ยนสถานะจากของเหลวเป็นของแข็ง ซึ่งทำให้เรซินมีความหนืดสูงขึ้นเรื่อยๆ ส่งผลให้เรซินมีแรงกระทำต่อเส้นทองมากเข่นกัน

ดังนั้น จึงต้องมีการกำหนดเวลาในการให้ความร้อนแก่เรซินให้เหมาะสม ผู้วิจัยได้กำหนดเวลาในการให้ความร้อนแก่เรซินในการทดลอง ดังนี้

- ระดับต่ำ เวลาในการให้ความร้อนแก่เรซิน 9 วินาที
- ระดับสูง เวลาในการให้ความร้อนแก่เรซิน 15 วินาที

3.2.1.3. แรงขีดเรซิน คือ แรงที่กระทำกับแกนขีด (Plunger) เพื่อให้เรซินไหลเข้าไปในแม่พิมพ์อย่างสมบูรณ์ แรงขีดมีผลให้เกิดเส้นทองสัมผัสกัน หรือ เส้นทองใกล้กันน้อยกว่า 23 ไมครอน เนื่องจากแรงดังกล่าวจะเป็นตัวผลักให้มวลของเรซินไปปะทะกันเส้นทองจึงทำให้เส้นทองเกิดการดึงขอจันสัมผัสรือไกลั้กัน

ในงานวิจัยนี้สามารถเทียบค่าแรงขีด 1 ตันเท่ากับแรงดัน 92.80 kgf/cm^2 ที่แกนขีด (Plunger) ขนาด 14 มิลลิเมตรจำนวน 7 ชั้น

ดังนั้น จึงต้องมีการกำหนดแรงขีดเรซินที่ใช้ในการขีดเรซินให้เหมาะสม ผู้วิจัยได้กำหนดแรงขีดที่ใช้ในการขีดเรซินในการทดลอง ดังนี้

- ระดับต่ำ แรงขีดที่ใช้ในการขีดเรซิน 16 ตัน
- ระดับสูง แรงขีดที่ใช้ในการขีดเรซิน 18 ตัน

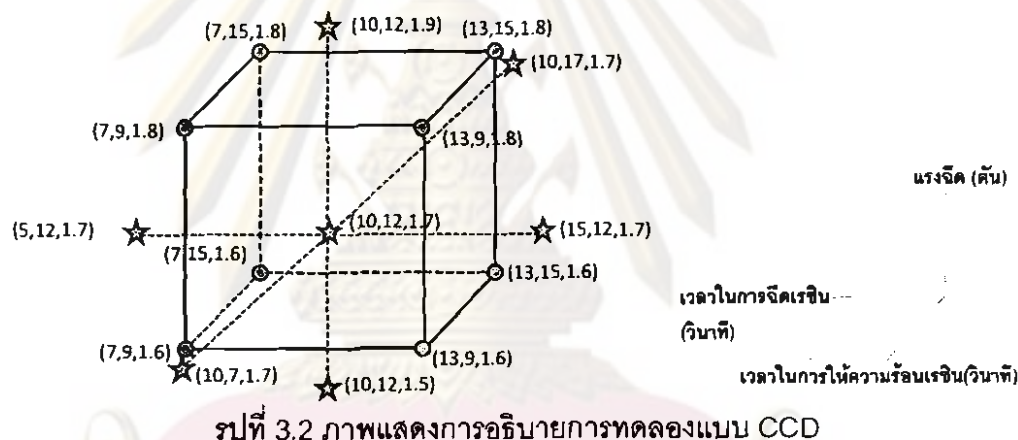
โดยอ้างอิงจากงานเข้มวิศวกรรมดักเตอร์ชนิคเมฆาทีมีโครงสร้างใกล้เคียงกัน

3.2.2 ระดับของปัจจัยที่ใช้ในการทดลอง

ระดับปัจจัยจะใช้ค่าที่ใช้งานในปัจจุบันโดยมีค่าคลาดเคลื่อนที่เพิ่มหรือลดลง ดังแสดงในตารางที่ 3.1

ตารางที่ 3.1 สรุประดับปัจจัยที่ใช้ในการทดลองของกระบวนการรีซูปจากเม็ดพิมพ์

ปัจจัย	ระดับ					หน่วย
	(-A)	(-1)	0	(+1)	(+A)	
เวลาในการฉีด (Injection time)	5	7	10	13	15	วินาที
เวลาในการให้ความร้อนเรซิน(Tablet preheat time)	7	9	12	15	17	วินาที
แรงดึง (Injection force)	1.5	1.6	1.7	1.8	1.9	ตัน



รูปที่ 3.2 ภาพแสดงการอธิบายการทดลองแบบ CCD

3.3 การออกแบบการทดลอง

เมื่อกำหนดระดับของปัจจัยที่ทำการศึกษาแล้ว นำไปออกแบบการทดลองแบบที่นิยมลดตอน โดยใช้โปรแกรมสำหรู่ป ช่วยในการออกแบบการทดลอง ซึ่งได้รูปแบบของการทดลองดังนี้

การออกแบบการทดลองในกระบวนการรีซูปเรียบผิวชิ้นงาน โดย

ปัจจัย A คือ เวลาในการฉีด (วินาที)

ปัจจัย B คือ เวลาในการให้ความร้อนแก่เรซิน (วินาที)

ปัจจัย C คือ แรงดึงเรซิน (ตัน)

ตารางที่ 3.2 ตารางแสดงลำดับการทดลองและค่าของปัจจัยในการทดลอง

Run	Injection time	Tablet preheat time	Injection force
	A	B	C
	วินาที	วินาที	ตัน
1	7	9	1.6
2	13	9	1.6
3	7	15	1.6
4	13	15	1.6
5	7	9	1.8
6	13	9	1.8
7	7	15	1.8
8	13	15	1.8
9	5	12	1.7
10	15	12	1.7
11	10	7	1.7
12	10	17	1.7
13	10	12	1.5
14	10	12	1.9
15	10	12	1.7
16	10	12	1.7
17	10	12	1.7
18	10	12	1.7
19	10	12	1.7
20	10	12	1.7

3.4 เครื่องมือที่ใช้ในการวิจัย

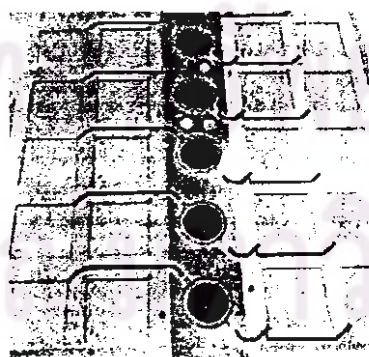
อุปกรณ์ที่ใช้ในการทดลอง ประกอบด้วย

- เครื่องชั่นรูป เป็นเครื่องจักรที่ทำงานด้วยระบบไฮดรอลิก ควบคุมการทำงานด้วยคอมพิวเตอร์ ซึ่งภายในของเครื่องชั่นรูปจะมีแม่พิมพ์ เป็นแม่แบบในการชั่นรูปงานเหมือนดักเตอร์



รูปที่ 3.3 เครื่องชั่นรูป

- แม่พิมพ์ ทำจากเหล็กซีงในงานวิจัยนี้ใช้แม่พิมพ์ที่ผลิตงานได้ทั้งหมด 28 ชิ้นในการชั่นรูป 1 ครั้ง โดยมีระบบอกเจ็ต(Pot)ทั้งหมด 7 อันขนาด 14.6 มิลลิเมตร และมีแกนเจ็ต(Plunger) ทั้งหมด 7 อัน ขนาด 14 มิลลิเมตรดังรูป



รูปที่ 3.4 แม่พิมพ์

3. เครื่องเอกซเรย์ เครื่องเอกซเรย์เป็นเครื่องมือที่ใช้ในการวัดระยะห่างของเส้นทองที่อยู่ภายในเรซิน เมื่อจากหลังจากเข้าสู่กระบวนการการขึ้นรูปแล้ว งานเชมิคอลดักเตอร์จะถูกปกคลุมด้วยเรซิน จึงไม่สามารถมองเห็นเส้นทองภายในได้ ซึ่งระยะที่วัดได้จะมีหน่วยเป็น ไมครอน



รูปที่ 3.5 เครื่องเอกซเรย์

4. กล้องไมโครสโคป(Microscope) เป็นเครื่องมือที่ใช้ในการตรวจคุณลักษณะภายในพัสดุด้วยสายตา ซึ่งงานวิจัยนี้จะใช้ในการตรวจสอบเส้นทองก่อนทำการขึ้นรูป งานเชมิคอลดักเตอร์ และตรวจสอบรูปลักษณ์ของงานหลังจากผ่านกระบวนการการขึ้นรูปแล้ว



รูปที่ 3.6 กล้องไมโครสโคป

5. เทอร์โมมิเตอร์(Thermometer) เป็นเครื่องมือที่ใช้ในการวัดอุณหภูมิของเม็ดพิมพ์ เมื่อong จากการวิจัยนี้คุณอุณหภูมิที่ 175 ± 5 องศาเซลเซียส ดังนั้นจึงต้องมีการวัด อุณหภูมิในแต่ละจุดของเม็ดพิมพ์ด้วยเทอร์โมมิเตอร์ เพื่อตรวจสอบว่าเม็ดพิมพ์อยู่ในสภาพ ที่เหมาะสมหรือไม่



รูปที่ 3.7 เทอร์โมมิเตอร์

3.5 ขั้นตอนการดำเนินการทดลอง

1. นำงานผ่านเครื่อง UV เพื่อกำหนดความสะอาดหน้าชิป(Chip) โดยทำความสะอาด เข้าทางผิวนอกของชิป (Chip)
2. ตรวจสอบคุณภาพของงานหลังถูกวางเส้นทางแล้วด้วยกล้องไมโครสโคป
3. ตั้งค่าและตรวจสอบอุณหภูมิของเม็ดพิมพ์ให้อยู่ในช่วง 175 ± 5 องศาเซลเซียส
4. กำหนดค่า เวลาในการฉีด(Injection time), เวลาในการให้ความร้อนแก่เรซิน (Tablet preheat time) และแรงดันเรซิน(Injection pressure) ตามตารางที่ 3.2
5. กำหนดค่าปัจจัยที่ฟิดไว้ดังตารางที่ 3.3

ตารางที่ 3.3 ตารางแสดงปัจจัยที่พิจารณาในงานวิจัย

ปัจจัย	หน่วย	ค่าพารามิเตอร์
แรงกด (Clamp force)	ตัน	75
ตำแหน่งวางเรซิน(Tablet position)	mm	17
เวลาในการอบ(Cure time)	วินาที	50
อุณหภูมิ	องศา	175

6. ทำการผลิตงานโดยใช้พารามิเตอร์ดังตารางที่ 3.2 และ 3.3
7. นำชิ้นงานออกจากเครื่องขึ้นรูป
8. ตรวจสอบงานด้วยกล้องไมโครสโคป
9. ตรวจสอบคุณภาพเส้นทองภายในด้วยเครื่องเอกซเรย์

3.6 การตรวจสอบคุณภาพงานด้วยกล้องไมโครสโคป

1. ทำการตรวจสอบคุณภาพงานก่อนเข้าสู่กระบวนการการขึ้นรูปด้วยกล้องไมโครสโคป ด้วยกำลังขยาย 20 เท่า โดยพิจารณาคุณสมบัติดังนี้
 - 1.1 ลักษณะของเส้นทองที่ถูกวางแผนแล้วต้องมีลักษณะตรง
 - 1.2 คุณภาพของกราวงเส้นทอง พิจารณาจากสภาพกราฟีดเก่าต่อผิวน้ำเชป (Chip) คือเส้นทองต้องไม่หลุดจากผิวน้ำเชปหรือจากชา และต้องไม่มีเศษสิ่ง สกปรกอยู่ข้างล่างระหว่างเส้นทองและชิปหรือชา
2. ทำการตรวจสอบคุณภาพงานก่อนหลังเข้าสู่กระบวนการการขึ้นรูปด้วยกล้องไมโครสโคป ด้วยกำลังขยาย 20 เท่า โดยพิจารณาคุณสมบัติดังนี้
 - 2.1 รูปทรงของงานต้องมีรูปร่างและขนาดตรงกับแม่พิมพ์
 - 2.2 คุณภาพของผิวงาน พิจารณาผิวของงานดังนี้

- 2.2.1 ผิวงานต้องมีความเรียบ สม่ำเสมอ ไม่มีหลุม ฟองอากาศ หรือรอยแตกบิบบนผิวงาน
- 2.2.2 ผิวงานต้องเป็นสีเดียวกันทั้งหมด ไม่มีสีเปลกปลอกปะปนอยู่บนผิวงาน
- 2.2.3 ผิวงานต้องสะอาด ไม่มีเศษสกปรกหรือคราบมันติดบนผิวงาน

3.7 การตรวจสอบคุณเส้นทองด้วยเครื่อง X-ray

ทำการตรวจสอบคุณภาพเส้นทองภายใต้เครื่อง X-ray โดยพิจารณาคุณสมบัติดังนี้

1. เส้นทองที่อยู่ถัดกันต้องมีระยะห่างมากกว่า 1 เส้นผ่านศูนย์กลางของเส้นทอง กล่าวคือในงานวิจัยนี้ให้เส้นทองที่มีขนาดเส้นผ่านศูนย์กลาง 23 ไมครอน เพราะจะนั้นระยะห่างของเส้นทองที่อยู่ถัดกันต้องมีค่ามากกว่า 23 ไมครอน
2. เส้นทองต้องไม่นลุดจากผิวน้ำชิป หรือ ขาagan

3.8 การวิเคราะห์ข้อมูล

โปรแกรมคอมพิวเตอร์ในการวิเคราะห์ข้อมูล

โปรแกรมสำเร็จรูปทางสถิติที่ใช้ในการวิเคราะห์ข้อมูลมีด้วยหลายผลิตภัณฑ์ สำหรับงานวิจัยนี้ได้มีวิธีการออกแบบการทดลองโดยวิธีพื้นผิวผลตอบ ดังนั้น ผู้วิจัยจึงเลือกใช้โปรแกรมสำเร็จรูป ซึ่งสามารถตอบสนองต่อการวิเคราะห์ข้อมูลในการวิจัยครั้งนี้

การวิเคราะห์ข้อมูลในส่วนของการทดลอง

การออกแบบการทดลองแบบพื้นผิวผลตอบจะพิจารณาค่า P ที่ได้จากการทดลองในการวิเคราะห์ปัจจัยที่มีผลในกระบวนการการรีนรูป ในขั้นตอนนี้ผู้วิจัยได้กำหนดให้ระดับความเชื่อมั่น มีค่าเท่ากับ 95% ที่ความเชื่อมั่นระดับนี้ให้ความถูกต้องและมีความเหมาะสมสำหรับการลงทุนของบริษัท

โดยที่ตัวค่า P น้อยกว่า 0.05 แสดงว่า ปัจจัยนั้นมีผลกระทบต่อระยะห่างของเส้นทองที่อยู่ดัดกัน

ตัวค่า P มากกว่า 0.05 แสดงว่า ปัจจัยนั้นไม่มีผลกระทบต่อระยะห่างของเส้นทองที่อยู่ดัดกัน

การวิเคราะห์ข้อมูลในส่วนของผลการทดลอง

เนื่องจากงานวิจัยนี้มีการทำการทดลองขึ้นจำนวน 2 ครั้งเพื่อให้แน่ใจว่าผลการทดลองที่ได้ สามารถยอมรับได้ ตั้งนั้นจึงมีการนำผลการทดลองที่ได้มาตรวจสอบความสัมพันธ์กัน โดยใช้เทคนิคการทดสอบความแตกต่างแบบจับคู่ (Paired Difference Tests หรือ Paired t-Test) ซึ่งเป็นการทดสอบความแตกต่างของค่าเฉลี่ยระหว่างตัวอย่าง 2 กลุ่มเมื่อข้อมูลตัวอย่างที่ใช้ทดสอบมีความสัมพันธ์กัน ซึ่งความสัมพันธ์ดังกล่าวเกิดจากหน่วยทดลอง (experimental unit) เดียวกัน แต่มีการวัดค่าของข้อมูล 2 ครั้ง โดยพิจารณาจากค่า P-value ตัวค่า P-value มีค่าน้อยกว่า α จะปฏิเสธสมมติฐานหลัก แสดงว่าค่าเฉลี่ยของสองกลุ่มประชากรแตกต่างกัน

**ศูนย์วิทยทรัพยากร
จุฬาลงกรณ์มหาวิทยาลัย**

บทที่ 4

ผลการวิเคราะห์ข้อมูล

4.1 ผลการทดลองและการวิเคราะห์ผลการทดลอง

ทำการทดลองกระบวนการรีนรูป โดยปรับค่าของปัจจัยตามที่ออกแบบการทดลองไว้

4.1.1 ผลการทดลองของกระบวนการรีนรูปจากแม่พิมพ์

ข้อมูลที่ได้จากการทดลองของกระบวนการรีนรูปจากแม่พิมพ์ โดยแสดงค่าระยะห่างของเส้นที่อยู่ติดกันดังตารางที่ 4.1

ตารางที่ 4.1 ตารางแสดงผลการทดลองของกระบวนการรีนรูปจากแม่พิมพ์

Run	Injection time	Tablet preheat time	Injection force	ระยะห่างของเส้นทอง	
	A	B	C	Y_1	Y_2
	วินาที	วินาที	ตัน	ไมครอน	ไมครอน
1	7	9	1.6	15	10
2	13	9	1.6	49	56
3	7	15	1.6	5	7
4	13	15	1.6	31	27
5	7	9	1.8	7	11
6	13	9	1.8	45	43
7	7	15	1.8	3	2
8	13	15	1.8	27	25
9	5	12	1.7	2	1
10	15	12	1.7	37	35
11	10	7	1.7	31	36

ตารางที่ 4.1 ตารางแสดงผลการทดลองของกระบวนการรีส์นูปจากแม่พิมพ์ (ต่อ)

Run	Injection time	Tablet preheat time	Injection force	ระยะห่างของเส้นทอง	
	A	B	C	Y_1	Y_2
	วินาที	วินาที	ตัน	ไมครอน	ไมครอน
12	10	17	1.7	7	5
13	10	12	1.5	35	28
14	10	12	1.9	23	29
15	10	12	1.7	33	35
16	10	12	1.7	38	42
17	10	12	1.7	24	32
18	10	12	1.7	35	41
19	10	12	1.7	43	45
20	10	12	1.7	44	47

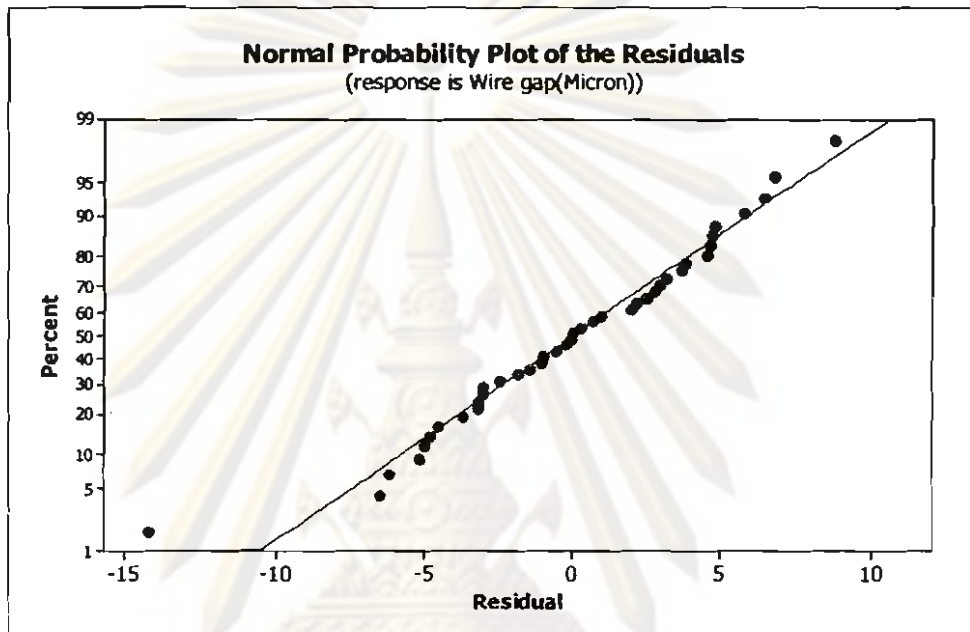
4.1.2 วิเคราะห์ข้อมูลที่ได้จากการทดลองของกระบวนการรีส์นูปจากแม่พิมพ์

วิเคราะห์ข้อมูลที่ได้จากการทดลองของกระบวนการรีส์นูปจากแม่พิมพ์เพื่อ
ตรวจสอบความถูกต้องและเชื่อถือได้ของข้อมูล โดยพิจารณาจาก

1. การทดสอบการกระจายแบบปกติ (Normality)

นำ Residual ของข้อมูลมาพล็อตกราฟ เพื่อตรวจสอบการ
กระจายของข้อมูลว่าเป็นแบบปกติหรือไม่ โดยกราฟที่ได้จากการพล็อตมีลักษณะเป็นเส้นตรงหรือ
ประมาณเกือบเป็นเส้นตรง และว่า ข้อมูลมีการกระจายแบบปกติ และเป็นข้อมูลที่เชื่อถือได้

Normal Probability Plot ของข้อมูลค่าระยะห่างของเส้นทอง ดังรูปที่ 4.1

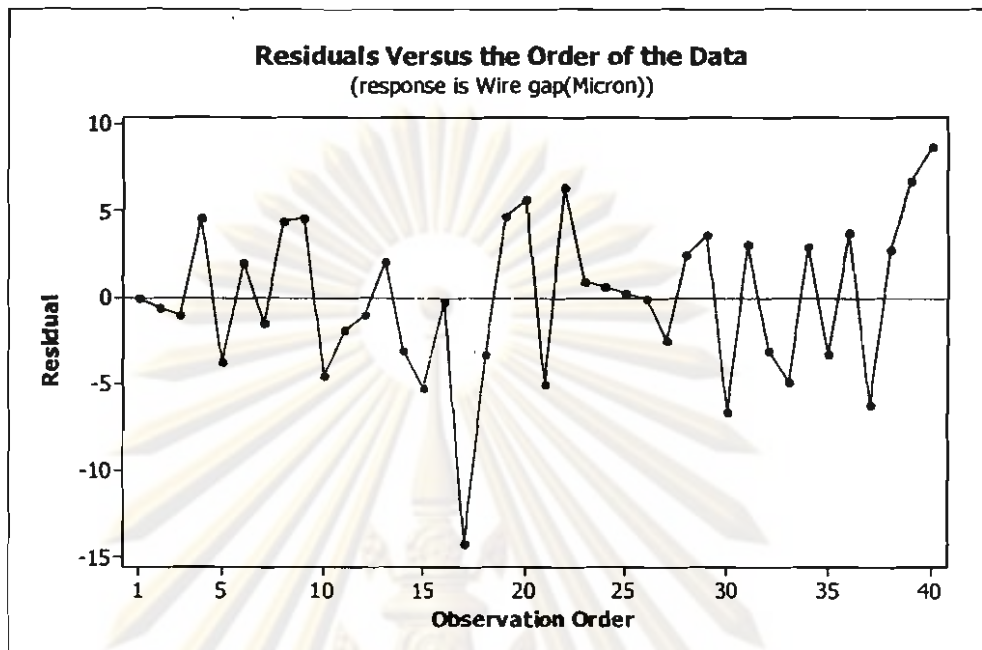


รูปที่ 4.1 Normal Probability Plot ของข้อมูลค่าระยะห่างของเส้นทอง

จากรูปที่ 4.1 กราฟที่ได้จากการพิสูจน์ข้อมูลค่าระยะห่างของเส้นทอง มีลักษณะประมาณเกือบเป็นเส้นตรง แสดงว่า ข้อมูลมีการกระจายแบบปกติ และเป็นข้อมูลที่เชื่อถือได้

2. การทดสอบความเป็นอิสระแก่กัน

นำ Residual ของข้อมูลพิสูจน์ด้วยลำดับการทดลอง เพื่อถูกความสัมพันธ์ระหว่าง Residual โดยความสัมพันธ์ของ Residual ไม่มีรูปแบบที่แน่นอนหรือกระจัดกระจาด แสดงว่า ข้อมูลมีความเป็นอิสระต่อกัน ความสัมพันธ์ Residual ของข้อมูลค่าระยะห่างของเส้นทอง กับลำดับการทดลอง ดังรูปที่ 4.2

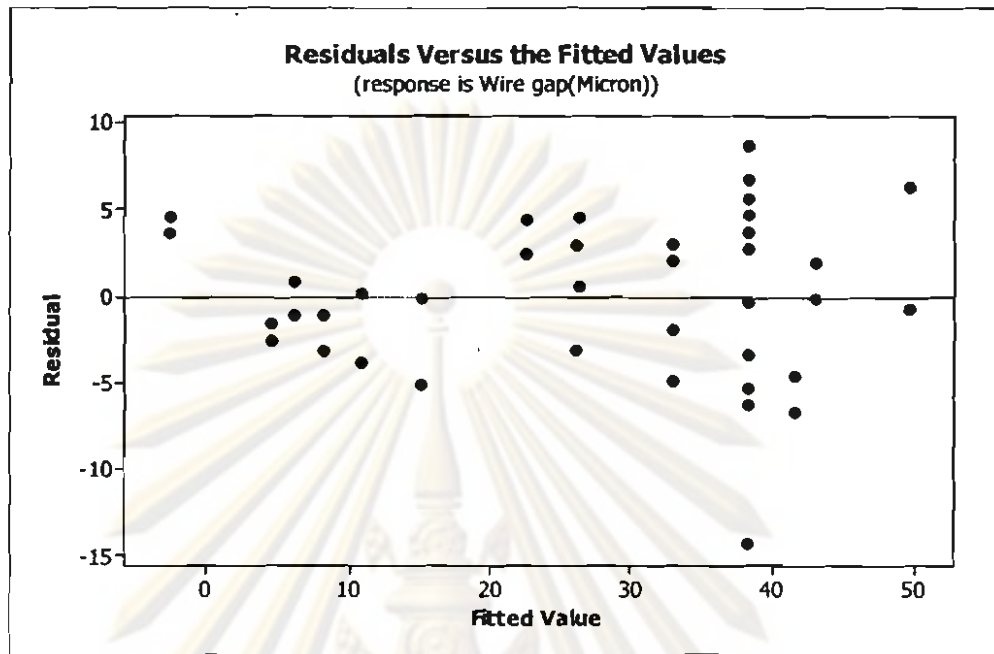


รูปที่ 4.2 ความสัมพันธ์ Residual ของข้อมูลค่าระยะห่างของเส้นทองกับลำดับการทดลอง
จากฎำงค์เห็นว่า กราฟของ Residual ไม่มีรูปแบบແນื่องอนหรือมีการกระจัดกระจาย
แสดงว่า ข้อมูลเป็นอิสระต่อกัน

3. การทดสอบความสม่ำเสมอของความแปรปรวนของข้อมูล

นำ Residual ของข้อมูลพล็อตกับ Fit value เพื่อศึกษาความสัมพันธ์
ระหว่าง Residual โดยความสัมพันธ์ของ Residual ไม่มีลักษณะของการสูเข้าหรือสูออก และไม่มี
รูปแบบปรากฏให้เห็น แสดงว่า ข้อมูลมีความสม่ำเสมอของการกระจายตัวของข้อมูล ดังรูปที่ 4.3

**ศูนย์วิทยทรัพยากร
จุฬาลงกรณ์มหาวิทยาลัย**



รูปที่ 4.3 ค่า Residual กับ Fit value ของข้อมูลค่าระยะห่างของเส้นทองในกราฟลดลงกระบวนการเรียนรู้จากแม่พิมพ์

จากรูปที่ 4.3 จากการพิจารณาค่า Residual และ Fit value พบร้า กราฟไม่มีลักษณะของการสูงเข้าหรือสูงออก และไม่มีรูปแบบปรากฏให้เห็น แสดงว่า ข้อมูลมีความสม่ำเสมอของการกระจายตัวของข้อมูล

4.2 การวิเคราะห์ผลการทดลองโดยวิธีการวิเคราะห์ค่า P

1. วิเคราะห์จากระยะห่างของเส้นทองโดยใช้โปรแกรมสำเร็จรูป ในการวิเคราะห์ หาค่า P ของปัจจัยต่างๆ ค่า P ที่ได้ จากโปรแกรมสำเร็จรูป แสดงดังตารางที่ 4.2

ตารางที่ 4.2 ตารางแสดงค่า P ที่วิเคราะห์ได้จากระยะห่างของเส้นทอง

ปัจจัย	Coef	SE Coef	ค่า T	ค่า P
Constant	38.2102	1.4920	25.610	0.000
A	13.1452	0.9899	13.279	0.000
B	-7.3772	0.9899	-7.452	0.000
C	-2.0319	0.9899	-2.053	0.049

ตารางที่ 4.2 ตารางแสดงค่า P ที่วิเคราะห์ได้จากระหบต่อร่วมของเส้นทาง (ต่อ)

ปัจจัย	Coef	SE Coef	ค่า T	ค่า P
A*A	-6.6345	0.9637	-6.885	0.000
B*B	-6.2809	0.9637	-6.518	0.000
C*C	-3.0989	0.9637	-3.216	0.003
A*B	-3.5625	1.2934	-2.754	0.010
A*C	-0.5625	1.2934	-0.435	0.667
B*C	0.6875	1.2934	0.532	0.599

จากตารางที่ 4.2 ที่ระดับความเชื่อมั่น 95% คือ ค่า P น้อยกว่า 0.05 แสดงว่า ปัจจัยนี้มีผลกระทำต่อร่วมของเส้นทาง ดังนั้น ปัจจัยที่มีผลกระทำต่อร่วมของเส้นทาง คือ

1. เวลาฉีดเรชิน
2. เวลาในการให้ความร้อนแก่เรชิน
3. แรงฉีดเรชิน
4. อันตรกิริยาระหว่างเวลาในการฉีดกับเวลาในการฉีด
5. อันตรกิริยาระหว่างเวลาในการให้ความร้อนแก่เรชินกับเวลาในการให้ความร้อนแก่เรชิน
6. อันตรกิริยาระหว่างแรงฉีดเรชินกับแรงฉีดเรชิน
7. อันตรกิริยาระหว่างเวลาฉีดเรชินกับเวลาในการให้ความแก่เรชิน

ปัจจัยที่เหลือไม่มีผลพอกที่จะสูงกว่าเป็นปัจจัยที่มีอิทธิพลหรือมีผลกระทำต่อ ร่วมของเส้นทาง เนื่องจากค่า P ที่ได้จากการวิเคราะห์มีค่ามากกว่า 0.05 ซึ่งประกอบด้วย ปัจจัยต่างๆดังนี้

1. อันตรกิริยาระหว่างเวลาฉีดเรชินกับแรงฉีดเรชิน

2. อันตรกิริยาระหว่างเวลาในการให้ความร้อนแก่เรือนกับแสงจีดเรือน

4.3 ความสัมพันธ์ของปัจจัยที่มีผลต่อระยะห่างของเส้นทอง

ความสัมพันธ์ของปัจจัยที่มีผลต่อระยะห่างของเส้นทอง โดยใช้เทคนิคการ
ออกแบบการทดลองแบบพื้นผิวผลตอบ จากการใช้โปรแกรมคอมพิวเตอร์สำเร็จรูป เป็นเครื่องมือ¹
ในการวิเคราะห์ข้อมูลที่ได้จากการทดลอง โดยวิเคราะห์จากปัจจัยหลักและอันตรกิริยาระหว่าง²
ปัจจัยทุกด้วยที่มีผลต่อระยะห่างของเส้นทอง อย่างมีนัยสำคัญที่ระดับความเชื่อมั่น 95% จะได้
สมประสิทธิ์ของปัจจัยต่างๆ ดังนี้

ตารางที่ 4.3 ตารางแสดงสมประสิทธิ์ของปัจจัยที่มีผลต่อระยะห่างของเส้นทอง

ปัจจัย	สมประสิทธิ์
ค่าคงที่	-1058.86
A	23.875
B	18.2484
C	1033.32
A*A	-0.737162
B*B	-0.697879
C*C	-309.893
A*B	-0.395833
A*C	-
B*C	-

ความสัมพันธ์ที่มีผลต่อระยะห่างของเส้นทอง

$$Y_{\text{gap}} = -1058.86 + 23.875A + 18.2484B + 1033.32C - 0.737162(A*A) - 0.697879(B*B) -$$

$$309.893(C*C) - 0.395833(A*B)$$

(1)

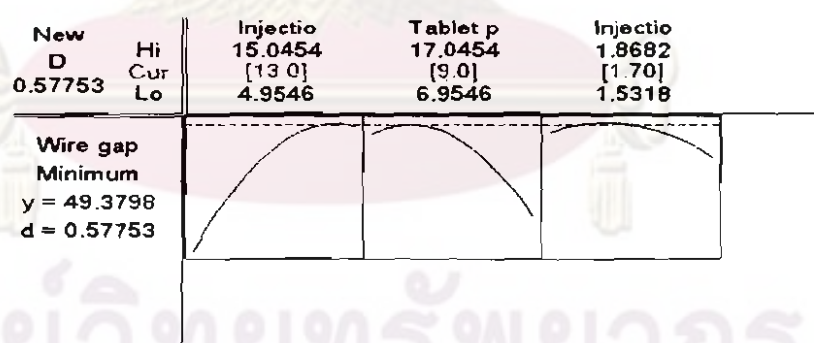
เมื่อ Y_{opt} คือ ระยะห่างของเส้นทอง (ไมครอน)

- A คือ เวลาขีดเกร็น (วินาที)
- B คือ เวลาในการให้ความร้อนแก่เกร็น (วินาที)
- C คือ แรงขีดเกร็น (ตัน)

4.4 การหาสภาวะที่เหมาะสม

กระบวนการขึ้นรูปจากแม่พิมพ์

หากสภาวะที่เหมาะสมของกระบวนการขึ้นรูปจากแม่พิมพ์ โดยพิจารณาค่าระยะห่างของเส้นทองดังต่อไปนี้ 23 ไมครอนขึ้นไป โดยไม่มีขอบพร่องของคุณสมบัติทางกายภาพ จากการวิเคราะห์โดยใช้ response optimizer (เครื่องมือหาค่าที่ดีที่สุด) ในโปรแกรมสำเร็จรูปพบว่าสามารถนำผลตามรูปที่ 4.4 มาใช้ในการประเมินค่าระยะห่างของเส้นทอง ณ พารามิเตอร์ต่อต่างๆ ได้



รูปที่ 4.4 กราฟแสดงจุดที่เหมาะสมของแต่ละปัจจัย

จากรูปกราฟแสดงจุดที่เหมาะสมของแต่ละปัจจัยซึ่งแสดงออกเป็นกราฟพาราโบลา สามารถกล่าวได้ว่าเมื่อปรับค่าของพารามิเตอร์ตัวใดตัวหนึ่งลงหรือเพิ่มขึ้น จะมีผลให้ระยะห่างของเส้นทองแคลบลง

ดังนั้นจึงได้ค่าที่เหมาะสมสำหรับกระบวนการขึ้นรูปจากแม่พิมพ์ตามตารางที่ 4.4

ตารางที่ 4.4 ลักษณะที่เหมาะสมของแต่ละปัจจัยในกระบวนการกรีนรูปจากแม่พิมพ์

ปัจจัย	สัญลักษณ์	ค่าที่เหมาะสม
เวลาในการอัดเรซิน (วินาที)	A	13
เวลาในการให้ความร้อนแก่เรซิน (วินาที)	B	9
แรงอัดเรซิน (ตัน)	C	1.7

4.5 การทดสอบเพื่อยืนยันผล

เมื่อได้ลักษณะที่เหมาะสมของกระบวนการกรีนรูปจากแม่พิมพ์แล้ว นำไปทดสอบเพื่อยืนยันผล จำนวน 20 ล็อต ล็อตละ 30 ชิ้นมูลโดยกำหนดค่าของปัจจัยตามตารางที่ 4.3

ตารางที่ 4.5 ข้อมูลที่ได้จากการทดลองเพื่อยืนยันผลของกระบวนการกรีนรูปจากแม่พิมพ์

Lot ที่	ระยะห่างของเส้นทองเหลือง (ไมครอน)	ส่วนเบี่ยงเบนมาตรฐาน
1	45.39	2.614
2	45.70	2.973
3	45.47	2.688
4	45.90	3.144
5	45.20	3.224
6	46.21	4.559
7	44.88	4.867
8	44.98	3.437
9	44.39	3.305
10	45.00	3.833
11	45.01	3.265
12	45.32	3.926
13	43.56	3.515
14	45.54	4.062

ตารางที่ 4.5 ข้อมูลที่ได้จากการทดลองเพื่อยืนยันผลของกระบวนการรีซึ่นญูปจากแม่พิมพ์ (ต่อ)

Lot ที่	ระยะห่างของเส้นทองเฉลี่ย (ไมครอน)	ส่วนเบี่ยงเบนมาตรฐาน
15	45.62	4.498
16	44.74	3.788
17	44.60	4.125
18	46.08	3.539
19	45.41	4.255
20	44.24	4.515
เฉลี่ย	45.16	3.707

จากการทดสอบผลของกระบวนการรีซึ่นญูปจากแม่พิมพ์ จะได้ค่าระยะห่างของเส้นทองเฉลี่ยเท่ากับ 45.16 ไมครอน มีส่วนเบี่ยงเบนมาตรฐานเท่ากับ 3.707 ไมครอนและไม่พบข้อบกพร่องใดๆที่ทำให้งานเป็นของเสีย

4.6 ทดสอบความสัมพันธ์ที่มีผลต่อระยะห่างของเส้นทอง

ทำการตรวจสอบความแม่นยำของสมการความสัมพันธ์ที่หาได้ โดยเปรียบเทียบค่าระยะห่างของเส้นทองที่ได้จากการทดสอบความสัมพันธ์กับค่าระยะห่างของเส้นทองที่วัดได้จากเครื่อง X-ray

ตารางที่ 4.6 ตารางเปรียบเทียบค่าระยะห่างของเส้นทองที่ได้จากการทดสอบความสัมพันธ์กับค่าระยะห่างของเส้นทองที่วัดได้จากเครื่อง X-ray

การทดลอง	ระยะห่างของเส้นทองที่ได้จากการวัด (ไมครอน)	ระยะห่างของเส้นทองที่ได้จากการวัด (ไมครอน)	ค่าความคลาดเคลื่อน (ไมครอน)	% ความคลาดเคลื่อน
1	15.0	14.9	0.1	0.672
2	49.0	48.3	0.7	1.417
3	5.0	7.3	2.3	31.231

ตารางที่ 4.6 ตารางเปรียบเทียบค่าระยะห่างของเส้นทองที่ได้จากการ
ความสัมพันธ์กับค่าระยะห่างของเส้นทองที่วัดได้จากเครื่อง X-ray (ต่อ)

การทดลอง	ระยะห่างของเส้นทองที่ได้จากการวัด (ไมครอน)	ระยะห่างของเส้นทองที่ได้จากการ สมการ (ไมครอน)	ค่าความคลาดเคลื่อน (ไมครอน)	% ความคลาดเคลื่อน
4	31.0	26.4	4.6	17.263
5	7.0	10.8	3.8	35.404
6	45.0	44.3	0.7	1.690
7	3.0	3.2	0.2	6.470
8	27.0	22.4	4.6	20.601
9	2.0	-2.7	4.7	174.074
10	37.0	41.6	4.6	10.963
11	31.0	32.9	1.9	5.645
12	7	6	1.0	12.949
13	35	38.2	2.1	6.497
14	23	38.2	3.0	11.645
15	33	38.2	5.2	13.643
16	38	38.2	0.2	0.558
17	24	38.2	14.2	37.195
18	35	38.2	3.2	8.409
19	43	38.2	4.8	12.526
20	44	38.2	5.8	15.143
21	10.0	14.9	4.9	32.885
22	56.0	48.3	7.7	15.905
23	7.0	7.3	0.3	3.724
24	27.0	26.4	0.6	2.132
25	11.0	10.8	0.2	1.507

ตารางที่ 4.6 ตารางเปรียบเทียบค่าระยะห่างของเส้นทองที่ได้จากการ
ความสัมพันธ์กับค่าระยะห่างของเส้นทองที่วัดได้จากเครื่อง X-ray (ต่อ)

การทดลอง	ระยะห่างของเส้นทองที่ได้จากการวัด (ไมครอน)	ระยะห่างของเส้นทองที่ได้จากการสมการ (ไมครอน)	ค่าความคลาดเคลื่อน (ไมครอน)	% ความคลาดเคลื่อน
26	43.0	44.3	1.3	2.830
27	2.0	3.2	1.2	37.646
28	25.0	22.4	2.6	11.741
29	1.0	-2.7	3.7	137.037
30	35.0	41.6	6.6	15.776
31	36.0	32.9	3.1	9.573
32	5.0	8	3.0	37.821
33	28.0	38.2	4.9	14.803
34	29.0	38.2	3.0	11.404
35	35.0	38.2	3.2	8.409
36	42.0	38.2	3.8	9.909
37	32.0	38.2	6.2	16.260
38	41.0	38.2	2.8	7.293
39	45.0	38.2	6.8	17.760
40	47.0	38.2	8.8	22.994
		เฉลี่ย	3.6	21.037

* ผลจากสมการติดลบ (-) หมายความว่าเส้นทองสัมผัสกัน

จากการตรวจสอบความแม่นยำของสมการความสัมพันธ์ พบว่า ค่าระยะห่างของเส้นทองที่ได้จากการความสัมพันธ์มีความคลาดเคลื่อนจากค่าระยะห่างของเส้นทองที่ได้จากการวัดด้วยเครื่อง X-ray ประมาณ 21.037% ซึ่งถือว่าเป็นค่าที่สามารถยอมรับได้

4.7 การทดสอบความแตกต่างแบบจับคู่ (Paired Difference Tests หรือ Paired t-Test)

งานวิจัยนี้ทำการทดสอบความแตกต่างของค่าเฉลี่ยระหว่างตัวอย่าง 2 กลุ่มเมื่อข้อมูลตัวอย่างที่ใช้ทดสอบมีความสัมพันธ์กัน ดังนี้

4.7.1 การทดสอบความแตกต่างแบบจับคู่ระหว่างผลการทดลองและสมการ

ตารางที่ 4.7 ตารางแสดงผลต่างระหว่างผลการทดลองและสมการ

การทดลอง	ระยะห่างของเส้นทองที่ได้จากการวัด (ไมครอน)(x _i)	ระยะห่างของเส้นทองที่ได้จากการสมการ (ไมครอน)(y _i)	ค่าผลต่าง (ไมครอน) $d_i = x_i - y_i$
1	15.0	14.9	0.1
2	49.0	48.3	0.7
3	5.0	7.3	-2.3
4	31.0	26.4	4.6
5	7.0	10.8	-3.8
6	45.0	44.3	0.7
7	3.0	3.2	-0.2
8	27.0	22.4	4.6
9	2.0	-2.7*	4.7
10	37.0	41.6	-4.6
11	31.0	32.9	-1.9
12	7	6	1.0
13	35	38.2	-3.2
14	23	38.2	-15.2
15	33	38.2	-5.2
16	38	38.2	-0.2
17	24	38.2	-14.2
18	35	38.2	-3.2
19	43	38.2	4.8

ตารางที่ 4.7 ตารางแสดงผลต่างระหว่างผลการทดลองและสมการ (ต่อ)

การทดลอง	ระยะห่างของเส้นทองที่ได้จากการวัด (ไมครอน)(x _i)	ระยะห่างของเส้นทองที่ได้จากการสมการ (ไมครอน)(y _i)	ค่าผลต่าง (ไมครอน) $d_i = x_i - y_i$
20	44	38.2	5.8
21	10.0	14.9	-4.9
22	56.0	48.3	7.7
23	7.0	7.3	-0.3
24	27.0	26.4	0.6
25	11.0	10.8	0.2
26	43.0	44.3	-1.3
27	2.0	3.2	-1.2
28	25.0	22.4	2.6
29	1.0	-2.7*	3.7
30	35.0	41.6	-6.6
31	36.0	32.9	3.1
32	5.0	8	-3.0
33	28.0	38.2	-10.2
34	29.0	38.2	-9.2
35	35.0	38.2	-3.2
36	42.0	38.2	3.8
37	32.0	38.2	-6.2
38	41.0	38.2	2.8
39	45.0	38.2	6.8
40	47.0	38.2	8.8
เฉลี่ย	27.275	28.1	-0.825

* ผลจากสมการติดลบ (-) หมายความว่าเส้นทองสัมผัสถกัน

สมมติฐาน

$$H_0: \mu_1 = \mu_2 \text{ หรือ } \mu_D = 0$$

$$H_1: H_1: \mu_1 \neq \mu_2 \text{ หรือ } \mu_D \neq 0$$

โดยให้ระดับนัยสำคัญ 0.05

จากการวิเคราะห์ผลการทดสอบด้วยโปรแกรมสำเร็จรูป ได้ผลตามตารางที่ 4.8

ตารางที่ 4.8 แสดงผลการวิเคราะห์ Pair t-Test

	Run	Mean	StDev	SE Mean
ผลต่าง ($d_i = x_i - y_i$)	40	-0.825000	5.485400	0.867318

ค่าวิกฤติคือ $-t_{0.025} = -2.023$ และ $t_{0.025} = 2.023$

ดังนั้น บริเวณวิกฤตคือ $t < -2.023$ หรือ $t > 2.776$

ช่วงความเชื่อมั่น 95% สำหรับ $\mu_D (-2.579316, 0.929316)$

T-Value จากการคำนวณ = -0.95

P-Value = 0.347

ผลการทดสอบความแตกต่างแบบจับคู่ระหว่างผลการทดสอบและสมการ

1. พิจารณา P-Value จากผลการทดสอบพบว่าค่า P-Value เท่ากับ 0.347 ซึ่งมากกว่า α (0.05) จึงยอมรับสมมติฐาน $H_0: \mu_1 = \mu_2$ ซึ่งหมายความว่าค่าเฉลี่ยของผลการทดสอบเท่ากับค่าเฉลี่ยของผลจากสมการ

2. พิจารณาบริเวณวิกฤต จากผลการทดสอบพบว่า T-Value ที่ได้จากการคำนวณไม่อยู่ในบริเวณวิกฤต จึงยอมรับสมมติฐาน $H_0: \mu_1 = \mu_2$ ซึ่งหมายความว่าค่าเฉลี่ยของผลการทดสอบเท่ากับค่าเฉลี่ยของผลจากสมการ

3. พิจารณาช่วงความเชื่อมั่น จากผลการทดสอบพบช่วงความเชื่อมั่น 95% สำหรับ μ_D อยู่ในช่วงที่ครอบคลุม 0 จึงยอมรับสมมติฐาน $H_0: \mu_1 = \mu_2$ หรือ $\mu_D = 0$ ซึ่งหมายความว่าค่าเฉลี่ยของผลการทดสอบเท่ากับค่าเฉลี่ยของผลจากสมการ

4.7.2 การทดสอบความแตกต่างแบบจับคู่ระหว่างการทดลองครั้งที่ 1 และ 2

เนื่องจากงานวิจัยนี้ได้ทำการทดลองครั้งที่ 2 ครั้งต่อ 1 หัวข้อการทดลอง ดังนั้นจึงต้องทำการทดสอบความแตกต่างแบบจับคู่ระหว่างการทดลองครั้งที่ 1 และ 2

ตารางที่ 4.9 ตารางแสดงผลต่างระหว่างการทดลองครั้งแรกและครั้งที่สอง

Run	การทดลองครั้งที่ 1 (ไมโครอน)(x _i)	การทดลองครั้งที่ 2 (ไมโครอน)(y _i)	ค่าผลต่าง (ไมโครอน) d _i = x _i - y _i
1	15	10	5
2	49	56	-7
3	5	7	-2
4	31	27	4
5	7	11	-4
6	45	43	2
7	3	2	1
8	27	25	2
9	2	1	1
10	37	35	2
11	31	36	-5
12	7	5	2
13	35	28	7
14	23	29	-6
15	33	35	-2
16	38	42	-4
17	24	32	-8
18	35	41	-6
19	43	45	-2
20	44	47	-3
เฉลี่ย	26.7	27.85	-1.15

สมมติฐาน

$$H_0: \mu_1 = \mu_2 \text{ หรือ } \mu_D = 0$$

$$H_1: H_1: \mu_1 \neq \mu_2 \text{ หรือ } \mu_D \neq 0$$

โดยให้ระดับนัยสำคัญ 0.05

จากการวิเคราะห์ผลการทดสอบด้วยโปรแกรมสำเร็จวูป ได้ผลตามตารางที่ 4.10

ตารางที่ 4.10 แสดงผลการวิเคราะห์ Pair t-Test

	Run	Mean	StDev	SE Mean
ผลต่าง ($d_i = x_i - y_i$)	20	-1.1500	4.25843	0.95221

ค่าวิกฤติคือ $-t_{0.025} = -2.098$ และ $t_{0.025} = 2.098$

ดังนั้น บริเวณวิกฤติคือ $t < -2.023$ หรือ $t > 2.776$

ช่วงความเชื่อมั่น 95% สำหรับ μ_d (-3.14301, 0.84301)

T-Value จากการคำนวณ = -1.21

P-Value = 0.242

ผลการทดสอบความแตกต่างแบบจับคู่ระหว่างผลการทดสอบและสมการ

- พิจารณา P-Value จากผลการทดสอบพบว่าค่า P-Value เท่ากับ 0.242 ซึ่งมากกว่า α (0.05) จึงยอมรับสมมติฐาน $H_0: \mu_1 = \mu_2$ ซึ่งหมายความว่าค่าเฉลี่ยของผลการทดสอบเท่ากับค่าเฉลี่ยของผลจากสมการ
- พิจารณาบริเวณวิกฤติ จากผลการทดสอบพบว่า T-Value ที่ได้จากการคำนวณไม่อยู่ในบริเวณวิกฤต จึงยอมรับสมมติฐาน $H_0: \mu_1 = \mu_2$ ซึ่งหมายความว่าค่าเฉลี่ยของผลการทดสอบเท่ากับค่าเฉลี่ยของผลจากสมการ
- พิจารณาช่วงความเชื่อมั่น จากผลการทดสอบพบว่าช่วงความเชื่อมั่น 95% สำหรับ μ_d อยู่ในช่วงที่ครอบคลุม 0 จึงยอมรับสมมติฐาน $H_0: \mu_1 = \mu_2$ หรือ $\mu_D = 0$ ซึ่งหมายความว่าค่าเฉลี่ยของผลการทดสอบเท่ากับค่าเฉลี่ยของผลจากสมการ

บทที่ 5

สรุปผลการวิจัย และข้อเสนอแนะ

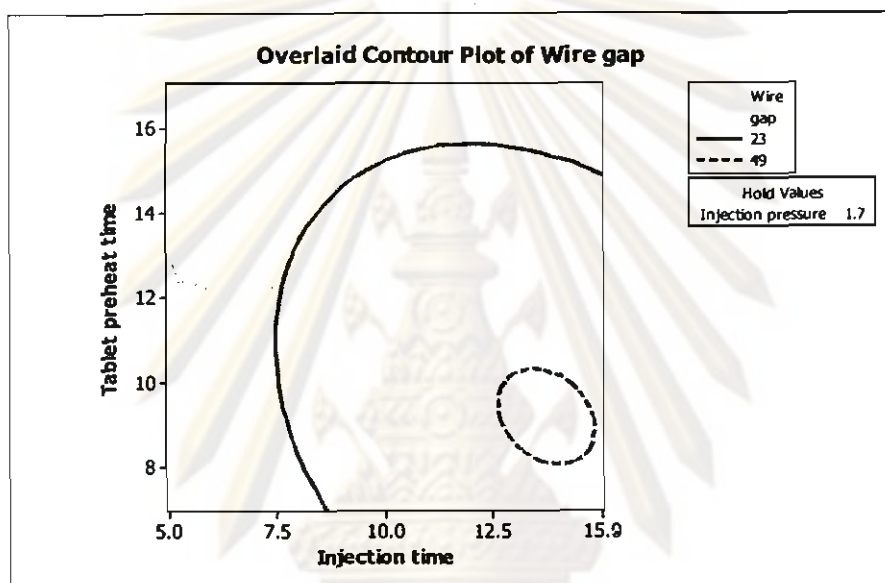
งานวิจัยนี้มีวัตถุประสงค์เพื่อปรับปรุงงานเข้มค่อนดักเตอร์ที่มีขา (Peripheral) ไม่ให้เกิดปัญหาเส้นทองสัมผัสกันหรือเส้นทองใกล้กันน้อยกว่า 23 ไมครอนซึ่งถือว่าเป็นของเสีย โดยการกำหนดพารามิเตอร์ที่เหมาะสมในกระบวนการการขึ้นรูปเข้มค่อนดักเตอร์ เพื่อควบคุม ระยะห่างของเส้นทองให้ได้ตามที่เป้าหมายกำหนด และหาความสัมพันธ์ของปัจจัยที่มีผลต่อ ระยะห่างของเส้นทองโดยใช้เทคนิคการออกแบบการทดลองแบบพื้นผิวผลตอบ ซึ่งในงานวิจัยนี้ได้ ทำการทดลองในกระบวนการขึ้นรูปเข้มค่อนดักเตอร์ เพื่อศึกษาปัจจัยที่มีผลต่อระยะห่างของเส้นทอง แต่ละส่วน โดยใช้แผนภาพแสดงเหตุผล และเลือกปัจจัยที่มีผลต่อระยะห่างของเส้นทอง แต่ละส่วน โดยใช้แผนภาพแสดงเหตุผล และเลือกปัจจัยที่มีผลต่อระยะห่างของเส้นทอง ทำงานที่เหมาะสมในกระบวนการขึ้นรูปและหาความสัมพันธ์ของปัจจัยที่มีผลต่อระยะห่างของเส้น ทอง เพื่อนำไปประยุกต์ใช้ในการปรับปรุงกระบวนการขึ้นรูปเพื่อควบคุมระยะห่างของเส้นทองที่ได้ จากกระบวนการผลิต

5.1 สรุปผลการวิจัย

จากการประยุกต์ใช้แผนภาพแสดงเหตุผล และผล สามารถค้นหาปัจจัยทั้งหมดที่มี ผลต่อกระบวนการขึ้นรูปเข้มค่อนดักเตอร์ โดยปัจจัยที่เลือกมาออกแบบการทดลองได้แก่ เวลาใน การฉีดเรซิน, เวลาในการให้ความร้อนแก่เรซิน และแรงในการฉีดเรซิน

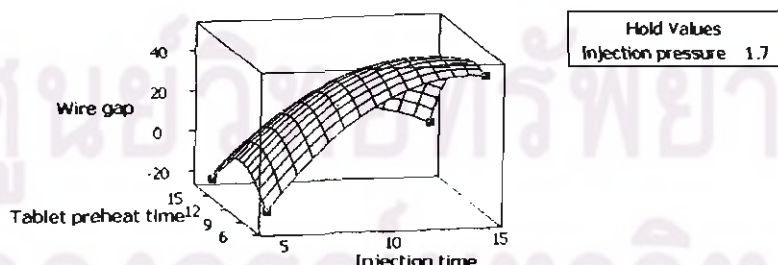
1. ผู้วิจัยได้ใช้เทคนิคการออกแบบการทดลองแบบพื้นผิวผลตอบ ผลที่ได้จากการ ทดลอง พบร่วมกับ เวลาในการฉีดเรซิน, เวลาในการให้ความร้อนแก่เรซิน และแรงในการฉีดเรซิน เป็น ปัจจัยที่มีผลกระทบต่อค่าระยะห่างของเส้นทอง โดยค่าที่เหมาะสม เพื่อให้ได้ระยะห่างของเส้น ทองตามเป้าหมายคือ มากกว่า 23 ไมครอนซึ่งจากสมการความสัมพันธ์ได้ค่าที่เหมาะสมที่สุดคือ 49 ไมครอน โดยไม่มีข้อบกพร่องทางด้านคุณภาพอื่นๆ ซึ่งได้พารามิเตอร์ที่เป็นปัจจัยหลัก คือ เวลา ในการฉีดเรซิน 13 วินาที และ เวลาในการให้ความร้อนแก่เรซิน 9 วินาที โดยควบคุมแรงในการ ฉีดเรซิน 1.7 ตัน

2. ในกรณีที่ต้องการปรับปรุงกระบวนการการขึ้นรูปเหมือนดักเตอร์ในด้านการปรับปรุงกำลังการผลิต โดยการลดเวลาในกระบวนการการขึ้นรูป สามารถใช้สมการความสัมพันธ์ของปัจจัยที่มีผลต่อระยะเวลาของเส้นทองเป็นแนวทางในการปรับปรุงกระบวนการการขึ้นรูปเหมือนดักเตอร์ โดยการกำหนดค่าของปัจจัยต่างๆ ของกระบวนการการขึ้นรูปได้จากสมการความสัมพันธ์ของปัจจัยที่หาได้จากการทดสอบนี้ เพื่อควบคุมระยะเวลาของเส้นทองให้ได้ตามเป้าหมายที่กำหนด



รูปที่ 5.1 ความสัมพันธ์ระหว่างระยะเวลาของเส้นทอง และแรงฉีดที่ 1.7 ตัน

Surface Plot of Wire gap vs Tablet preheat time, Injection time



รูปที่ 5.2 แสดงความสัมพันธ์ระหว่างเวลาในการฉีดเรซินและเวลาในการให้ความร้อนแก่เรซิน ที่แรงฉีดซิน 1.7 ตัน

จากรูปที่ 5.1 และ รูปที่ 5.2 แสดงให้เห็นว่าสามารถลดเวลาในการชิดเรซินได้ถึง 7.5 วินาที ซึ่งเป็นการลดเวลาในการการผลิตและสามารถได้งานที่มีคุณภาพ

5.2 ข้อเสนอแนะ

1. งานวิจัยนี้พิจารณาปัจจัยที่เกี่ยวข้องกับพารามิเตอร์ที่เกี่ยวข้องกับเครื่องจักรที่มีผลให้เส้นทองสัมผัสกัน ซึ่งได้มีการควบคุมปัจจัยอื่นๆ ที่เกี่ยวข้องกับวัตถุดิบ เช่น ล็อตเรซิน อายุของเรซิน ซึ่งปัจจัยดังกล่าวมีผลต่อคุณสมบัติของเรซิน ดังนั้นเพื่อป้องกันไม่ให้งานเหมือนดักเตอร์เกิดปัญหาเส้นทองสัมผัสกันอีก จึงควรมีการควบคุมคุณสมบัติของเรซินในกระบวนการผลิตอย่างเสมอถึงแม้ว่าล็อตเรซินจะต่างกัน

2. จากการทำวิจัยทำให้ทราบว่าปัจจัยที่มีผลต่อการเกิดปัญหาเส้นทองสัมผัสกันคือ เวลาในการชิดเรซิน เวลาในการให้ความร้อนแก่เรซินและ แรงในการชิดเรซิน ซึ่งทั้ง 3 ปัจจัยนี้ เกี่ยวข้องกับเครื่องจักรโดยตรง ดังนั้นควรมีการซ่อมบำรุงรักษาเครื่องจักรอย่างสม่ำเสมอ

3. งานวิจัยนี้มีการควบคุมระดับความสูงในการวางเส้นทองไว้ที่ 120 ไมครอน ซึ่งเป็นค่ากึ่งกลางของข้อกำหนดผลิตภัณฑ์ ซึ่งในทางปฏิบัติจริงแล้ว ค่าระดับความสูงของเส้นทองจะมีค่าเฉลี่ยที่กว้างคือ 120 ± 30 ไมครอน ดังนั้นเพื่อป้องกันไม่ให้งานเหมือนดักเตอร์เกิดปัญหาเส้นทองสัมผัสกันอีก จึงควรมีการลดค่าข้อกำหนดของระดับความสูงของเส้นทองลง เป็น 120 ± 10 ไมครอน

**ศูนย์วิทยทรัพยากร
จุฬาลงกรณ์มหาวิทยาลัย**

รายการอ้างอิง

ภาษาไทย

กิตติศักดิ์ พloypanich Jeru. สอดคล้องรับงานวิศวกรรมเล่ม 1. พิมพ์ครั้งที่ 3. กรุงเทพมหานคร : สมาคมส่งเสริมเทคโนโลยี (ไทย – ญี่ปุ่น), 2545.

กิตติศักดิ์ พloypanich Jeru. สอดคล้องรับงานวิศวกรรมเล่ม 2. พิมพ์ครั้งที่ 2. กรุงเทพมหานคร : สมาคมส่งเสริมเทคโนโลยี (ไทย – ญี่ปุ่น), 2545.

คณาจารย์ภาควิชาคณิตศาสตร์ คณะวิทยาศาสตร์ จุฬาลงกรณ์มหาวิทยาลัย. ความจำจะเป็นและสอดคล้อง. พิมพ์ครั้งที่ 11. กรุงเทพมหานคร: โรงพิมพ์แห่งจุฬาลงกรณ์มหาวิทยาลัย, 2551.

ชัชวาลย์ เรืองประพันธ์. สอดคล้องฐานพร้อมตัวอย่างการวิเคราะห์ด้วยโปรแกรม MINITAB SPSS และ SAS. พิมพ์ครั้งที่ 5. ขอนแก่น: มหาวิทยาลัยขอนแก่น, 2543.

ปราเมศ ชุดาม. การออกแบบการทดลองทางวิศวกรรม. พิมพ์ครั้งที่ 1. กรุงเทพมหานคร: สำนักพิมพ์แห่งจุฬาลงกรณ์มหาวิทยาลัย, 2545.

ไฟโจรน์ วิริยะราช. การออกแบบพื้นที่การตอบสนอง Response surface design. พิมพ์ครั้งที่ 1. เชียงใหม่: คณะอุตสาหกรรมเกษตร มหาวิทยาลัยเชียงใหม่, 2544.

ลัคดา เรียงเลิศ. การเพิ่มประสิทธิภาพของกระบวนการพิมพ์สี ในโรงงานผลิตพื้นยางนีโอลิท, วิทยานิพนธ์ปริญญาบัณฑิต, สาขาวิชาวิศวกรรมอุตสาหกรรม ภาควิชาชีววิศวกรรมอุตสาหกรรม คณะวิศวกรรมศาสตร์ จุฬาลงกรณ์มหาวิทยาลัย, 2546.
วงษ์ นราวนรกุล. การลดความแปรปรวนของกระบวนการผลิตกระดาษ, วิทยานิพนธ์ปริญญาบัณฑิต, สาขาวิชาวิศวกรรมอุตสาหกรรม ภาควิชาชีววิศวกรรมอุตสาหกรรม คณะวิศวกรรมศาสตร์ จุฬาลงกรณ์มหาวิทยาลัย, 2546.

วุฒิ บุญภักดิ์. การศึกษาเบื้องต้นที่มีผลต่อประสิทธิภาพของระบบ SOLVENT RECOVERY โดยวิธีการออกแบบการทดลองทางวิศวกรรม. กรณีศึกษา บริษัท ยูเนี่ยนไทย-นิจัน จำกัด, วิทยานิพนธ์ปริญญาบัณฑิต, สาขาวิชาวิศวกรรมการจัดการอุตสาหกรรม ภาควิชา วิศวกรรมอุตสาหกรรม คณะวิศวกรรมศาสตร์ มหาวิทยาลัยเทคโนโลยีพระจอมเกล้าพระนครเหนือ, 2550.

วิชญา วิชาภัย บุนนาค อิทธิพลของปัจจัยในการปั่นต่อสมบัติเชิงกลของอีพ็อกซี่เรซินเสริมเส้นใย
แก้วสำหรับเคลือบคอนกรีตและมอร์ต้า วิทยานิพนธ์ปริญญามหาบัณฑิต สาขาวิชา
วิศวกรรมเคมี ภาควิชาเคมี คณะวิศวกรรมศาสตร์ จุฬาลงกรณ์มหาวิทยาลัย,
2543.

วีระเทพ เจริญสมิทธิ์ชัย. การศึกษาปริมาณถ้าดูที่เหมาะสมในอุดสานหกรมการผลิตเหล็กดิบ
โดยวิธีการออกแบบการทดลอง, วิทยานิพนธ์ปริญญามหาบัณฑิต,
สาขาวิชาเคมี วิศวกรรมอุดสานหกรม ภาควิชาเคมี วิศวกรรมอุดสานหกรม คณะวิศวกรรมศาสตร์
มหาวิทยาลัยเทคโนโลยีพระจอมเกล้าพระนครเหนือ, 2550.

ศิริจันทร์ ทองประเสริฐ และ จันทนา จันทร์. สูตรสำหรับงานวิศวกรรม. กรุงเทพมหานคร :
สำนักพิมพ์แห่งจุฬาลงกรณ์มหาวิทยาลัย, 2536.

สมศักดิ์ แก้วพโลย. 2550. การศึกษาสภาวะที่เหมาะสมในการอบชุบเหล็กกล้าผสานด้วยความร้อน.
ใน การประชุมวิชาการข่ายงานวิศวกรรมอุดสานหกรม, หน้า 814-818.24-26 ตุลาคม 2550
ณ คณะวิศวกรรมศาสตร์ มหาวิทยาลัยสงขลานครินทร์, 2550.

สุชาติ แซ่เต้. การปรับปรุงกระบวนการผลิตโดยการวิเคราะห์ปัจจัยที่มีผลต่อแรงเสียดทานของ
กล่องกระดาษลูกฟูก, วิทยานิพนธ์ปริญญามหาบัณฑิต สาขาวิชาเคมี วิศวกรรมอุดสานหกรม
ภาควิชาเคมี วิศวกรรมอุดสานหกรม คณะวิศวกรรมศาสตร์ จุฬาลงกรณ์มหาวิทยาลัย, 2548.

โสภิตา หัวมี และ อรรถกฤต เก่งพล. 2551. การลดปริมาณของเสียในกระบวนการผลิตพลาสติก
แผ่นโดยการประยุกต์ใช้การออกแบบการทดลอง : กรณีศึกษา บริษัทในอุดสานหกรมผลิต
พลาสติก. วารสารวิชาการพระจอมเกล้าพระนครเหนือ 18, 3 (ก.ย. - ธ.ค. 2551): 80-89.

ภาษาอังกฤษ

Montgomery. 2000. Design and Analysis of Experiment. 5th edition (n.p.): John Wiley and Sons.



ศูนย์วิทยทรัพยากร จุฬาลงกรณ์มหาวิทยาลัย

ภาคผนวก ก
**ผลการวิเคราะห์ข้อมูลจากโปรแกรมสำเร็จรูป รวมถึงกราฟต่างๆที่ได้จากการ
โปรแกรมสำเร็จรูป**

ภาคผนวก ก-1 ผลการวิเคราะห์ข้อมูลระยะห่างของเส้นทอง

Response Surface Regression: Wire gap versus Injection time, Tablet preheat time and Injection pressure

The analysis was done using coded units.

Estimated Regression Coefficients for Wire gap

Term	Coef	SE Coef	T	P
Constant	38.2102	1.4920	25.610	0.000
Injection time	13.1452	0.9899	13.279	0.000
Tablet preheat time	-7.3772	0.9899	-7.452	0.000
Injection pressure	-2.0319	0.9899	-2.053	0.049
Injection time*Injection time	-6.6345	0.9637	-6.885	0.000
Tablet preheat time*	-6.2809	0.9637	-6.518	0.000
Tablet preheat time				
Injection pressure*	-3.0989	0.9637	-3.216	0.003
Injection pressure				
Injection time*Tablet preheat time	-3.5625	1.2934	-2.754	0.010
Injection time*Injection pressure	-0.5625	1.2934	-0.435	0.667
Tablet preheat time*	0.6875	1.2934	0.532	0.599
Injection pressure				

$$S = 5.174 \quad R-Sq = 91.7\% \quad R-Sq(adj) = 89.2\%$$

Analysis of Variance for Wire gap

Source	DF	Seq SS	Adj SS	Adj MS	F	P
Regression	9	8833.0	8833.0	981.44	36.67	0.000
Linear	3	6319.0	6319.0	2106.32	78.69	0.000
Square	3	2298.4	2298.4	766.12	28.62	0.000
Interaction	3	215.7	215.7	71.90	2.69	0.064
Residual Error	30	803.0	803.0	26.77		
Lack-of-Fit	5	193.7	193.7	38.74	1.59	0.199
Pure Error	25	609.3	609.3	24.37		
Total	39	9636.0				

The analysis was done using coded unit.

Estimated Regression Coefficients for Wire gap

Term	Coef	SE Coef	T	P
Constant	38.210	1.4559	26.244	0.000
Injection time	13.145	0.9660	13.608	0.000
Tablet preheat time	-7.377	0.9660	-7.637	0.000
Injection pressure	-2.032	0.9660	-2.103	0.043
Injection time*Injection time	-6.634	0.9404	-7.055	0.000
Tablet preheat time*	-6.281	0.9404	-6.679	0.000
Tablet preheat time				
Injection pressure*	-3.099	0.9404	-3.295	0.002
Injection pressure				
Injection time*Tablet preheat time	-3.563	1.2621	-2.823	0.008

$$S = 5.049 \quad R-Sq = 91.5\% \quad R-Sq(\text{adj}) = 89.7\%$$

Estimated Regression Coefficients for Wire gap using data in uncoded units

Term	Coef
Constant	-1058.86
Injection time	23.8750
Tablet preheat time	18.2484
Injection pressure	1033.32
Injection time*Injection time	-0.737162
Tablet preheat time*	-0.697879
Tablet preheat time	
Injection pressure*	-309.893
Injection pressure	
Injection time*Tablet preheat time	-0.395833

ภาคผนวก ก-2 ผลการวิเคราะห์ข้อมูลระยะห่างของเส้นทางระหว่างผลการทดลองและสมการ

ผลการวิเคราะห์ Paired-T Test

Paired T-Test and CI: 1st time, 2nd time

Paired T for 1st time - 2nd time

	N	Mean	StDev	SE Mean
1st time	20	26.7000	15.2561	3.4114
2nd time	20	27.8500	16.5443	3.6994
Difference	20	-1.15000	4.25843	0.95221

95% CI for mean difference: (-3.14301, 0.84301)

T-Test of mean difference = 0 (vs not = 0): T-Value = -1.21 P-Value = 0.2

**คุณวิทยากร
จุฬาลงกรณ์มหาวิทยาลัย**

ภาคผนวก ก-3 ผลการวิเคราะห์ข้อมูลระยะห่างของเส้นทางระหว่างการทดลองครั้งที่ 1

และ 2

ผลการวิเคราะห์ Paired-T Test

Paired T-Test and CI: 1st time, 2nd time

Paired T for 1st time - 2nd time

	N	Mean	StDev	SE Mean
1st time	20	26.7000	15.2561	3.4114
2nd time	20	27.8500	16.5443	3.6994
Difference	20	-1.15000	4.25843	0.95221

95% CI for mean difference: (-3.14301, 0.84301)

T-Test of mean difference = 0 (vs not = 0): T-Value = -1.21 P-Value = 0.2

ศูนย์วิทยทรัพยากร
จุฬาลงกรณ์มหาวิทยาลัย

ภาคผนวก ช

ตารางสถิติ

ภาคผนวก ช-1 ตารางค่าวิกฤตของการแจกแจงที่

	0.5	0.4	0.3	0.2	0.1	0.05	0.04	0.02	0.01	0.005	0.002	0.001	One-tailed
df	0.25	0.2	0.15	0.1	0.05	0.025	0.02	0.01	0.005	0.0025	0.001	0.0005	Two-tailed
1	1	1.376	1.963	3.078	6.314	12.71	15.89	31.82	63.66	127.3	318.3	636.6	
2	0.816	1.061	1.386	1.886	2.92	4.303	4.849	6.965	9.925	14.09	22.33	31.6	
3	0.765	0.978	1.25	1.638	2.353	3.182	3.482	4.541	5.841	7.453	10.21	12.92	
4	0.741	0.941	1.19	1.533	2.132	2.776	2.999	3.747	4.604	5.598	7.173	8.61	
5	0.727	0.92	1.156	1.476	2.015	2.571	2.757	3.365	4.032	4.773	5.893	6.869	
6	0.718	0.906	1.134	1.44	1.943	2.447	2.612	3.143	3.707	4.317	5.208	5.959	
7	0.711	0.896	1.119	1.415	1.895	2.365	2.517	2.998	3.499	4.029	4.785	5.408	
8	0.706	0.889	1.108	1.397	1.86	2.306	2.449	2.896	3.355	3.833	4.501	5.041	
9	0.703	0.883	1.1	1.383	1.833	2.262	2.398	2.821	3.25	3.69	4.297	4.781	
10	0.7	0.879	1.093	1.372	1.812	2.228	2.359	2.764	3.169	3.581	4.144	4.587	
11	0.697	0.876	1.088	1.363	1.795	2.201	2.328	2.718	3.106	3.497	4.025	4.437	
12	0.695	0.873	1.083	1.356	1.782	2.179	2.303	2.681	3.055	3.428	3.93	4.318	
13	0.694	0.87	1.079	1.35	1.771	2.16	2.282	2.65	3.012	3.372	3.852	4.221	
14	0.692	0.868	1.076	1.345	1.761	2.145	2.264	2.624	2.977	3.326	3.767	4.14	
15	0.691	0.866	1.074	1.341	1.753	2.131	2.249	2.602	2.947	3.286	3.733	4.073	
16	0.69	0.865	1.071	1.337	1.746	2.12	2.235	2.583	2.921	3.252	3.686	4.015	
17	0.689	0.863	1.069	1.333	1.74	2.11	2.224	2.587	2.898	3.222	3.646	3.965	
18	0.688	0.862	1.087	1.33	1.734	2.101	2.214	2.552	2.878	3.197	3.611	3.922	
19	0.688	0.861	1.066	1.328	1.729	2.093	2.205	2.539	2.861	3.174	3.579	3.883	
20	0.687	0.86	1.064	1.325	1.725	2.086	2.197	2.528	2.845	3.153	3.552	3.85	
21	0.683	0.859	1.063	1.323	1.721	2.08	2.189	2.518	2.831	3.135	3.527	3.819	
22	0.686	0.858	1.061	1.321	1.717	2.074	2.183	2.508	2.819	3.119	3.505	3.792	
23	0.685	0.858	1.06	1.319	1.714	2.069	2.177	2.5	2.807	3.104	3.485	3.768	
24	0.685	0.857	1.059	1.318	1.711	2.064	2.172	2.492	2.797	3.091	3.467	3.745	
25	0.684	0.856	1.058	1.316	1.708	2.06	2.167	2.485	2.787	3.078	3.45	3.725	
26	0.684	0.856	1.058	1.315	1.706	2.056	2.162	2.479	2.779	3.067	3.435	3.707	
27	0.684	0.855	1.057	1.314	1.703	2.052	2.15	2.473	2.771	3.057	3.421	3.69	
28	0.683	0.855	1.056	1.313	1.701	2.048	2.154	2.467	2.763	3.047	3.408	3.674	
29	0.683	0.854	1.055	1.311	1.699	2.045	2.15	2.462	2.756	3.038	3.396	3.659	
30	0.683	0.854	1.055	1.31	1.697	2.042	2.147	2.457	2.75	3.03	3.385	3.646	
40	0.681	0.851	1.05	1.303	1.684	2.021	2.123	2.423	2.704	2.971	3.307	3.551	
50	0.679	0.849	1.047	1.295	1.676	2.009	2.109	2.403	2.678	2.937	3.261	3.496	
60	0.679	0.848	1.045	1.296	1.671	2	2.099	2.39	2.66	2.915	3.232	3.46	
80	0.678	0.846	1.043	1.292	1.664	1.99	2.088	2.374	2.639	2.887	3.195	3.416	
100	0.677	0.845	1.042	1.29	1.66	1.964	2.081	2.364	2.626	2.871	3.174	3.39	
1000	0.675	0.842	1.037	1.282	1.646	1.962	2.056	2.33	2.581	2.813	3.098	3.3	
inf.	0.674	0.841	1.036	1.282	1.64	1.95	2.054	2.326	2.576	2.807	3.091	3.291	

ประวัติผู้เขียนวิทยานิพนธ์

นางสาววัลภา เดชาสุข เกิดวันที่ 13 มกราคม 2526 ที่จังหวัดเชียงใหม่ สำเร็จการศึกษาระดับปริญญาบัณฑิต สาขาวิชาบริหารธุรกิจ คณะบริหารธุรกิจ มหาวิทยาลัยเชียงใหม่ ปีการศึกษา 2548 หลังจากสำเร็จการศึกษาได้เข้าทำงานในตำแหน่ง ผู้ช่วยผู้อำนวยการ บริษัทแห่งหนึ่ง ในปี 2550 ได้เข้าศึกษาระดับปริญญาโท สาขาวิชาบริหารธุรกิจ คณะบริหารธุรกิจ มหาวิทยาลัย

